

2 Model rozdelenia pravdepodobnosti a štatistický model

Pri riešení biomedicínskych problémov pomocou matematickej štatistiky sa vyskytuje stochastický (náhodný) element, ktorým sa nie je možné zaoberať len pomocou základných zákonov aritmetiky. Preto štatistické metódy potrebujú stochastické modely. Vývoj takýchto modelov tvorí *deduktívny*¹⁴ (matematický) aspekt štatistiky. Štatistické problémy sú však *induktívne*¹⁵, pretože vznikajú ako dôsledok pozorovania istých javov v reálnych biomedicínskych situáciách. Tieto javy sú výsledkom nejakého experimentu alebo pozorovania. Otázky, ktoré experiment alebo pozorovanie rieši, sú všeobecnejšieho typu. Pýtajú sa na niečo, čo nie je priamo pozorovateľné, ale je logicky obsiahnuté v dátach. Hovoríme, že usudzujeme („inferujeme“) niečo na základe dát. Na riešenie deduktívnych problémov matematiky často postačuje čiastočne dostupná informácia, aby sme boli schopní vytvoriť novú matematickú vetu. Na riešenie induktívnych problémov štatistiky potrebujeme všetky dostupné dáta. Len tak môžeme vyvodiť závery. Ignorovanie nejakej časti dát nie je akceptovateľné. Pri deduktívnych problémoch je kvalita novej matematickej vety rovnaká ako kvalita jej predchádzajúcich axiomov, definícií alebo viet. Pri induktívnych problémoch je stupeň istoty v záveroch väčší ako v samotných dátach. Čím máme viac dát, tým sa kvalita výstupov zväčšuje. Avšak jedno nové pozorovanie môže naše závery zmeniť.

Dáta môžeme jednoducho popísať aj pomocou **charakteristik (parametrov) polohy a variability** a zobraziť ich pomocou **štatistickej grafiky** (pozri kap. Charakteristiky polohy a variability a štatistická grafika), čo je súčasťou tzv. **exploratórnej analýzy dát (EDA)**. Avšak použitím nejakého modelu sa o dátach dozvieme viac v zjednodušenej podobe, tento model nám navyše umožní interpretáciu výsledkov a uľahčí nám aj komunikáciu medzi dátami a biomedicínskou praxou.

Koncepcia modelu rozdelenia pravdepodobnosti a štatistického modelu predstavuje jeden zo základných piliérov bioštatistiky. Tieto modely sú charakterizované ich parametrami v prípade parametrického modelu, ktorým sa budeme podrobnejšie zaoberať. Jeho parametre slúžia na jednoduchú charakterizáciu dát a zjednodušujú interpretáciu výsledkov. Modely rozlišujeme podľa toho, či sú to modely na diskrétné alebo spojité dátu. **Model rozdelenia pravdepodobnosti** je charakterizovaný funkciou hustoty a distribučnou funkciou na základe presne špecifikovaných parametrov, ktoré je potrebné odhadnúť z dát pomocou funkcie vierohodnosti – ide teda o „model na dátu“¹⁶. Dáta sú realizáciami nahodnej premennej, o ktorej predpokladáme, že má asymptoticky (pre veľké n) nejaké rozdelenie, napr. normálne, binomické, multinomické, súčinové multinomické alebo Poissonove. Tento asymptotický predpoklad je fundamentálnym základom štatistickej inferencie, ktorá je procesom vyvodenia záverov (na základe dát a z nich vypočítaných odhadov parametrov) prostredníctvom postupu testovania hypotéz, ktorý používa tzv. štatistiky, testovacie štatistiky a ich asymptotické rozdelenia pravdepodobnosti (pozri kap. Testovanie hypotéz). Hypotézy testujeme aj v **štatistických modeloch**, ktoré často predstavujú modely kauzálnej závislosti zavislých premenných na prediktorech. V týchto modeloch pomocou funkcie vierohodnosti odhadujeme parametre, ktoré zjednodušujú interpretáciu výsledkov, či už štatisticky nesignifikantných alebo signifikantných, ale aj biologicky (medicínsky) nevýznamných alebo významných.

Všetky vyššie uvedené postupy sú súčasťou širšieho pojmu **(bio)štatistická analýza**. Bez správnej formulácie a aplikácie modelu rozdelenia pravdepodobnosti a štatistického modelu na dátu by štatistická analýza nebola možná a závery z nej by boli problematické.

Základom každej empirickej štúdie, či už experimentálnej alebo observačnej, je zabezpečiť **dáta (dátový súbor, realizácie)**, ktoré označíme \mathbf{x} , procesom, ktorý nazývame **experiment (pokus)** alebo **meranie**. V najjednoduchšej podobe $\mathbf{x} = (x_1, x_2, \dots, x_n)^T$ (vektor pozorovaní, vektor výberových hodnôt, vektor realizácií), kde n je **rozsah (náhodného) výberu** a x_i sú realizácie vždy

¹⁴Dedukcia – na základe všeobecne platných záverov hľadáme riešenia nejakého konkrétneho prípadu.

¹⁵Indukcia – na základe konkrétnych prípadov vyvodzujeme všeobecnejšie platné závery.

¹⁶Model rozdelenia pravdepodobnosti je možné použiť aj v súvislosti so štatistikou – tu ide o „model pre štatistiku“ a s testovacou štatistikou – tu ide o „model pre testovaciu štatistiku“, ale aj v súvislosti s chybami štatistického modelu – tu ide o „model pre chyby (reziuály)“.

označované malými písmenami (všeobecne ozn. x). (Jednorozmerná) **náhodná premenná** X je funkcia z výberového priestoru \mathcal{Y} (označovaná aj ako priestor elementárnych udalostí alebo množina výsledkov náhodného pokusu) do množiny reálnych čísel \mathbb{R} . Pozorovanie x je realizáciou náhodnej premennej X . Analogicky môžeme definovať **k -rozmerný náhodný vektor** $(X_1, X_2, \dots, X_k)^T$. Príkladom takéhoto vektora je dvojrozmerný náhodný vektor $(X_{1i}, X_{2i})^T$, $i = 1, 2, \dots, n$, s reálizáciami $(x_{1i}, x_{2i})^T$ usporiadanými po riadkoch do matice $n \times 2$, ktorá je v tomto prípade dátovým súborom¹⁷.

Príklad 46 (príklady náhodných premenných) (1) Chirurg vykoná 100 transplantácií srdca, kde náhodná premenná X je napr. počet úspešne vykonaných transplantácií. (2) 50 bežcov beží maratón, kde náhodná premenná X je napr. čas odbehnutia maratónu v hodinách. (3) Hodíme 30-krát kockou, kde náhodná premenná X je napr. počet hodených šestiek. (4) Na 75 deťoch vo veku 10 rokov zmeriame výšku (v metrech) a hmotnosť (v kilogramoch), kde náhodná premenná X je napr. Rohrerov index ($RI = \frac{\text{hmotnosť v kg}}{(\text{výška v m})^3}$).

Príklad 47 (porovnanie dvoch typov modelov) Model rozdelenia pravdepodobnosti je modelom náhodnej premennej X , napr. model rozdelenia pravdepodobnosti náhodnej premennej X šírka dolnej čeluste alebo (2) model rozdelenia pravdepodobnosti náhodnej premennej X hrúbka kožných rias u dospelých zdravých žien. Štatistický model je modelom náhodnej premennej $Y|X$ (Y kauzálnie zavisí na X), napr. (1) model závislosti náhodnej premennej Y šírka dolnej čeluste na premennej X pohlavie alebo (2) model závislosti náhodnej premennej Y hrúbka kožných rias u dospelých zdravých žien na premennej X BMI. Všimnime si, že náhodné premenné označujeme X alebo Y podľa toho, aký model ich charakterizuje.

Základný predpoklad je, že nejaké pozorovanie (výberová hodnota, realizácia) x je hodnota (realizácia) **náhodnej premennej** X a naším cieľom je použiť x na vyvodenie záverov o neznámom modeli (rozdelenia pravdepodobnosti alebo štatistickom) $F_*(\cdot)$ premennej X . Naše závery o $F_*(\cdot)$ sú zaťažené neistotou kvôli náhodnosti X , z ktorej pochádzajú x . Cieľom je zabezpečiť,

1. aby stupeň neistoty bol čo možno najmenší, berúc do úvahy náhodnosť X ,
2. a aby bol tento stupeň neistoty vyjadrený v našich záveroch.

Ekvivalentne $(x_1, x_2, \dots, x_k)^T$ je realizácia náhodného vektora $(X_1, X_2, \dots, X_k)^T$ a naším cieľom je použiť túto realizáciu na vyvodenie záverov o neznámom k -rozmernom modeli $F_*^{(k)}(\cdot)$ náhodného vektora $(X_1, X_2, \dots, X_k)^T$.

Definícia 14 (štatistická inferencia) *Štatistická inferencia* (zriedkavo nazývaná aj *štatistická indukcia*) je proces vyvodenia záverov na základe dát prostredníctvom testovania hypotéz, modelu rozdelenia pravdepodobnosti alebo štatistického modelu (Cox, 2006). Tento proces je ovplyvnený náhodnými chybami, náhodným výberom, volbou testovacieho kritéria, štatistického modelu alebo modelu rozdelenia pravdepodobnosti. Výsledkom tohto procesu sú zmysluplné závery aplikované na dobre definované dostatočne všeobecné situácie.

Podstata vytvárania realizácií x limituje možnosti voľby modelu F_* . Inferencia bude o to presnejšia, o čo lepšie bude vybraná čo najmenšia množina \mathcal{F} tak, aby $F_* \in \mathcal{F}$, kde \mathcal{F} nazývame **množinou modelov** (štatistických modelov a modelov rozdelenia pravdepodobnosti). V mnohých prípadoch predpokladáme, že $X_i, i = 1, 2, \dots, n$, sú **rovnakovo rozdelené náhodné premenné** (ozn.

iid; independently identically distributed). V tomto prípade hovoríme o **jednoduchom náhodnom výbere** (srs; simple random sample) s rozsahom n , kde X je charakterizované rozdelením $F_*(\cdot)$.

Príklad 48 (jednoduchý náhodný výber) V jednoduchom náhodnom výbere s rozsahom n z populácie s konečným rozsahom N má každý prvok rovnakú pravdepodobnosť vybrania. Ak vyberáme bez vrátenia, hovoríme o **jednoduchom náhodnom výbere bez vrátenia** (Dalgaard, 2008). Ak vyberáme s vrátením, hovoríme o **jednoduchom náhodnom výbere s vrátením**. Majme množinu \mathcal{M} s $N = 10$ prvkami a chceme z nej vybrať $n = 3$ prvkov (a) bez vrátenia a (b) s vrátením. Kolko máme možností? Ako vyzerá jedna takáto možnosť, ak ide o množinu $\mathcal{M} = \{1, 2, \dots, 10\}$. Zopakujte to isté pre $N = 100$, $n = 30$ a množinu $\mathcal{M} = \{1, 2, \dots, 100\}$.

Riešenie aj v ¹⁸

(a) Spolu máme $\binom{N}{n}$ možných náhodných výberov (kombinácie bez opakovania n -tej triedy z N prvkov množiny \mathcal{M}). Ak $N = 10$ a $n = 3$, potom kombináčné číslo $\binom{N}{n} = \frac{N!}{(N-n)!n!} = \binom{10}{3} = 120$ možností. Ak $N = 100$ a $n = 30$, potom $\binom{N}{n} = \binom{100}{30} = 2.937234 \times 10^{25}$ možností.

```
1 choose(10,3) # pocet vsetkych moznych vyberov bez vratenia
2 choose(100,30)
3 library(utils)
4 combn(10,3) # pocet vsetkych moznych vyberov bez vratenia
5 combn(100,30)
6 sample(x=1:10, size=3, replace=FALSE) # jednoduchy nahodny vyber bez vratenia
7 sample(x=1:100, size=30, replace=FALSE)
```

(b) Spolu máme $\binom{N+n-1}{n}$ možných náhodných výberov (kombinácie s opakováním n -tej triedy z N prvkov množiny \mathcal{M}). Ak $N = 10$ a $n = 3$, potom $\binom{N+n-1}{n} = \frac{(N+n-1)!}{(N-1)!n!} = \binom{10+3-1}{3} = 220$ možností. Ak $N = 100$ a $n = 30$, potom $\binom{N+n-1}{n} = \binom{100+30-1}{30} = 2.009491 \times 10^{29}$ možností.

```
8 choose(10+3-1,3) # pocet vsetkych moznych vyberov s vratenim
9 choose(100+30-1,30)
10 library(utils)
11 combn(10+3-1,3) # pocet vsetkych moznych vyberov s vratenim
12 combn(100+30-1,30)
13 sample(x=1:10, size=3, replace=TRUE) # jednoduchy nahodny vyber s vratenim
14 sample(x=1:100, size=30, replace=TRUE)
```

Príklad 49 (jednoduchý náhodný výber) Nech je skupina ľudí označená identifikačnými číslami (ID) od 1 do 30. Vyberte (a) náhodne 5 ľudí z 30 bez návratu, (b) náhodne 5 ľudí z 30 s návratom a nakoniec (c) náhodne 5 ľudí z 30 bez návratu, kde ľudia s ID od 28 do 30 majú pravdepodobnosť vybrania 4× väčšiu ako ľudia s ID od 1 do 27.

Riešenie v 

```
15 sample(x=1:30, size=5, replace=FALSE)
16 sample(x=1:30, size=5, replace=TRUE)
17 sample(x=1:30, size=5, prob=c(rep(1/39,27),rep(4/39,3)),replace=FALSE)
```

Distribučná funkcia F náhodnej premennej X je definovaná ako $F_X(x) = \Pr(X < x)$, kde zápis znamená pravdepodobnosť, že náhodná premenná X nadobúda hodnoty menšie alebo rovné ako nejaké číslo x , ktoré nazývame *kvantil*. Dolný index v F_X sa spravidla vyniecháva a píšeme F .

¹⁷Pre dvojrozmerný náhodný vektor sa často používa ozn. $(X, Y)^T$ a pre jeho realizáciu ozn. $(x, y)^T$.

¹⁸Detaily o jazyku  pozri napr. v Chambers (2008), Becker a kol. (1988) alebo Matloff (2011).

Náhodná premenná X sa nazýva **diskrétna**, ak jej distribučná funkcia F je schodovitá funkcia. V tomto prípade hovoríme, že ide o **diskrétne rozdelenie** a množina \mathcal{Y} , z ktorej pochádzajú X je konečná alebo nanajvýš spočítateľná (má spočítateľne veľa prvkov).

Distribučná funkcia diskrétnej náhodnej premennej X je definovaná ako (Azzalini, 1996)

$$F_X(x) = \Pr(X < x) = \sum_{i:x_i \leq x} \Pr(X = x_i),$$

kde $\sum_{i=1}^{k(\infty)} p_i = 1$, $\Pr(X = x_i) = p_i = f_X(x_i) = f(x_i)$, $\forall x_i$, sa nazýva **pravdepodobnosťná funkcia**. Často zapisujeme $\{x_i, p_i\}_{i=1}^{k(\infty)}$, kde x_i sú realizácie, p_i sú pravdepodobnosti výskytu x_i , $k \in \mathbb{N}^+$, kde \mathbb{N}^+ znamená množinu kladných prirodzených čísel¹⁹.

Príklad 50 (diskrétna premenná) (1) počet úspešne vykonaných transplantácií v SR, (2) počet hodených šestiek, (3) štyri vekové kategórie, do ktorých zaradíme subjekty, (4) pohlavie, (5) počet starších súrodencov (*o.sib.N*; dve kategórie; dátá: *two-samples-means-birth.txt*), (6) vzdelanie matky (*edu.M*, štyri kategórie; dátá: *anova-newborns.txt*).

Náhodná premenná X sa nazýva **spojitá**, ak jej distribučná funkcia F je absolútne spojitá funkcia. V tomto prípade hovoríme, že ide o **spojité rozdelenie** a množina \mathcal{Y} je nekonečná (nekonečne veľa prvkov).

Distribučná funkcia spojitej náhodnej premennej X je definovaná ako

$$F_X(x) = \int_{-\infty}^x f(t) dt, f(x) \geq 0,$$

kde $\int_{-\infty}^{\infty} f(x) dx = 1$, $f_X(x) = f(x) = \frac{\partial}{\partial x} F_X(x)$ sa nazýva **hustota**.

Príklad 51 (spojitá premenná) (1) čas odbehnutia maratónu v hodinách; (2) hmotnosť v kilogramoch; (3) výška v centimetroch; (4) Rohrerov index; (5) dlžkošírkový index lebky vypočítaný ako podiel náhodných premenných najväčšia šírka mozgovne a najväčšia dĺžka mozgovne (*skull.B* a *skull.L*; v mm; dátá: *one-sample-mean-skull-mf.txt*); (6) stranový rozdiel vertikálneho prieberu v strede dĺžky tela klúčnej kosti na pravej a ľavej strane tela (*length.R* a *length.L*; v mm; dátá: *paired-means-clavicle2.txt*); (7) najväčšia výška mozgovne a morfológická výška tváre (*skull.pH* a *face.H*; v mm; dátá: *one-sample-correlation-skull-mf.txt*).

Rozmery na živom objekte nemožno merať s absolútou presnosťou a počet desatinných miest závisí na presnosti merania; ako posledné desatinné miesto by sa malo uvádzat' to, na ktorom sa pri opakovanej meraní rovnakého objektu na viac desatinných miest zhodujú všetky merania.

Príklad 52 (normálne rozdelenie) Majme náhodnú premennú X (môže to byť napr. výška postavy 10-ročných dievčat) a predpokladáme, že má normálne rozdelenie s parametrami μ (stredná hodnota) a σ^2 (rozptyl), čo zapisujeme ako $X \sim N(\mu, \sigma^2)$, $\mu = 140.83$, $\sigma^2 = 33.79$. Normálne rozdelenie predstavuje model rozdelenia pravdepodobnosti pre túto náhodnú premennú. Vypočítajte pravdepodobnosť $\Pr(a \leq X < b) = \Pr(X < b) - \Pr(X < a) = F_X(b) - F_X(a)$, kde $a = \mu - k\sigma$, $b = \mu + k\sigma$, $k = 1, 2, 3$.

¹⁹Písmeno N sa v angličtine nazýva *blackboard bold N* (*double-struck capital N*).

Riešenie (aj v R); (pozri obrázok 1)

$$a = \mu - \sigma = 135.0171, b = \mu + \sigma = 146.6429,$$

$$\Pr(|X - \mu| > \sigma) = 0.3173, \Pr(|X - \mu| < \sigma) = 1 - 0.3173 = 0.6827,$$

$$a = \mu - 2\sigma = 129.2042, b = \mu + 2\sigma = 152.4558,$$

$$\Pr(|X - \mu| > 2\sigma) = 0.0455, \Pr(|X - \mu| < 2\sigma) = 1 - 0.0455 = 0.9545,$$

$$a = \mu - 3\sigma = 123.3913, b = \mu + 3\sigma = 158.2687,$$

$$\Pr(|X - \mu| > 3\sigma) = 0.0027, \Pr(|X - \mu| < 3\sigma) = 1 - 0.0027 = 0.9973.$$

Pozn.: Pravdepodobnosť $\Pr(a < X < b) = \Pr(a \leq X \leq b)$, pretože pravdepodobnosť v bode (tu a a b) je rovná nule pre spojité premenné, t.j. $\Pr(a) = \Pr(b) = 0$. Pre diskrétnu premennú to neplatí.

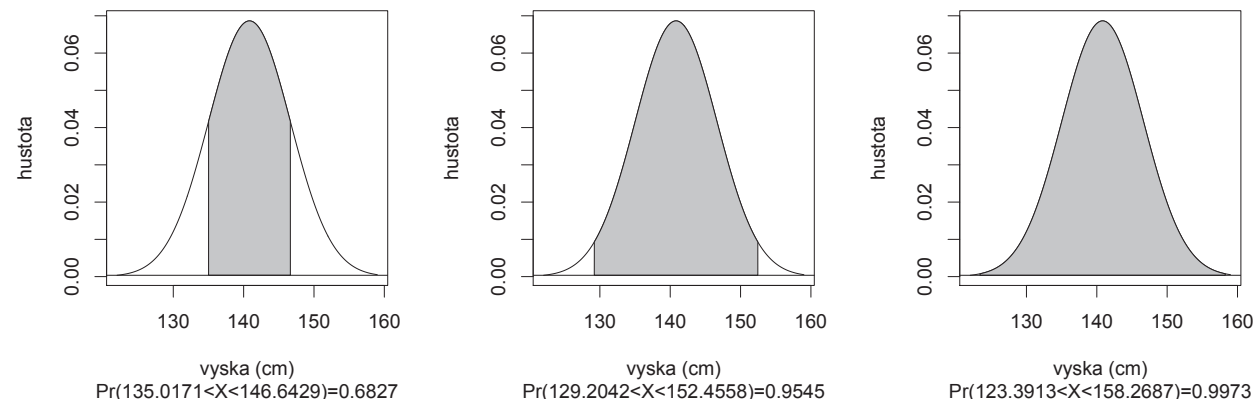
Alternatívny výpočet cez štandardizované normálne rozdelenie (syn. normálne normované rozdelenie) je nasledovný:

```

18 mu <- 0
19 sig <- 1
20 bin <- seq(mu-3*sig, mu+3*sig, by=sig)
21 pnorm(bin[7])-pnorm(bin[1]) # 0.9973002
22 pnorm(bin[6])-pnorm(bin[2]) # 0.9544997
23 pnorm(bin[5])-pnorm(bin[3]) # 0.6826895

```

Dostaneme pravidlo $68.27 - 95.45 - 99.73$ (tzv. „miery normálneho rozdelenia“).



Obr. 1: Miery normálneho rozdelenia; krivka hustoty s vyfarbeným obsahom pod touto krivkou medzi príslušnými kvantilmi na osi x ; obsah je rovný pravdepodobnosti výskytu subjektov s danou výškou v rozpäti týchto kvantilov

Príklad 53 (normálne rozdelenie) Majme $X \sim N(\mu, \sigma^2)$, kde $\mu = 150, \sigma^2 = 6.25$. Vypočítajte $a = \mu - x_{1-\alpha/2}\sigma$ a $b = \mu + x_{1-\alpha/2}\sigma$ tak, aby $\Pr(a \leq X \leq b) = 1 - \alpha$, bola rovná 0.90, 0.95 a 0.99. Číslo $x_{1-\alpha}$ je kvantil normálneho normovaného rozdelenia, t.j. $\Pr(Z = \frac{X-\mu}{\sigma} < x_{1-\alpha}) = 1 - \alpha, Z \sim N(0, 1)$.

Riešenie (aj v R); (pozri obrázok 2)

$\Pr(\mu - x_{1-\alpha/2}\sigma < X < \mu + x_{1-\alpha/2}\sigma) = \Pr(X < \mu + x_{1-\alpha}\sigma) - \Pr(X < \mu - x_{1-\alpha}\sigma) = 1 - \alpha = 0.9$. Z-transformáciou²⁰ na normálne normované rozdelenie dostaneme $\Pr(-x_{1-\alpha/2} < Z < x_{1-\alpha/2}) = 0.9$, kde $\frac{\mu - x_{1-\alpha/2}\sigma - \mu}{\sigma} = -x_{1-\alpha/2}, \frac{\mu + x_{1-\alpha/2}\sigma - \mu}{\sigma} = x_{1-\alpha/2}, x_{1-\alpha} = x_{0.95} = 1.64$, t.j. 90.00 % dát leží v intervale $\mu \pm 1.64\sigma$.

²⁰Z-transformácia je spôsob transformácie náhodnej premennej $X \sim N(\mu, \sigma^2)$ pomocou centrovania strednou hodnotou μ a normovania smerodajnou odchýlkou σ , kde $Z = \frac{X-\mu}{\sigma}; Z \sim N(0, 1)$.

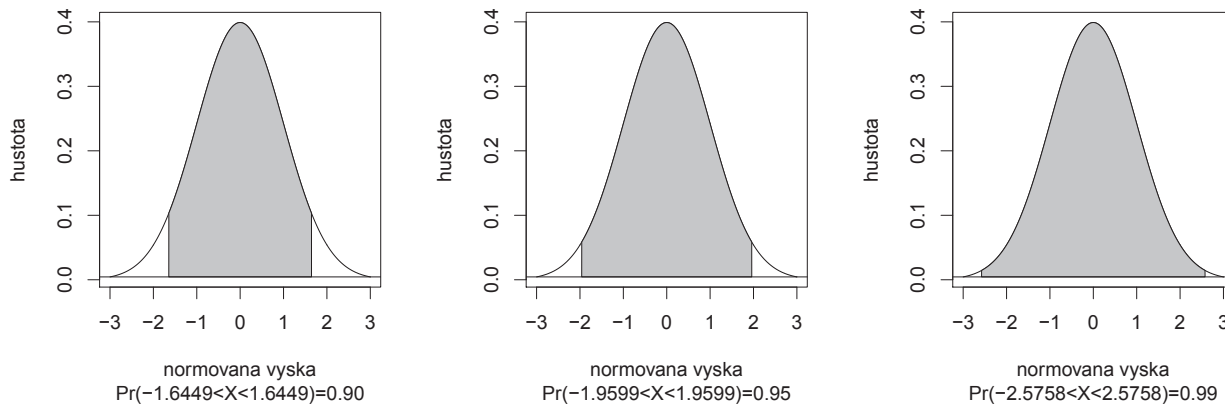
$\Pr(a < X < b) = 0.95$. Potom $x_{0.975} = 1.96$, t.j. 95.00 % dát leží v intervale $\mu \pm 1.96\sigma$.

$\Pr(a < X < b) = 0.99$. Potom $x_{0.995} = 2.58$, t.j. 99.00 % dát leží v intervale $\mu \pm 2.58\sigma$.

```

24 Q95 <- qnorm(0.95, 0, 1) # 1.644854
25 Q05 <- qnorm(0.05, 0, 1) # -1.644854
26 Q975 <- qnorm(0.975, 0, 1) # 1.959964
27 Q025 <- qnorm(0.025, 0, 1) # -1.959964
28 Q995 <- qnorm(0.995, 0, 1) # 2.575829
29 Q005 <- qnorm(0.005, 0, 1) # -2.575829

```



Obr. 2: Upravené miery normálneho rozdelenia; krivka hustoty s vyfarbeným obsahom pod touto krivkou medzi príslušnými kvantilmi na osi x ; obsah je rovný pravdepodobnosti výskytu subjektov s danou normovanou výškou v rozpätí týchto kvantilov

Dostaneme pravidlo 90 – 95 – 99 (tzv. „**upravené miery normálneho rozdelenia**“). Použili sme nerovnosť $\Pr(x_{\alpha/2} < Z < x_{1-\alpha/2}) = \Phi(x_{1-\alpha/2}) - \Phi(x_{\alpha/2}) = 1 - \alpha$, kde Φ je distribučná funkcia normálneho normovaného rozdelenia a všeobecne $\alpha \in (0, 1/2)$; v príklade $\alpha = 0.1, 0.05$ a 0.01 .

Príklad 54 (normálne rozdelenie) Predpokladajme model normálneho rozdelenia $N(132, 13^2)$ pre systolický krvný tlak. Aká časť populácie ($v\%$) bude mať hodnoty väčšie ako 160 mm Hg?

Riešenie (aj v

Pomocou Z -transformácie dostaneme

$$\Pr(X > 160) = \Pr\left(\frac{X-132}{13} > \frac{160-132}{13}\right) = \Pr\left(\frac{X-132}{13} > 2.154\right) = 0.016.$$

```

30 (1-pnorm(160, mean=132, sd=13))*100 # 1.562612 %
31 z.transf <- (160-132)/13
32 (1-pnorm(z.transf))*100 # 1.562612 %

```

Teda asi 1.6 % populácie z $N(132, 13^2)$ bude mať systolický krvný tlak väčší ako 160 mm Hg.

Príklad 55 (binomické rozdelenie) Predpokladajme, že počet ľudí uprednostňujúcich liečbu A pred liečbou B sa správa podľa modelu binomického rozdelenia s parametrami p (pravdepodobnosť výskytu udalosti) a N (rozsah náhodného výberu), ozn. $\text{Bin}(N, p)$, kde $N = 20, p = 0.5$, t.j. ľudia preferujú oba typy liečby rovnako. (a) Aká je pravdepodobnosť, že bude 16 a viac pacientov uprednostňovať liečbu A pred liečbou B? (b) Aká je pravdepodobnosť, že bude 16 a viac a zároveň 4 alebo menej pacientov uprednostňovať liečbu A pred liečbou B?

Riešenie (aj v )

(a) $\Pr(X \geq 16) = 1 - \sum_{i:x_i \leq 15} \Pr(X = x_i) = 1 - \sum_{i:x_i \leq 15} \binom{N}{x_i} p^{x_i} (1-p)^{N-x_i} = 1 - \sum_{i:x_i \leq 15} \binom{20}{x_i} 0.5^{x_i} (1-0.5)^{20-x_i} = 0.006.$

```
33 | pbinom(16, size=20, prob=0.5) # 0.9987116
34 | 1-pbinom(16, size=20, prob=0.5) # 0.001288414
```

Z vyššie uvedeného -kódu vyplýva, že ide o pravdepodobnosť $\Pr(X \leq 16)$ a $\Pr(X > 16)$, ale my potrebujeme $\Pr(X \geq 16)$. Preto -kód upravíme nasledovne

```
35 | 1-pbinom(15, size=20, prob=0.5) # 0.005908966
36 | sum(choose(20, 16:20)*0.5^(16:20)*0.5^(20-16:20)) # 0.005908966
```

(b) $\Pr(X \leq 4, X \geq 16) = 1 - \sum_{i:x_i \leq 15} \Pr(X = x_i) + \sum_{i:x_i \leq 4} \Pr(X = x_i) = 0.012$. Táto pravdepodobnosť je dvojnásobkom predchádzajúcej pravdepodobnosti, lebo $Bin(N, 0.5)$ je symetrické okolo 0.5, t.j.

```
37 | 1-pbinom(15, size=20, prob=0.5)+pbinom(4, size=20, prob=0.5) # 0.01181793
```

Príklad 56 (binomické rozdelenie) Predpokladajme, že pohlavie novorodencov (mužské alebo ženské) sa správa podľa modelu binomického rozdelenia s parametrami p (pravdepodobnosť výskytu chlapcov) a N (rozsah náhodného výberu), ozn. $Bin(N, p)$, kde $N = 1113$, $p = 0.52$, t.j. rodí sa o niečo viac chlapcov než dievčat (dáta: *two-samples-probabilities-sexratio.txt*). Aká je pravdepodobnosť, že sa narodí 700 a viac dievčat?

Príklad 57 (binomické rozdelenie) Predpokladajme, že $\Pr(vír) = 0.533 = p_1$ je pravdepodobnosť výskytu dermatoglyfického vzoru vír na palci pravej ruky mužov českej populácie a $\Pr(ostatné) = 0.467 = p_2$ je pravdepodobnosť výskytu ostatných vzorov na palci pravej ruky mužov českej populácie, pričom X je počet vírov a Y je počet ostatných vzorov, kde $X \sim Bin(N, p_1)$ a $Y \sim Bin(N, p_2)$. Vypočítajte (1) $\Pr(X \leq 120)$, ked' $N = 300$ a (2) $\Pr(Y \leq 120)$, ked' $N = 300$.

\mathcal{F} môže byť nejaká množina **distribučných funkcií** identifikovateľných pomocou parametra $\boldsymbol{\theta}$ z parametrického priestoru $\Theta \in \mathbb{R}^k$ (\mathbb{R} znamená množinu reálnych čísel²¹), čo môžeme formálne zapísť ako (Azzalini, 1996)

$$\mathcal{F} = \{F(\cdot; \boldsymbol{\theta}) : \boldsymbol{\theta} \in \Theta \subseteq \mathbb{R}^k\},$$

kde pre každé fixné $\boldsymbol{\theta}$ je $F(\cdot; \boldsymbol{\theta})$ distribučnou funkciou, ktorej nosič je $\mathcal{Y}_{\boldsymbol{\theta}} \subseteq \mathbb{R}^n$. **Nosič** $\mathcal{Y}_{\boldsymbol{\theta}}$ je najmenšia množina, na ktorej je hustota definovaná. Výberový priestor je množina \mathcal{Y} všetkých možných hodnôt x , ktoré charakterizujeme modelom. Formálne $\mathcal{Y} = \cup_{\boldsymbol{\theta} \in \Theta} \mathcal{Y}_{\boldsymbol{\theta}}$. Často však $\mathcal{Y}_{\boldsymbol{\theta}}$ je rovnaký pre všetky $\boldsymbol{\theta}$, a preto koinciduje s \mathcal{Y} .

Príklad 58 (parametre) Príklady parametrov θ – stredná hodnota μ , rozptyl σ^2 , korelačný koeficient ρ , pravdepodobnosť p výskytu nejakej udalosti, rozdiel dvoch stredných hodnôt $\mu_1 - \mu_2$, podiel dvoch rozptylov σ_1^2/σ_2^2 , rozdiel dvoch korelačných koeficientov $\rho_1 - \rho_2$, rozdiel dvoch pravdepodobností $p_1 - p_2$ a pod.

²¹ \mathbb{R}^k znamená k -rozmernú množinu reálnych čísel (k je dĺžka vektora parametrov $\boldsymbol{\theta} \in \Theta$), kde ak $k = 1$, potom $\Theta \in \mathbb{R}$ je číslo (skalár). \mathbb{R}^n znamená n -rozmernú množinu reálnych čísel (n je rozsah náhodného výberu). \mathbb{R}^+ znamená množinu kladných reálnych čísel.

Príklad 59 (parametre) Príkladmi parametrov môžu byť: (1) stredná hodnota μ a (2) rozptyl σ^2 dĺžky lebky (*skull-L*, v mm) egyptskej stredovekej mužskej populácie; (3) rozdiel medzi strednými hodnotami $\mu_1 - \mu_2$ dĺžky lebky mužskej a ženskej; (4) podiel rozptylov σ_1^2/σ_2^2 hodnôt dĺžky lebky u mužov a u žien (dáta: *two-samples-means-skull.txt*); (5) korelačný koeficient ρ medzi dĺžkou dolnej končatiny (*lowex.L*, v mm) a dĺžkou trupu (*tru.L*, v mm); (6) rozdiel korelačných koeficientov $\rho_1 - \rho_2$ medzi dĺžkou dolnej končatiny a dĺžkou trupu u mužov a u žien (dáta: *two-samples-correlations-trunk.txt*); (7) pravdepodobnosť p výskytu mužov (*sex*; m – muž, f – žena); (8) pravdepodobnosť výskytu popôrodných zmien p na ženských panvových kostiach u Afričaniek, ako aj rozdiel pravdepodobností $p_1 - p_2$ výskytu výrazných popôrodných zmien na panvových kostiach Afričaniek a Inuitiek (dáta: *more-samples-probabilities-pubis.txt*); (9) rozdiel pravdepodobností $p_1 - p_2$ sexuálnej orientácie na opačné pohlavie (*sexor* – sexuálna orientácia; *op* – výlučne na opačné pohlavie, *sa* – minimálne/občas na rovnaké pohlavie) u mužov a žien (dáta: *anova-head.txt*).

Čítanie označení. Pojem „model rozdelenia pravdepodobnosti“ sa často skracuje na „rozdelenie“. Potom hovoríme, že „ X má rozdelenie $F_X(x)$ “, „ X je charakterizované rozdelením $F_X(x)$ “ alebo „ X pochádza z rozdelenia $F_X(x)$ “, čo označujeme ako $X \sim F_X(x)$, kde symbol „ \sim “ čítame ako „je rozdelená ako“ alebo „pochádza z rozdelenia“ (často sa uvádzajú aj pojmy „**asymptoticky**“, čo znamená „pre veľké n “). Mohli by sme písť aj $X \sim f_X(x)$, to sa však používa len zriedkavo. Ak porovnávame rozdelenia dvoch náhodných premenných X a Y , hovoríme „ X a Y majú rovnaké rozdelenie“ alebo „ X a Y sú rovnako rozdelené“, ozn. $X \sim Y$ alebo $F_X(x) \sim F_Y(y)$. Pojem „štatistický model“ sa často skracuje na „model“.

Tri typy priestorov. Výberový priestor \mathcal{Y} súvisí s náhodnou premennou a jej realizáciou, nosič \mathcal{Y}_θ súvisí s hodnotami, na ktorých je definovaná hustota rozdelenia pravdepodobnosti a parametrický priestor Θ súvisí s parametrom θ .

Príklad 60 (binomické rozdelenie) Ak $X \sim Bin(N, \theta)$, $\theta = p \in \langle 0, 1 \rangle$, potom \mathcal{Y}_θ je rovnaký pre všetky θ a koinciduje s výberovým priestorom $\mathcal{Y} = \{0, 1, \dots, N\}$.

Aproximácia binomického rozdelenia normálnym. Ak $X \sim Bin(N, p)$, $Np > 5$ a $Nq > 5$, kde $q = 1 - p$, potom rozdelenie náhodnej premennej X môžeme approximovať normálnym rozdelením, kde $X \sim N(Np, Npq)$; príklady pozri v tabuľke 2.

Tabuľka 2: Príklady minimálnych N pre fixované p potrebných na approximáciu

p	0.1	0.2	0.3	0.4	0.5
q	0.9	0.8	0.7	0.6	0.5
N	51	26	17	13	11

Príklad 61 (aproximácia binomického rozdelenia normálnym) Nech $Pr(muž) = 0.515$ znamená pravdepodobnosť výskytu mužov v populácii a $Pr(žena) = 0.485$ pravdepodobnosť výskytu žien. Nech X je počet mužov a Y počet žien. Za predpokladu modelu $Bin(N, p)$ vypočítajte (a) $Pr(X \leq 3)$, ak $N = 5$, (b) $Pr(X \leq 5)$, ak $N = 10$ a (c) $Pr(X \leq 25)$, ak $N = 50$. Porovnajte vypočítané pravdepodobnosti s pravdepodobnosťami approximovaným normálnym rozdelením $N(Np, Npq)$.

Riešenie (aj v ) (pozri obrázok 3 a 4)

Aproximácia znamená „pričíne vyjadrenie“, t.j. bud' nejaké rozdelenie approximujeme iným (majúcim isté výhody oproti tomu, ktoré approximujeme), alebo approximujeme dátá nejakým rozdelením (ktoré popisuje dátá pomocou ľahko interpretovateľných parametrov).

(a) $E[X] = Np = 5 \times 0.515 = 2.575, E[Y] = 5 \times 0.485 = 2.425,$

$$\Pr(X \leq 3) = \sum_{k \leq 3} \binom{5}{k} 0.515^k 0.485^{5-k} = 0.793,$$

$$\Pr(X \leq 3) = 0.648, N(5 \times 0.515, 5 \times 0.515 \times 0.485).$$

(b) $E[X] = 10 \times 0.515 = 5.15, E[Y] = 10 \times 0.485 = 4.85,$

$$\Pr(X \leq 5) = \sum_{k \leq 5} \binom{10}{k} 0.515^k 0.485^{10-k} = 0.586,$$

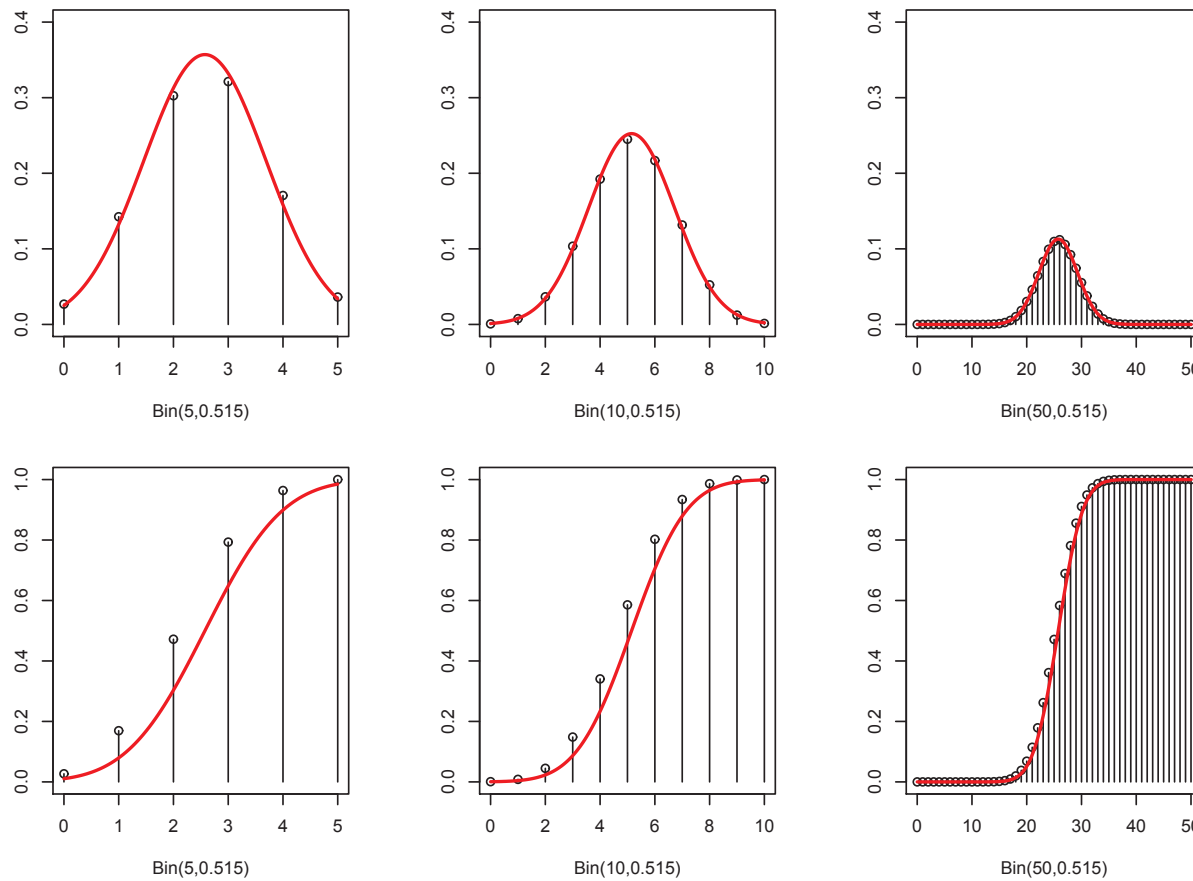
$$\Pr(X \leq 5) = 0.462, N(10 \times 0.515, 10 \times 0.515 \times 0.485).$$

(c) $E[X] = 50 \times 0.515 = 25.75, E[Y] = 50 \times 0.485 = 24.25,$

$$\Pr(X \leq 25) = \sum_{k \leq 25} \binom{50}{k} 0.515^k 0.485^{50-k} = 0.471,$$

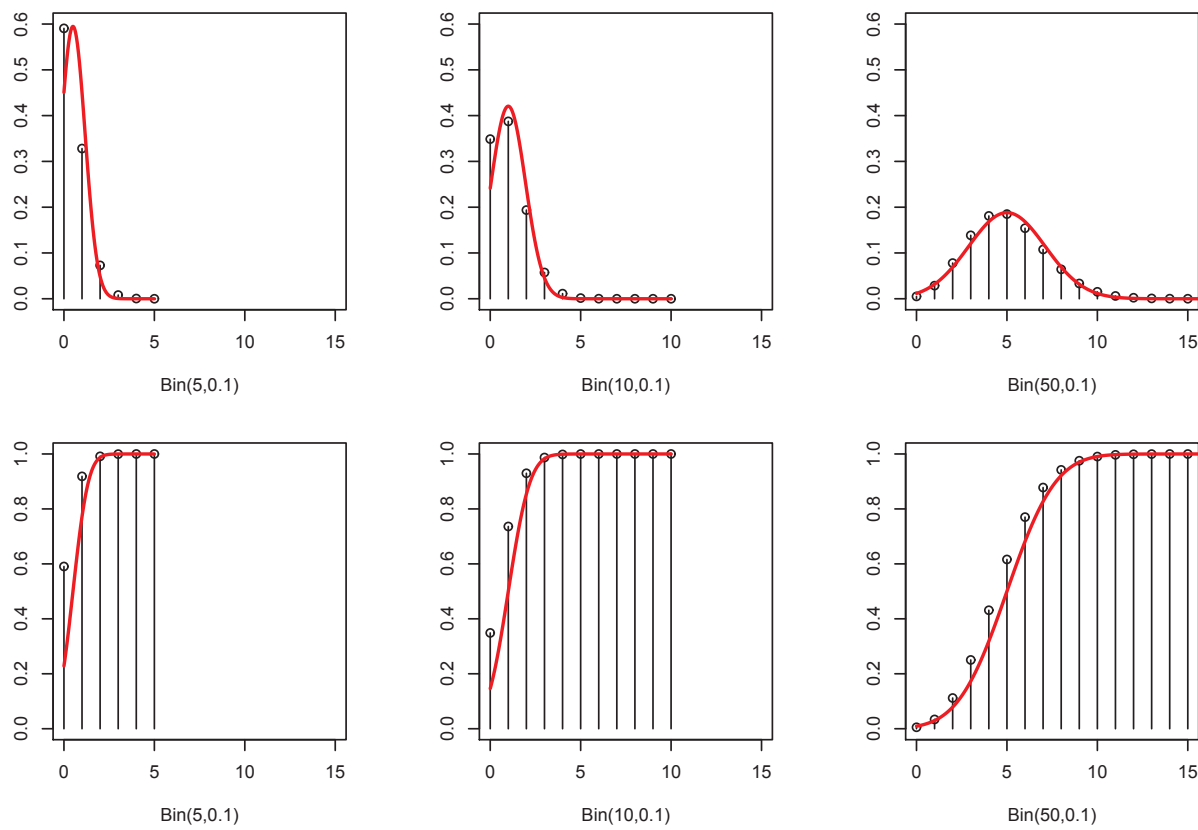
$$\Pr(X \leq 25) = 0.416, N(50 \times 0.515, 50 \times 0.515 \times 0.485).$$

```
38 pbinom(3, size=5, prob=0.515) # 0.7931878
39 pnorm(3, mean=5*0.515, sd=sqrt(5*0.515*0.485)) # 0.6481396
40 pbinom(5, size=10, prob=0.515) # 0.5856244
41 pnorm(5, mean=10*0.515, sd=sqrt(10*0.515*0.485)) # 0.4621927
42 pbinom(25, size=50, prob=0.515) # 0.4712842
43 pnorm(25, mean=50*0.515, sd=sqrt(50*0.515*0.485)) # 0.4159648
```



Obr. 3: Aproximácia binomického rozdelenia normálnym pre $p = 0.515$ a $N = 5, 10$ a 50 ; spojnicový graf superponovaný hustotou (prvý riadok) a distribučnou funkciou (druhý riadok)

Z príkladu 61 vyplýva, že pre pravdepodobnosť $p = 0.515$ a $N = 50$ approximácia stále nie je postačujúca (ani na jedno desatinné miesto) a pre $N = 10$ a $N = 5$ ju nie je možné použiť. Pre



Obr. 4: Aproximácia binomického rozdelenia normálnym pre $p = 0.1$ a $N = 5, 10$ a 50 ; spojnicový graf superponovaný hustotou (prvý riadok) a distribučnou funkciou (druhý riadok)

pravdepodobnosti p blížiace sa jednotke alebo nule sú potrebné väčšie početnosti ako pre pravdepodobnosti p blízke hodnote 0.5.

Distribučné funkcie patriace do množiny \mathcal{F} sú distribučnými funkciemi diskrétnych alebo spojitych náhodných premenných. Potom \mathcal{F} môže byť definovaná ako množina **pravdepodobnostných funkcií** alebo **funkcií hustoty** a model môžeme formálne zapísť ako (Casella a Berger, 2002)

$$\mathcal{F} = \{f(\cdot; \boldsymbol{\theta}) : \boldsymbol{\theta} \in \Theta \subseteq \mathbb{R}^k\}$$

pre nejakú funkciu hustoty f . Vektor $\boldsymbol{\theta}$ sa nazýva **parameter**, množina Θ **parametrický priestor** a \mathcal{F} **parametrický model**. Keďže prvky \mathcal{F} sú asociované s prvkami Θ , existuje $\boldsymbol{\theta}_* \in \Theta$ asociovaná s F_* a nazýva sa **skutočná hodnota parametra**. A štatistická inferencia je práve o $\boldsymbol{\theta}_*$. Parametrický štatistický model môže byť charakterizovaný aj pomocou k -rozmerného vektora parametrov $\boldsymbol{\theta}$, preto sa v označení používa \mathbb{R}^k , kde pre skalár θ bude $k = 1$.

Ak však

$$\mathcal{F} = \{\text{množina všetkých hustôt funkcií jednej premennej}\},$$

ide o **neparametrický model** (Wasserman, 2006).

Normálne rozdelenie. Model pre náhodný výber X_1, X_2, \dots, X_n je $N(\mu, \sigma^2)$ a hovoríme, že X_1, X_2, \dots, X_n pochádza z normálneho rozdelenia, t.j. $X \sim N(\mu, \sigma^2)$. Parameter modelu $N(\mu, \sigma^2)$ je vektor $\boldsymbol{\theta} = (\mu, \sigma^2)^T$. Hustota tohto rozdelenia má tvar $f(x) = \frac{1}{\sqrt{2\pi\sigma^2}} e^{-\frac{(x-\mu)^2}{2\sigma^2}}$, $x \in \mathbb{R}$.

Príklad 62 (normálne rozdelenie) Predpokladajme, že náhodná premenná X má asymptoticky (pre veľké n) normálne rozdelenie so strednou hodnotou $E[X] = \mu$ a rozptylom $Var[X] = \sigma^2$, čo zapisujeme ako $X \sim N(\mu, \sigma^2)$. Príkladmi takýchto náhodných premenných sú: (1) dĺžka pravej kľúčnej kosti u mužov (`length.R`; dátá: `paired-means-clavicle2.txt`); (2) šírka lebky u žien (`skull.B`; dátá: `one-sample-mean-skull-mf.txt`).

Štandardizované normálne rozdelenie. Model pre náhodný výber X_1, X_2, \dots, X_n je $N(0, 1)$ a hovoríme, že X_1, X_2, \dots, X_n pochádza zo štandardizovaného normálneho rozdelenia, t.j. $X \sim N(\mu, \sigma^2)$, kde $\mu = 0$ a $\sigma^2 = 1$. Parameter modelu $N(\mu, \sigma^2)$ je vektor $\boldsymbol{\theta} = (0, 1)^T$. Hustota tohto rozdelenia má tvar $\phi(x) = f(x) = \frac{1}{\sqrt{2\pi}} e^{-\frac{x^2}{2}}, x \in \mathbb{R}$.

Príklad 63 (štandardizované normálne rozdelenie) Predpokladáme, že náhodná premenná X šírka lebky u mužov (`skull.B`; dátá: `one-sample-mean-skull-mf.txt`) má asymptoticky normálne rozdelenie so strednou hodnotou μ a rozptylom σ^2 , čo zapisujeme ako $X \sim N(\mu, \sigma^2)$. Keď od X odpočítame jej strednú hodnotu μ a tento rozdiel vydelíme odmocninou z rozptylu $\sigma = \sqrt{\sigma^2}$, dostaneme náhodnú premennú Z , ktorá má asymptoticky normálne rozdelenie so strednou hodnotou $\mu = 0$ a rozptylom $\sigma^2 = 1$, čo zapisujeme ako $Z \sim N(0, 1)$.

Dvojrozmerné normálne rozdelenie. Náhodný vektor $(X, Y)^T$ má dvojrozmerné normálne rozdelenie

$$N_2(\boldsymbol{\mu}, \boldsymbol{\Sigma}), \text{ kde } \boldsymbol{\mu} = (\mu_1, \mu_2)^T \text{ a } \boldsymbol{\Sigma} = \begin{pmatrix} \sigma_1^2 & \rho\sigma_1\sigma_2 \\ \rho\sigma_1\sigma_2 & \sigma_2^2 \end{pmatrix},$$

s hustotou (Casella a Berger, 2002)

$$f(x, y) = \frac{1}{2\pi\sqrt{\sigma_1^2\sigma_2^2(1-\rho^2)}} \exp \left\{ -\frac{1}{2(1-\rho^2)} \left\{ \frac{(x-\mu_1)^2}{\sigma_1^2} - 2\rho \frac{(x-\mu_1)(y-\mu_2)}{\sigma_1\sigma_2} + \frac{(y-\mu_2)^2}{\sigma_2^2} \right\} \right\},$$

kde $(x, y)^T \in \mathbb{R}^2$, $\mu_i \in \mathbb{R}^1$, $\sigma_i^2 > 0$, $i = 1, 2$, $\rho \in \langle -1, 1 \rangle$ sú parametre, potom $\boldsymbol{\theta} = (\mu_1, \mu_2, \sigma_1^2, \sigma_2^2, \rho)^T$. Výraz v exponente môžeme písat' ako

$$-\frac{1}{2} \begin{pmatrix} x - \mu_1 \\ y - \mu_2 \end{pmatrix}^T \begin{pmatrix} \sigma_1^2 & \rho\sigma_1\sigma_2 \\ \rho\sigma_1\sigma_2 & \sigma_2^2 \end{pmatrix}^{-1} \begin{pmatrix} x - \mu_1 \\ y - \mu_2 \end{pmatrix},$$

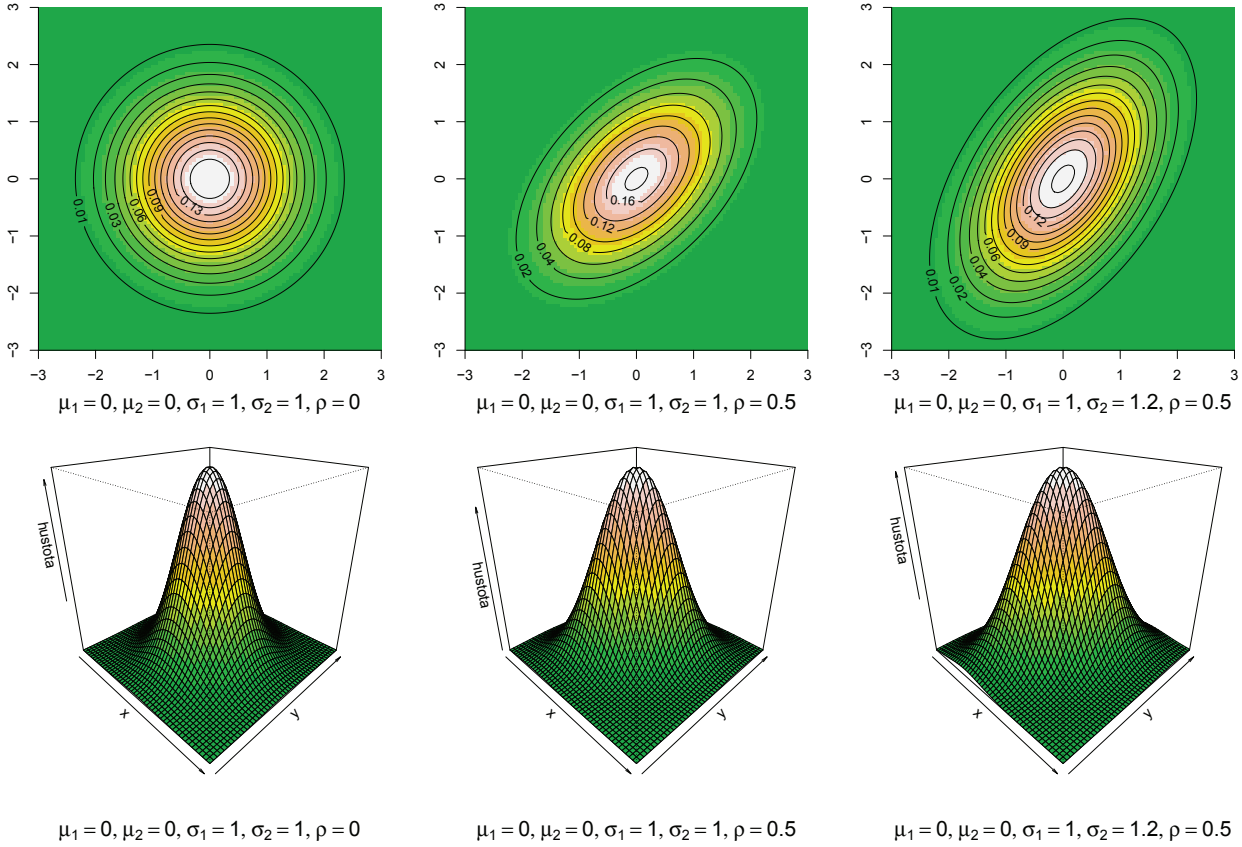
marginálne rozdelenia sú $X \sim N(\mu_1, \sigma_1^2)$ a $Y \sim N(\mu_2, \sigma_2^2)$, ρ je koeficient korelácie (detaily maticovej algebry pozri v (Gentle, 2007)). Marginálne rozdelenie je rozdelenie marginálnej náhodnej premennej, tu X nezávisle na Y a naopak Y nezávisle na X .

Z vyššie uvedeného textu je zrejmé, že na dostatočný popis dvojrozmerného normálneho rozdelenia potrebujeme päť parametrov, t.j. strednú hodnotu a rozptyl pre marginálne rozdelenie náhodných premenných X a Y a korelačný koeficient $\rho = \rho(X, Y)$ popisujúci silu lineárneho vzťahu X a Y .

Príklad 64 (dvojrozmerné normálne rozdelenie) (1) Nakreslite hustotu dvojrozmerného normálneho rozdelenia $N_2(\boldsymbol{\mu}, \boldsymbol{\Sigma})$ pomocou funkcie `image()` a superponujte ho s kontúrovým grafom hustoty tohto istého rozdelenia pomocou funkcie `contour()`. (2) Nakreslite hustotu dvojrozmerného normálneho rozdelenia $N_2(\boldsymbol{\mu}, \boldsymbol{\Sigma})$ pomocou funkcie `persp()`. Hustotu rozsekajte na 12 intervalov, kde hodnoty v týchto intervaloch budú zodpovedať farbám `terrain.colors(12)`. Použite nasledovné parametre

- (a) $\mu_1 = 0, \mu_2 = 0, \sigma_1 = 1, \sigma_2 = 1, \rho = 0$;
 (b) $\mu_1 = 0, \mu_2 = 0, \sigma_1 = 1, \sigma_2 = 1, \rho = 0.5$;
 (c) $\mu_1 = 0, \mu_2 = 0, \sigma_1 = 1, \sigma_2 = 1.2, \rho = 0.5$.

Vzorové riešenie pozri na obrázku 5.

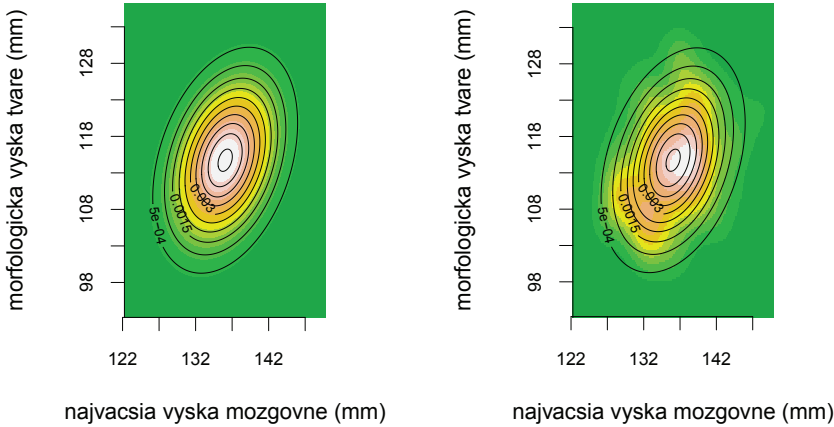


Obr. 5: Hustoty dvojrozmerného normálneho rozdelenia pri rôznych parametroch (prvý riadok – kontúrový graf, druhý riadok – perspektívny trojrozmerný graf v podobe plochy); čím je ρ odlišnejšie od nuly, tým viac sa kontúry líšia od kruhov (menia sa na elipsy); so zväčšujúcim sa rozdielom medzi σ_1 a σ_2 sa zväčšuje rozdiel rozptýlenia koncentrických kruhov v smere jednotlivých osí (hovoríme, že rozdiel variability premenných X_1 a X_2 sa zväčšuje)

Príklad 65 (dvojrozmerné normálne rozdelenie) Nech náhodnou premennou X je najväčšia výška mozgovne u mužov (`skull.pH`; v mm) a náhodnou premennou Y je morfológická výška tváre u mužov (`face.H`; v mm); dátá: `one-sample-correlation-skull-mf.txt`. Nech $E[X] = \mu_1$ je stredná hodnota najväčšej výšky mozgovne a $\text{Var}[X] = \sigma_1^2$ je rozptyl najväčšej výšky mozgovne, $E[Y] = \mu_2$ je stredná hodnota morfológickej výšky tváre a $\text{Var}[Y] = \sigma_2^2$ je rozptyl morfológickej výšky tváre. Predpokladajme, že najväčšia výška mozgovne X má normálne rozdelenie $N(\mu_1, \sigma_1^2)$ a morfológická výška tváre Y má normálne rozdelenie $N(\mu_2, \sigma_2^2)$. Potom $(X, Y)^T$ má dvojrozmerné normálne rozdelenie $N_2(\boldsymbol{\mu}, \boldsymbol{\Sigma})$ s parametrami $\boldsymbol{\mu} = (\mu_1, \mu_2)^T$, čo je vektor stredných hodnôt a σ_1^2, σ_2^2 a ρ , čo sú parametre kovariančnej matice $\boldsymbol{\Sigma}$, kde sila lineárneho vzťahu týchto dvoch premenných je daná veľkosťou a znamienkom ρ . Potom $\boldsymbol{\theta} = (\mu_1, \mu_2, \sigma_1^2, \sigma_2^2, \rho)^T$.

- (1) Nakreslite hustotu dvojrozmerného normálneho rozdelenia $N_2(\boldsymbol{\mu}, \boldsymbol{\Sigma})$ pomocou funkcie `image()` a superponujte ho s kontúrovým grafom hustoty tohto istého rozdelenia pomocou funkcie `contour()`.
- (2) Nakreslite dvojrozmerný jadrový odhad hustoty pomocou funkcií `kde2d()` a `image()` a superponujte ho s kontúrovým grafom hustoty

dvojrozmerného normálneho rozdelenia $N_2(\boldsymbol{\mu}, \boldsymbol{\Sigma})$ pomocou funkcie `contour()`. Hustotu rozsekajte na 12 intervalov, kde hodnoty v týchto intervaloch budú zodpovedať farbám `terrain.colors(12)`. Namiesto $\boldsymbol{\theta}$ použite vektor $\hat{\boldsymbol{\theta}} = (\bar{x}_1, \bar{x}_2, s_1^2, s_2^2, r)^T$ odhadnutý z dát, kde r je Pearsonov korelačný koeficient. Riešenie pozri na obrázku 6.



Obr. 6: Hustota dvojrozmerného normálneho rozdelenia s parametrom $\hat{\boldsymbol{\theta}}$, ktorý je odhadnutý z dát (vľavo) a superimpozícia kontúr hustoty dvojrozmerného normálneho rozdelenia s parametrom $\hat{\boldsymbol{\theta}}$, ktorý je odhadnutý z dát a dvojrozmerného jadrového odhadu hustoty (vpravo)

Štandardizované dvojrozmerné normálne rozdelenie. Náhodný vektor $(X, Y)^T$ má dvojrozmerné normálne rozdelenie

$$N_2(\mathbf{0}, \boldsymbol{\Sigma}), \text{ kde } \mathbf{0} = (0, 0)^T \text{ a } \boldsymbol{\Sigma} = \begin{pmatrix} 1 & \rho \\ \rho & 1 \end{pmatrix},$$

s hustotou (Bickel a Doksum, 2006)

$$\phi(x, y) = f(x, y) = \frac{1}{2\pi\sqrt{1-\rho^2}} \exp\left\{-\frac{x^2 - 2\rho xy + y^2}{2(1-\rho^2)}\right\},$$

kde $(x, y)^T \in \mathbb{R}^2$, $\rho \in \langle -1, 1 \rangle$ sú parametre, potom $\boldsymbol{\theta} = (0, 0, 1, 1, \rho)^T$. Výraz v exponente môžeme písat ako

$$-\frac{1}{2} \begin{pmatrix} x \\ y \end{pmatrix}^T \begin{pmatrix} 1 & \rho \\ \rho & 1 \end{pmatrix}^{-1} \begin{pmatrix} x \\ y \end{pmatrix},$$

marginálne rozdelenia sú obe $N(0, 1)$ a ρ je koeficient korelácie.

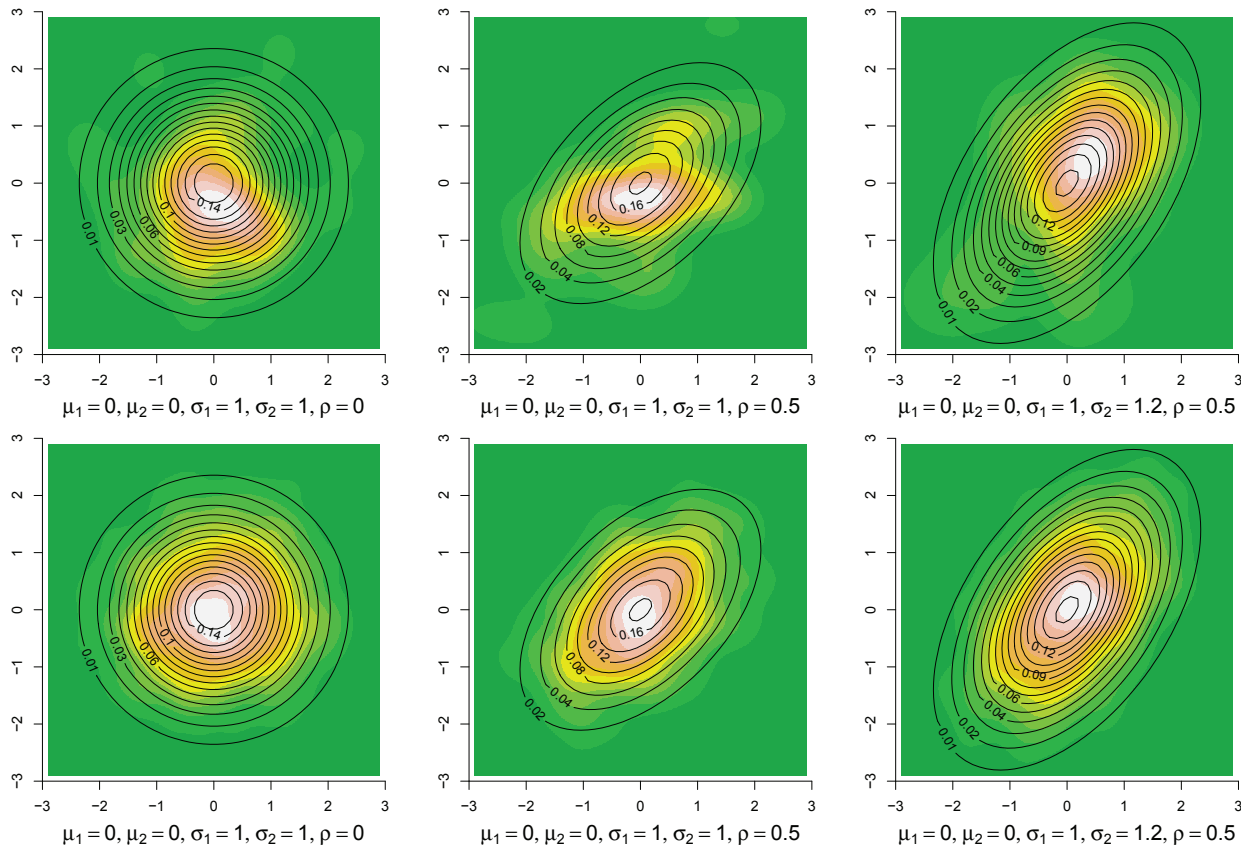
Príklad 66 (štandardizované dvojrozmerné normálne rozdelenie) Nech náhodnou premenou $X \sim N(\mu_1, \sigma_1^2)$ je najväčšia výška mozgovne u mužov (`skull.pH`; v mm) a náhodnou premenou $Y \sim N(\mu_2, \sigma_2^2)$ je morfologická výška tváre u mužov (`face.H`; v mm). Nech X a Y majú dvojrozmerné normálne rozdelenie s parametrami $(\mu_1, \mu_2)^T$ a σ_1^2, σ_2^2 a ρ sú parametre kovariančnej matice $\boldsymbol{\Sigma}$. Keď od X odpočítame jej strednú hodnotu μ_1 a tento rozdiel vydelíme odmocninou z rozptylu σ_1 , dostaneme náhodnú premennú Z_X , ktorá má asymptoticky normálne rozdelenie so strednou hodnotou $\mu_1 = 0$ a rozptylom $\sigma_1^2 = 1$, čo zapisujeme ako $Z_X \sim N(0, 1)$. Keď od Y odpočítame jej strednú

hodnotu μ_2 a tento rozdiel vydelíme odmocninou z rozptylu σ_2 , dostaneme náhodnú premennú Z_Y , ktorá má asymptoticky normálne rozdelenie so strednou hodnotou $\mu_2 = 0$ a rozptylom $\sigma_2^2 = 1$, čo zapisujeme ako $Z_Y \sim N(0, 1)$. Potom $(Z_X, Z_Y)^T$ má štandardizované dvojrozmerné normálne rozdelenie $N_2(\boldsymbol{\mu}, \boldsymbol{\Sigma})$ s parametrami $\boldsymbol{\mu} = (0, 0)^T$ a $\sigma_1^2 = 1$, $\sigma_2^2 = 1$ a ρ sú parametre kovariančnej matice $\boldsymbol{\Sigma}$ (dáta: *one-sample-correlation-skull-mf.txt*).

Príklad 67 (dvojrozmerné normálne rozdelenie) Simuláciu pseudonáhodných čísel z $N_2(\boldsymbol{\mu}, \boldsymbol{\Sigma})$ môžeme v R urobiť použitím nasledovných alternatívnych funkcií:

- 1) knižnice `library(MASS)` a funkcie `mvrnorm()`;
 - 2) knižnice `library(mvtnorm)` a funkcie `rmvnorm()`;
 - 3) funkcie `rnorm()` a nasledovného algoritmu – nech $X_1 \sim N(0, 1)$ a $X_2 \sim N(0, 1)$; potom $(Y_1, Y_2) \sim N_2(\boldsymbol{\mu}, \boldsymbol{\Sigma})$, kde $\boldsymbol{\mu} = (\mu_1, \mu_2)^T$, čo je vektor stredných hodnôt a σ_1^2, σ_2^2 a ρ , čo sú parametre kovariančnej matice $\boldsymbol{\Sigma}$, kde sila lineárneho vzťahu Y_1 a Y_2 je daná veľkosťou a znamienkom ρ ; $Y_1 = \sigma_1 X_1 + \mu_1$ a $Y_2 = \sigma_2(\rho X_1 + \sqrt{1 - \rho^2} X_2) + \mu_2$. Nasimuluje pseudonáhodné čísla Y_1 a Y_2 z $N_2(\boldsymbol{\mu}, \boldsymbol{\Sigma})$. Vypočítajte dvojrozmerný jadrový odhad hustoty $(Y_1, Y_2)^T$ pomocou funkcie `kde2d()`. Nakreslite ho pomocou funkcie `image()` a superponujte ho s kontúrovým grafom hustoty dvojrozmerného normálneho rozdelenia $N_2(\boldsymbol{\mu}, \boldsymbol{\Sigma})$ pomocou funkcie `contour()`. Hustotu rozsekajte na 12 intervalov, kde hodnoty v týchto intervaloch budú zodpovedať farbám `terrain.colors(12)`. Pri simulácii použite nasledovné parametre
- (a) $\mu_1 = 0, \mu_2 = 0, \sigma_1 = 1, \sigma_2 = 1, \rho = 0$; (1) $n = 50$ a (2) $n = 1000$;
 (b) $\mu_1 = 0, \mu_2 = 0, \sigma_1 = 1, \sigma_2 = 1, \rho = 0.5$; (1) $n = 50$ a (2) $n = 1000$;
 (c) $\mu_1 = 0, \mu_2 = 0, \sigma_1 = 1, \sigma_2 = 1.2, \rho = 0.5$; (1) $n = 50$ a (2) $n = 1000$.

Vzorové riešenie pozri na obrázku 7.



Obr. 7: Hustoty dvojrozmerného normálneho rozdelenia (prvý riadok $n = 50$; druhý riadok $n = 1000$)

Príklad 68 (zmes dvoch dvojrozmerných normálnych rozdelení) Simuláciu pseudonáhodných čísel zo zmesi dvoch normálnych rozdelení $pN_2(\boldsymbol{\mu}_1, \Sigma_1) + (1-p)N_2(\boldsymbol{\mu}_2, \Sigma_2)$ môžeme v R urobiť použitím jedného z alternatívnych postupov z príkladu 67. Nasimuluje pseudonáhodné čísla X a Y (1) zo zmesi $pN_2(\boldsymbol{\mu}_1, \Sigma_1) + (1-p)N_2(\boldsymbol{\mu}_2, \Sigma_2)$, kde $\boldsymbol{\theta} = (\mu_{11}, \mu_{12}, \sigma_{11}^2, \sigma_{12}^2, \rho_1, \mu_{21}, \mu_{22}, \sigma_{21}^2, \sigma_{22}^2, \rho_2)^T$ a (2) z dvojrozmerného rozdelenia $N_2(\boldsymbol{\mu}, \Sigma)$, kde parametre predstavujú spoločný vektor stredných hodnôt a spoločnú kovariančnú maticu. t.j. $\boldsymbol{\theta} = (\mu_1, \mu_2, \sigma_1^2, \sigma_2^2, \rho)^T$. Pre (1) vypočítajte dvojrozmerný jadrový odhad hustoty $(X, Y)^T$ pomocou funkcie `kde2d()`.

(a) Nakreslite teoretickú hustotu (2) pomocou funkcie `image()` a superponujte ju s kontúrovým grafom teoretickej hustoty (2) pomocou funkcie `contour()`. Teoretickým rozdelením v tomto prípade bude $N_2(\hat{\boldsymbol{\mu}}, \hat{\Sigma})$.

(b) Nakreslite teoretickú hustotu (1) pomocou funkcie `image()` a superponujte ju s kontúrovým grafom teoretickej hustoty (1) pomocou funkcie `contour()`.

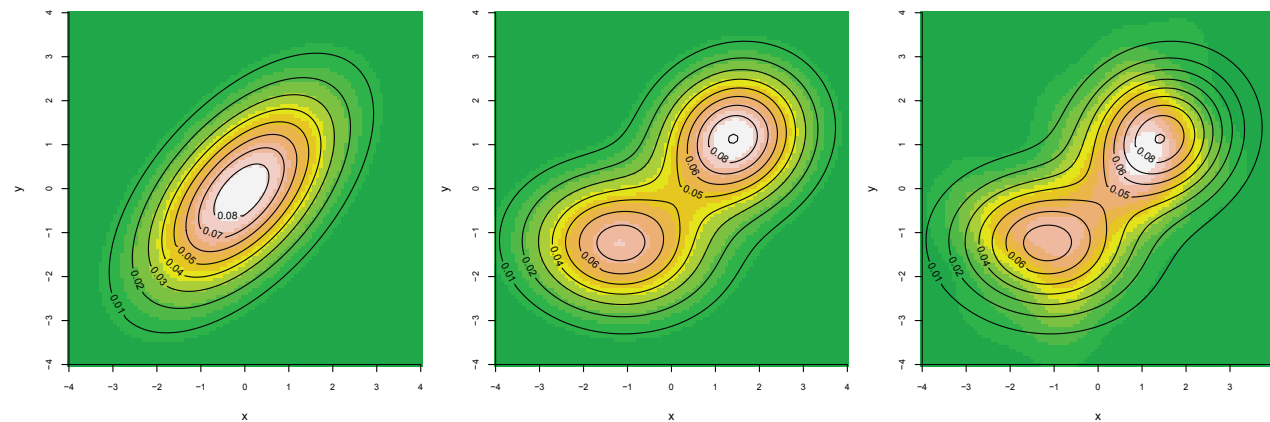
(c) Nakreslite dvojrozmerný jadrový odhad hustoty realizácií (1) pomocou funkcie `image()` a superponujte ju s kontúrovým grafom teoretickej hustoty (1) pomocou funkcie `contour()`.

Hustotu rozsekajte na 12 intervalov, kde hodnoty v týchto intervaloch budú zodpovedať farbám `terrain.colors(12)`. Pri simulácii použite $\boldsymbol{\theta} = (-1.2, -1.2, 1, 1, 0, 1, 1, 1, 1, 1, 0)^T$,

(1) $\hat{\boldsymbol{\theta}} = (\bar{x}_{11}, \bar{x}_{12}, s_{11}^2, s_{12}^2, r_1, \bar{x}_{21}, \bar{x}_{22}, s_{21}^2, s_{22}^2, r_2)^T$, $n_1 = n_2 = 50$ a $p = 0.5$ (odhady pochádzajú z nasimulovaných dát).

(2) $\hat{\boldsymbol{\theta}} = (\bar{x}_1, \bar{x}_2, s_1^2, s_2^2, r)^T$ a $n_1 = n_2 = 50$ (odhady pochádzajú zo spoločného výberu nasimulovaných dát).

Vzorové riešenie pozri na obrázku 8.



Obr. 8: Spoločná hustota dvojrozmerného normálneho rozdelenia (vľavo), hustota zmesi dvoch dvojrozmerných normálnych rozdelení (uprostred) a dvojrozmerný jadrový odhad superponovaný hustotou zmesi dvoch dvojrozmerných normálnych rozdelení (vpravo) – simulačná štúdia

Príklad 69 (zmes dvoch dvojrozmerných normálnych rozdelení) Nech $(X_1, Y_1)^T$ pochádza z rozdelenia $N_2(\boldsymbol{\mu}_1, \Sigma_1)$, kde X_1 je priemerná dĺžka dolnej končatiny `lowex.L` v milimetroch a Y_1 dĺžka trupu `tru.L` v milimetroch (u mužov). Nech $(X_2, Y_2)^T$ pochádza z rozdelenia $N_2(\boldsymbol{\mu}_2, \Sigma_2)$, kde X_2 je priemerná dĺžka dolnej končatiny `lowex.L` v milimetroch a Y_2 dĺžka trupu `tru.L` v milimetroch (u žien). Predpokladajme, že X je priemerná dĺžka dolnej končatiny a Y dĺžka trupu pochádzajú (1) zo zmesi $pN_2(\boldsymbol{\mu}_1, \Sigma_1) + (1-p)N_2(\boldsymbol{\mu}_2, \Sigma_2)$, kde $\boldsymbol{\theta} = (\mu_{11}, \mu_{12}, \sigma_{11}^2, \sigma_{12}^2, \rho_1, \mu_{21}, \mu_{22}, \sigma_{21}^2, \sigma_{22}^2, \rho_2)^T$ a (2) z dvojrozmerného rozdelenia $N_2(\boldsymbol{\mu}, \Sigma)$, kde parametre predstavujú spoločný vektor stredných hodnôt a spoločnú kovariančnú maticu. t.j. $\boldsymbol{\theta} = (\mu_1, \mu_2, \sigma_1^2, \sigma_2^2, \rho)^T$. Pre (1) vypočítajte dvojrozmerný jadrový odhad hustoty $(X, Y)^T$ pomocou funkcie `kde2d()`.

(a) Nakreslite teoretickú hustotu (2) pomocou funkcie `image()` a superponujte ju s kontúrovým grafom teoretickej hustoty (2) pomocou funkcie `contour()`.

(b) Nakreslite teoretickú hustotu (1) pomocou funkcie `image()` a superponujte ju s kontúrovým grafom teoretickej hustoty (1) pomocou funkcie `contour()`.

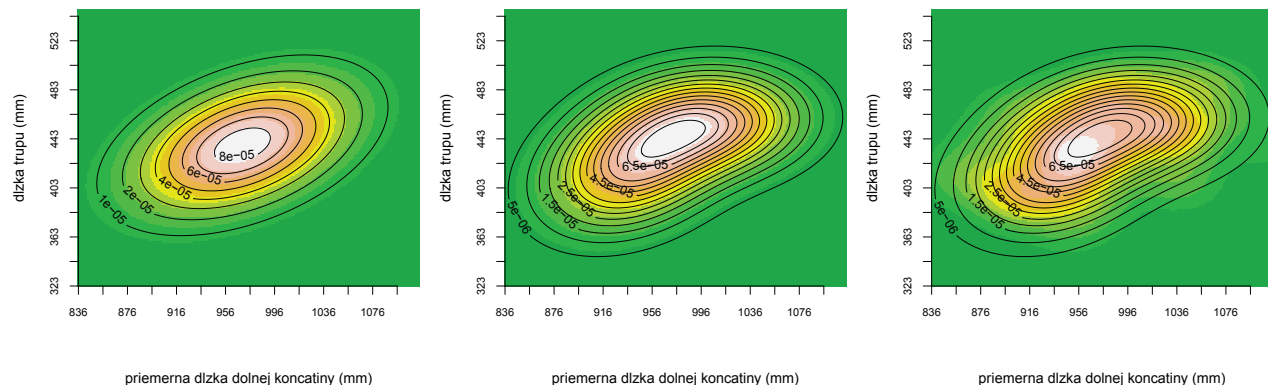
(c) Nakreslite dvojrozmerný jadrový odhad hustoty realizácií (1) pomocou funkcie `image()` a superponujte ho kontúrovým grafom teoretickej hustoty (1) pomocou funkcie `contour()`.

Hustotu rozsekajte na 12 intervalov, kde hodnoty v týchto intervaloch budú zodpovedať farbám `terrain.colors(12)`.

(1) $\hat{\theta} = (\hat{\mu}_{11}, \hat{\mu}_{12}, \hat{\sigma}_{11}^2, \hat{\sigma}_{12}^2, \hat{\rho}_1, \hat{\mu}_{21}, \hat{\mu}_{22}, \hat{\sigma}_{21}^2, \hat{\sigma}_{22}^2, \hat{\rho}_2)^T$ a $p = n_1/(n_1 + n_2)$; parametre sú odhadnuté z dát.

(2) $\hat{\theta} = (\hat{\mu}_1, \hat{\mu}_2, \hat{\sigma}_1^2, \hat{\sigma}_2^2, \hat{\rho})^T$; parametre sú odhadnuté zo spoločného výberu.

Vzorové riešenie pozri na obrázku 9 (dáta `two-samples-correlations-trunk.txt`).

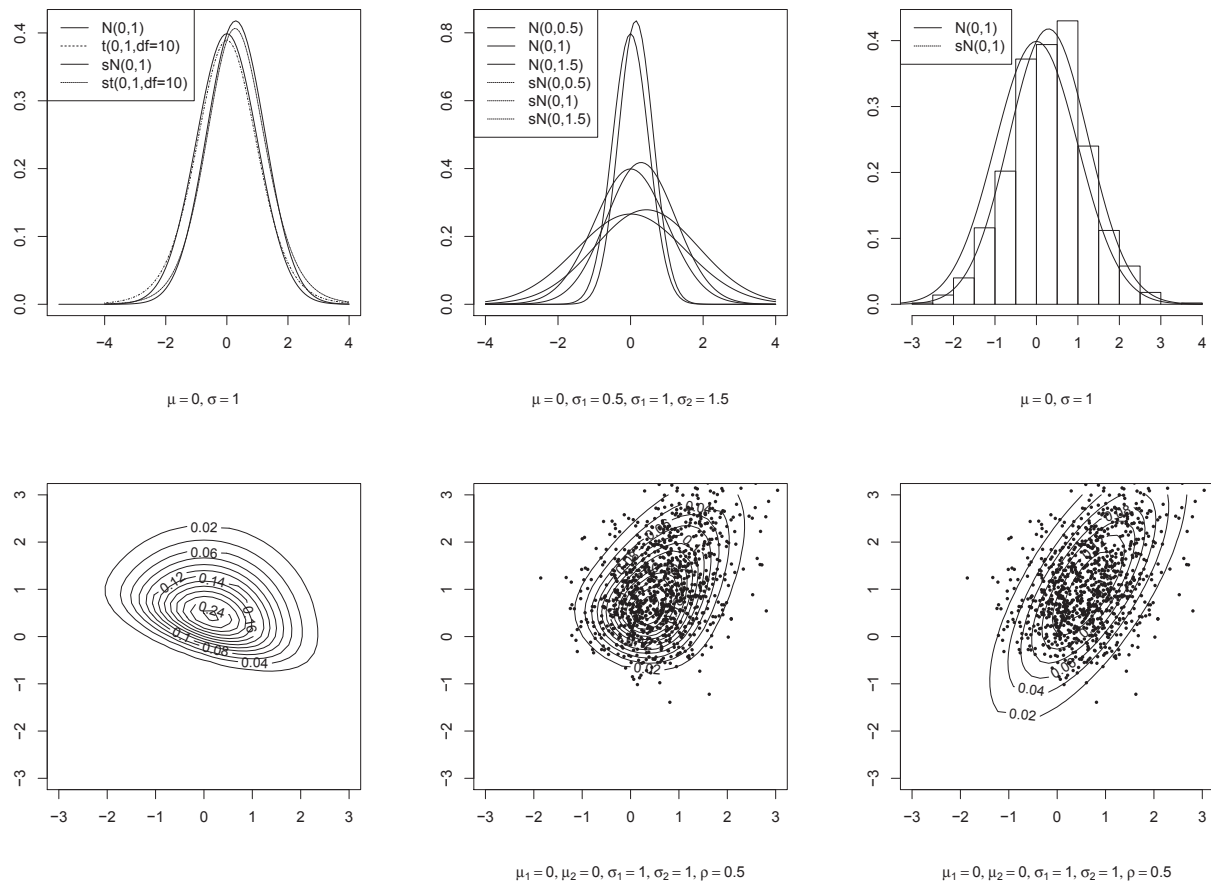


Obr. 9: Spoločná hustota dvojrozmerného normálneho rozdelenia (vľavo), hustota zmesi dvoch dvojrozmerných normálnych rozdelení (uprostred) a dvojrozmerný jadrový odhad superponovaný hustotou zmesi dvoch dvojrozmerných normálnych rozdelení (vpravo) – reálne dáta

Odlišnosti od teoretického rozdelenia. Odlišnosti empirického rozdelenia (rozdelenia realizácií) od teoretického (napr. normálneho) rozdelenia, môžeme charakterizovať napr. ako pravostranne alebo ľavostranne zošikmené rozdelenie (obrázok 10, prvý riadok vľavo a vpravo), ploché alebo špicaté rozdelenie (obrázok 10, druhý riadok uprostred). Pri viacrozmerných rozdeleniach je situácia komplikovanejšia. Pri dvojrozmernom normálnom rozdelení može byť napr. zošikmená jedna alebo obe premenné (príklad zošikmenia oboch premenných zlava pozri na obrázku 10, dolný riadok).

Binomické rozdelenie. Majme nezávislé identické Bernoulliho pokusy s odpovedami $X_i = 1$ (udalosť nastala) alebo $X_i = 0$ (udalosť nenastala) pre $i = 1, 2, \dots, N$, kde N je počet nezávislých pokusov. Pravdepodobnosť nastatia udalosti pre každý pokus $\Pr(X_i = 1) = p$, pravdepodobnosť neúspechu pre každý pokus $\Pr(X_i = 0) = 1 - p$. Počet nastatí udalosti $X = \sum_{i=1}^N X_i$, pravdepodobnosť nastatia udalosti je p . Náhodná premenná X má binomické rozdelenie s parametrami N a p , t.j. $X \sim Bin(N, p)$, kde $\theta = p$. Pravdepodobnosť, že X je rovné nejakému číslu $x = n$ (x je realizácia X) zapisujeme ako $\Pr(X = x) = \binom{N}{x} p^x (1-p)^{N-x}$, pre $x = 0, 1, 2, \dots, N$ (Christensen, 1997). Stredná hodnota náhodnej premennej X je definovaná ako $E[X] = \sum_{x=0}^N x \binom{N}{x} p^x (1-p)^{N-x} = Np$ a rozptyl $Var[X] = \sum_{x=0}^N (x - Np)^2 \binom{N}{x} p^x (1-p)^{N-x} = Np(1-p)$.

Strieška v označení \hat{p} sa všeobecne používa na označenie odhadov parametrov rozdelení pravdepodobnosti. Tieto odhady sa počítajú z dát. Pre spojité náhodné premenné označujeme rozsah



Obr. 10: Hustoty normálneho rozdelenia a zošikmeného normálneho rozdelenia pri rôznych parametoch (prvý riadok); hustoty dvojrozmerného zošikmeného normálneho rozdelenia (druhý riadok vľavo a uprostred) a dvojrozmerného normálneho rozdelenia (druhý riadok vpravo) pri rôznych parametoch

náhodného výberu n , ale pri binomickom (a iných diskrétnych) rozdeleniach máme početnosti dve – počet úspechov a rozsah náhodného výberu – preto pre počet úspechov rezervujeme ozn. n a rozsah náhodného výberu N . Počet úspechov ozn. aj $x = n$, ak ide o realizáciu náhodnej premennej X .

Ekvivalentne môžeme rozdelenie náhodnej premennej pochádzajúcej z binomického rozdelenia zapísť ako $\mathbf{X} \sim Bin(N, p, 1-p)$, kde $\mathbf{X} = (X_1, X_2)^T$, $\boldsymbol{\theta} = (p, 1-p)^T$, X_1 je počet úspechov, $X_2 = N - X_1$ je počet neúspechov, $X_1 \sim Bin(N, p)$, $X_2 \sim Bin(N, 1-p)$. Potom $E[X_1] = Np$, $E[X_2] = N(1-p)$, $Var[X_2] = Np(1-p) = Var[X_1]$ nezávisle na p , $Cov[X_1, X_2] = -Np(1-p)$ a $Cor[X_1, X_2] = -1$. (Vysvetlenia označení pozri v poznámke pod čiarou²²). Realizácie náhodných premenných X_1 a X_2 budeme označovať ako n_1 a n_2 . Tento typ označenia je vhodnejší z dôvodu zovšeobecnenia binomického rozdelenia na viacrozmerné rozdelenia, kde $\mathbf{n} = (n_1, n_2)^T$ a $\mathbf{p} = (p_1, p_2)^T$, $p_1 = p$ a $p_2 = 1 - p$ (pre porovnanie pozri ozn. v práci Verzani, 2005). Potom $\boldsymbol{\theta} = \mathbf{p}$.

Príklad 70 (binomické rozdelenie, binomický experiment) Experiment pozostávajúci z fixného počtu Bernouliho experimentov (ozn. N) sa nazýva binomický experiment. Pravdepodobnosť úspechu ozn. p , pravdepodobnosť neúspechu $q = 1 - p$. Náhodná premenná X je počet pozorovaných úspechov počas experimentu. Pravdepodobnosť $X = x$ za podmienky, že X pochádza z binomického rozdelenia $Bin(N, p)$ píšeme ako $\Pr(X = x) = \binom{N}{x} p^x (1-p)^{N-x}$, $x = 0, 1, \dots, N$ (Ugarte a kol., 2008). Stredná

²² $E[X]$ je označenie pre strednú hodnotu náhodnej premennej X , $Var[X]$ pre rozptyl, $Cov[X, Y]$ pre kovarianciu dvoch premenných X a Y a $Cor[X, Y]$ pre korelačný koeficient.

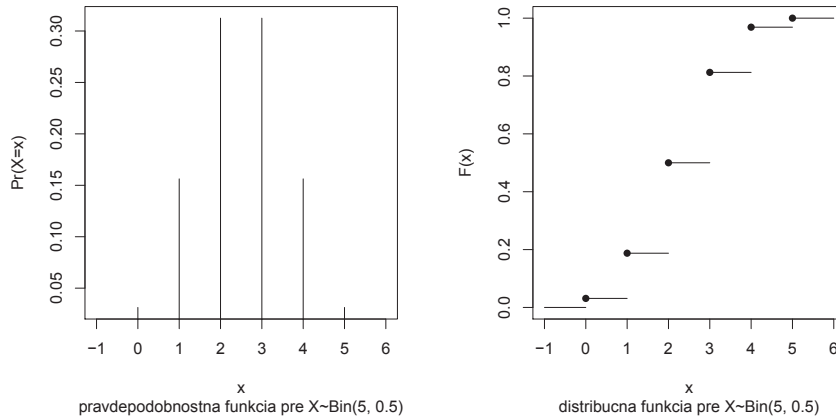
hodnota $E[X] = Np$ a rozptyl $Var[X] = Np(1-p)$. Naprogramujte a zobrazte v R pravdepodobnostnú funkciu a (kumulatívnu) distribučnú funkciu pre $Bin(5, 0.5)$.

Riešenie v R (pozri obrázok 11)

```

44 par(mfrow=c(1, 2), mar=c(6, 5, 1, 1), pty="s")
45 plot(0:5, dbinom(0:5, 5, 0.5), type="h", xlab="x", ylab="Pr(X=x)",
46 xlim=c(-1, 6))
47 title(sub="hustota pre X~Bin(5, 0.5)")
48 plot(0:5, pbinom(0:5, 5, 0.5), type="n", xlab="x", ylab="F(x)",
49 xlim=c(-1, 6), ylim=c(0, 1))
50 segments(-1, 0, 0, 0)
51 segments(0:5, pbinom(0:5, 5, .5), 1:6, pbinom(0:5, 5, .5))
52 lines(0:5, pbinom(0:5, 5, .5), type="p", pch=16)
53 segments(-1, 1, 9, 1, lty=2)
54 title(sub="distribucna funkcia pre X~Bin(5, 0.5)")

```



Obr. 11: Pravdepodobnosťná funkcia a distribučná funkcia $Bin(5, 0.5)$

Multinomické rozdelenie. Nech N je počet nezávislých identických pokusov a v každom z nich môže nastať $J \geq 2$ navzájom disjunktných udalostí s možnými odpovedami $X_{ij} = 1$ (udalosť nastala) alebo $X_{ij} = 0$ (udalosť nenastala), kde $i = 1, 2, \dots, N$ a $j = 1, 2, \dots, J$. Potom $X_j = \sum_{i=1}^N X_{ij}$. Pravdepodobnosť nastatia j -tej udalosti v i -tom pokuse $\Pr(X_{ij} = 1) = p_j$, $\sum_{j=1}^J p_j = 1$. Náhodná premenná $\mathbf{X} = (X_1, X_2, \dots, X_J)^T$ má (J -rozmerné) multinomické rozdelenie s parametrami N a \mathbf{p} , t.j. $\mathbf{X} \sim Mult_J(N, \mathbf{p})$, kde $\boldsymbol{\theta} = \mathbf{p}$ a $\mathbf{p} = (p_1, p_2, \dots, p_J)^T$. Pravdepodobnosť, že X_j je rovné nejakému číslu n_j zapisujeme ako (Casella a Berger, 2002)

$$\Pr(X_1 = x_1, X_2 = x_2, \dots, X_J = x_J) = \frac{N!}{x_1! x_2! \dots x_J!} p_1^{x_1} p_2^{x_2} \dots p_J^{x_J} = \frac{N!}{\prod_j x_j!} \prod_{j=1}^J p_j^{x_j},$$

kde $N = \sum_{j=1}^J X_j$, $X_j \geq 0$ a $x_j = n_j$ sú realizácie X_j . Potom $\mathbf{n} = (n_1, n_2, \dots, n_J)^T$. Pre marginálne rozdelenie píšeme $X_j \sim Bin(N, p_j)$, kde stredná hodnota $E[X_j] = Np_j$, rozptyl $Var[X_j] = Np_j(1-p_j)$, kovariancia $Cov[X_i, X_j] = -Np_i p_j$, korelačný koeficient $Cor[X_i, X_j] = (-p_i p_j) / \sqrt{p_i(1-p_i)p_j(1-p_j)}$. Stredná hodnota $E[\mathbf{X}] = N\mathbf{p}$ a kovariančná matica $Var[\mathbf{X}] = N(\mathbf{D}_\mathbf{p} - \mathbf{p}\mathbf{p}^T)$, kde $\mathbf{D}_\mathbf{p} = \text{diag}(\mathbf{p})$ a

$$(\mathbf{D}_\mathbf{p} - \mathbf{p}\mathbf{p}^T)_{ij} = \begin{cases} p_i(1-p_i) & \text{ak } i = j \\ -p_i p_j & \text{ak } i \neq j \end{cases}.$$

Disjunktnosť znamená, že v i -tom pokuse mohla udalosť nastať len raz, t.j. výsledkom takého pokusu môže byť vektor napr. $(1, 0, \dots, 0)^T$ alebo $(0, 1, \dots, 0)^T$, kde okrem jednej jednotky na j -tom mieste máme vždy $J - 1$ nul na ostatných miestach. Kedže sumácia \mathbf{p} nám dáva jednotku, $Var[\mathbf{X}]$ je singulárna matica. Matica $\text{diag}(\mathbf{p})$ má diagonálu v podobe \mathbf{p} a mimodiagonálne prvky rovné 0. Ak $J = 2$, potom $Bin(N, p) \approx Mult_2(N, \mathbf{p})$, t.j. multinomické rozdelenie je zovšeobecnením binomickeho rozdelenia.

Príklad 71 (multinomické rozdelenie; príklady) Príklady premenných, o ktorých predpokladáme, že majú multinomické rozdelenie:

- (1) farba dúhovky – hodnotená podľa škály R. Martina (Martin, 1914/1928) a kategorizovaná do štyroch kategórií: hnedá, hnedozelená, melírovaná a modrá (dáta: *multinom-iris-color.txt*);
- (2) zakončenie troch hlavných dlaňových línií – kategorizované do troch kategórií: vysoké, stredné a nízke (dáta: *multinom-palmar-lines.txt*);
- (3) prilahllosť ušného laloka – podľa prilahllosti k hlave kategorizovaná do troch kategórií: prilahlý, stredne prilahlý, odstávajúci (dáta: *multinom-earlobe.txt*);
- (4) krvná skupina – kategorizovaná v AB0 systéme do štyroch kategórií: skupina 0, A, B a AB (dáta: *multinom-blood-groups.txt*).

Príklad 72 (multinomické rozdelenie) Majme náhodné premenné (1) socioekonomickej status (vysoký – H, nízky – Lo), (2) politická príslušnosť (demokrat – D, republikán – R) a (3) politická filozofia (liberál – Li, konzervatív – C). Označme ich interakcie nasledovne X_1 (H-D-Li), X_2 (H-D-C), X_3 (H-R-Li), X_4 (H-R-C), X_5 (Lo-D-Li), X_6 (Lo-D-C), X_7 (Lo-R-Li) a X_8 (Lo-R-C). Predpokladajme, že máme náhodný výber s rozsahom $N = 50$. Pravdepodobnosti p_j pozri v tabuľke 3. Vypočítajte $Var[X_1]$, $Var[X_3]$, $Cov[X_1, X_3]$, $Cor[X_1, X_3]$ a očakávané početnosti Np_j , $j = 1, 2, \dots, 8$.

Tabuľka 3: Kontingenčná tabuľka 2×3 pravdepodobností p_j pre dva socioekonomicke statusy, dve politické príslušnosti a dve politické filozofie (multinomické rozdelenie)

	D-Li	D-C	R-Li	R-C	spolu
H	0.12	0.12	0.04	0.12	0.4
Lo	0.18	0.18	0.06	0.18	0.6
spolu	0.30	0.30	0.10	0.30	1.0

Riešenie

$X = (X_1, X_2, \dots, X_8) \sim Mult_J(N, \mathbf{p})$, kde $N = 50$, $\mathbf{p} = (p_1, p_2, \dots, p_8)^T$, vieme, že $X_j \sim Bin(N, p_j)$, p_j sú v tabuľke 3 a $j = 1, 2, \dots, 8$. Potom

$$Var[X_1] = 50 \times 0.12 \times (1 - 0.12) = 5.28,$$

$$Var[X_3] = 50 \times 0.04 \times (1 - 0.04) = 1.92.$$

Vybraná kovariancia a korelácia (medzi počtami príslušných skupín) je rovná

$$Cov[X_1, X_3] = -50 \times 0.12 \times 0.04 = -0.24, Cor[X_1, X_3] = -0.24 / \sqrt{5.28 \times 1.92} = -0.075.$$

Očakávané početnosti pre každú bunku tabuľky sú (všeobecne nemusia byť) celé čísla, pozri tabuľku 4.

Súčinové multinomické rozdelenie. Nech N_k je počet nezávislých identických pokusov a v každom z nich môže nastať $J \geq 2$ navzájom disjunktných udalostí s možnými odpovedami $X_{kji} = 1$ (udalosť nastala) alebo $X_{kji} = 0$ (udalosť nenastala), kde $i = 1, 2, \dots, N_k$, $k = 1, 2, \dots, K$

Tabuľka 4: Kontingenčná tabuľka 2×3 očakávaných početností N_{pj} pre dva socioekonomicke statusy, dve politické príslušnosti a dve politické filozofie (multinomické rozdelenie)

	D-Li	D-C	R-Li	R-C
H	6	6	2	6
Lo	9	9	3	9

a $j = 1, 2, \dots, J$. Nech $X_{kj} = \sum_{i=1}^{N_k} X_{kji}$ a $\sum_{k=1}^K N_k = N$. Pravdepodobnosť nastatia (kj) -tej udalosti v i -tom pokuse $\Pr(X_{kji} = 1) = p_{kj}$, $\sum_{k=1}^K \sum_{j=1}^J p_{kj} = 1$. Náhodná premenná $\mathbf{X}_k = (X_{k1}, X_{k2}, \dots, X_{kJ})^T$ má (J -rozmerné) multinomické rozdelenie s parametrami N_k a \mathbf{p}_k , t.j. $Mult_J(N_k, \mathbf{p}_k)$, kde $\boldsymbol{\theta}_k = \mathbf{p}_k$ a $\mathbf{p}_k = (p_{k1}, p_{k2}, \dots, p_{kJ})^T$. Realizácie náhodnej premennej \mathbf{X}_k označujeme ako \mathbf{x}_k . Potom $x_{kj} = n_{kj}$ a naviac $\mathbf{n}_k = (n_{k1}, n_{k2}, \dots, n_{kJ})^T$. Nech \mathbf{X}_k sú nezávislé, potom platí (Christensen, 1997)

$$\Pr(X_{kj} = x_{kj}, \forall k, j; j = 1, 2, \dots, J; k = 1, 2, \dots, K) = \prod_{k=1}^K \Pr(X_{kj} = x_{kj}, \forall j; j = 1, 2, \dots, J)$$

a $\sum_{j=1}^J X_{kj} = N_k$ pre $\forall k$. Ďalej platí

$$\Pr(X_{kj} = x_{kj}, \forall j) = \left(N_k! / \prod_{j=1}^J x_{kj}! \right) \prod_{j=1}^J p_{kj}^{x_{kj}}.$$

Z toho vyplýva, že

$$\Pr(X_{kj} = x_{kj}, \forall k, j; j = 1, 2, \dots, J; k = 1, 2, \dots, K) = \prod_{k=1}^K \left(\left(N_k! / \prod_{j=1}^J x_{kj}! \right) \prod_{j=1}^J p_{kj}^{x_{kj}} \right).$$

Očakávané hodnoty $N_k p_{kj}$, rozptyly $Var[X_{kj}]$ a kovariancie $Cov[X_{kj}]$ a korelácie $Cor[X_{kj}]$ vnútri nejakého \mathbf{X}_k vieme vypočítať. Kovariancie medzi rôznymi \mathbf{X}_k , napr. $Cov[\mathbf{X}_1, \mathbf{X}_2]$, sú nuly kvôli nezávislosti jednotlivých \mathbf{X}_k . Potom $\mathbf{X} = (\mathbf{X}_1, \mathbf{X}_2, \dots, \mathbf{X}_K)^T$ má súčinové multinomické rozdelenie s parametrami $\boldsymbol{\theta}_k = \mathbf{p}_k, k = 1, 2, \dots, K$.

Príklad 73 (súčinové multinomické rozdelenie; príklady) Príklady premenných, o ktorých predpokladáme, že majú súčinové multinomické rozdelenie:

- (1) farba dúhovky – hodnotená podľa škály R. Martina (Martin, 1914/1928) a kategorizovaná do štyroch kategórií (hnedá, hnedozelená, melírovaná a modrá) zisťovaná súčasne s výskytom (prítomnosť, neprítomnosť) radiálnych útvarov v štruktúre dúhovky (dáta: *multinom-iris-color.txt*);
- (2) zakončenie hlavných dlaňových línií – kategorizované do troch kategórií (vysoké, stredné a nízke) zisťované súčasne s odtieňmi farby vlasov (svetlá, stredná a tmavá) na základe štandardnej Fischer-Sallerovej stupnice odtieňov (dáta: *multinom-palmar-lines.txt*);
- (3) príľahlosť ušného laloka – podľa príľahlosti k hlave kategorizovaná do troch kategórií (príľahlý, stredne príľahlý, odstávajúci) zisťovaná u mužov a u žien (dáta: *multinom-earlobe.txt*);
- (4) krvná skupina – kategorizovaná v AB0 systéme do štyroch kategórií (0, A, B a AB) zisťovaná v Košiciach a v Prahe (dáta: *multinom-blood-groups.txt*).

Príklad 74 (súčinové multinomické rozdelenie) Majme dáta z príkladu 72 a náhodný výber s rozsahom $N_1 = 30$ zo skupiny H , ďalší náhodný výber s rozsahom $N_2 = 20$ zo skupiny Lo . Označme interakcie premenných nasledovne $X_{11} = X_{1|1}$ (H -D-Li), $X_{12} = X_{2|1}$ (H -D-C), $X_{13} = X_{3|1}$ (H -R-Li), $X_{14} = X_{4|1}$ (H -R-C), $X_{21} = X_{1|2}$ (Lo -D-Li), $X_{22} = X_{2|2}$ (Lo -D-C), $X_{23} = X_{3|2}$ (Lo -R-Li) a $X_{24} = X_{4|2}$ (Lo -R-C), kde $\mathbf{X}_1 = (X_{11}, X_{12}, X_{13}, X_{14})^T$ a $\mathbf{X}_2 = (X_{21}, X_{22}, X_{23}, X_{24})^T$. Potom $\mathbf{X} = (\mathbf{X}_1, \mathbf{X}_2)$ má súčinové multinomické rozdelenie s $K = 2$, $N_1 = 30$, $J_1 = 4$, $N_2 = 20$, $J_2 = 4$. Zápis s $X_{j|k}$, kde $j = 1, 2, 3, 4$ a $k = 1, 2$ zvýrazňuje fakt, že rozdelenie je podmienené socioekonomickej statusom (vysoký – H , nízky – Lo), t.j. rozdelenie v stĺpcach tabuľky je podmienené jej riadkom. Realizácie $X_{j|k}$ označujeme ako $n_{j|k} = n_{kj}$, pravdepodobnosti ekvivalentné $X_{j|k} = X_{kj}$ ako $p_{j|k} = p_{kj}$. Vypočítajte podmienené pravdepodobnosti $p_{j|k}$, očakávané početnosti $N_k p_{kj}$, $Var[X_{13}]$, $Cov[X_{21}, X_{23}]$ a $Cor[X_{11}, X_{23}]$.

Riešenie

Pravdepodobnosti štyroch kategórií asociovaných s H statusom sú podmienené pravdepodobnosti dané H statusom. Napr. $Pr(X_{3|1}) = 0.04/0.4 = 0.1$, $Pr(X_{1|1}) = 0.12/0.4 = 0.3$, $Pr(X_{3|2}) = 0.06/0.6 = 0.1$. Musíme ale tabuľku 3 prepísat na súčinovo-multinomický model, teda podmienené pravdepodobnosti $p_{j|i}$ budú dané socioekonomickej statusom i (pozri tabuľku 5).

Tabuľka 5: Kontingenčná tabuľka 2×3 pravdepodobností $p_{j|i}$ pre dva socioekonomickej statusy, dve politické príslušnosti a dve politické filozofie (súčinové multinomické rozdelenie)

	D-Li	D-C	R-Li	R-C	spolu
H	0.3	0.3	0.1	0.3	1.0
Lo	0.3	0.3	0.1	0.3	1.0

Pre $N_1 = 30$ a $N_2 = 20$ pozri očakávané početnosti v tabuľke 6.

Tabuľka 6: Kontingenčná tabuľka 2×3 očakávaných početností $N_i p_{j|i}$ pre dva socioekonomickej statusy, dve politické príslušnosti a dve politické filozofie (súčinové multinomické rozdelenie)

	D-Li	D-C	R-Li	R-C	spolu
H	9	9	3	9	30
Lo	6	6	2	6	20

$$Var(X_{3|1}) = 30 \times 0.1 \times (1 - 0.1) = 2.7.$$

Vybrané kovariancie (medzi počtami príslušných skupín) sú rovné

$$Cov[X_{1|2}, X_{3|2}] = -20 \times 0.3 \times 0.1 = -0.6,$$

$$Cov[X_{1|1}, X_{3|2}] = 0, \text{ lebo } \mathbf{X}_1 \text{ a } \mathbf{X}_2 \text{ sú nezávislé.}$$

Príklad 75 (farba očí a vlasov) Majme premenné farba vlasov (*blond BlH*, *hnedá BrH*, *ryšavá RH*) a farba očí (*modrá BlE*, *hnedá BrE*, *zelená GE*). Ich interakcie sú usporiadane v tabuľke ako X_1 ($BlH\text{-}BlE$), X_2 ($BlH\text{-}BrE$), X_3 ($BlH\text{-}GE$), X_4 ($BrH\text{-}BlE$), X_5 ($BrH\text{-}BrE$), X_6 ($BrH\text{-}GE$), X_7 ($RH\text{-}BlE$), X_8 ($RH\text{-}BrE$), X_9 ($RH\text{-}GE$). Ním zodpovedajúce pravdepodobnosti p_j , $j = 1, 2, \dots, 9$, pozri v tabuľke 7. $\mathbf{X} = (X_1, X_2, \dots, X_9)^T \sim Mult_9(N, \mathbf{p})$. Transformujte multinomický model na súčinový multinomický model nasledovne – vypočítajte (a) riadkové marginálne pravdepodobnosti $p_{1\cdot} = \sum_{j=1}^3 p_j$, $p_{2\cdot} = \sum_{j=4}^6 p_j$, $p_{3\cdot} = \sum_{j=7}^9 p_j$, (b) stĺpcové marginálne pravdepodobnosti $p_{\cdot 1} = p_1 + p_4 + p_7$, $p_{\cdot 2} = p_2 + p_5 + p_8$, $p_{\cdot 3} = p_3 + p_6 + p_9$, (c) podmienené pravdepodobnosti $p_{j|k} = p_{kj}$; (d) podmienené pravdepodobnosti $p_{k|j} = p_{jk}$; (d) akému číslu sú rovné sumy $\sum_{j=1}^3 p_{j|k}$ pre každé k a $\sum_{k=1}^3 p_{k|j}$ pre každé j ?

Tabuľka 7: Kontingenčná tabuľka 3×3 pravdepodobností p_j pre tri farby vlasov a tri farby očí (multinomické rozdelenie)

farba vlasov/farba očí	modrá (BlE)	hnedá (BrE)	zelená (GE)
blond (BlH)	0.12	0.15	0.03
hnedá (BrH)	0.22	0.34	0.04
ryšavá (RH)	0.06	0.01	0.03

Riešenie (čiastkové)

Marginálne pravdepodobnosti sú

$$\Pr(BlH) = 0.3, \Pr(BrH) = 0.6, \Pr(RH) = 0.1,$$

$$\Pr(BlE) = 0.4, \Pr(BrE) = 0.5, \Pr(GE) = 0.1.$$

Podmienené pravdepodobnosti $p_{k|j}$ sú

$$\Pr(BlH|BlE) = \Pr(BlH \cap BlE) / \Pr(BlE) = 0.12/0.4 = 0.3,$$

$$\Pr(BlH|BlE) = \Pr(BlH),$$

$$\Pr(BrH|BlE) = 0.22/0.4 = 0.55,$$

$$\Pr(BrH) = 0.6.$$

Ak vieme, že niekto má modré oči, potom bude menej pravdepodobné, že má hnedé vlasy v porovnaní s tým, keď nevieme, akej farby má oči. Teda

$$\Pr(BlE|BlH) = 0.12/0.3 = 0.4,$$

$$\Pr(BlE|BlH) = \Pr(BlE),$$

$$\Pr(BrE|BlH) = \Pr(BrE),$$

$$\Pr(GE|BlH) = \Pr(GE).$$

Informácia, že má niekto blond vlasy, nám nedáva d'alsiu informáciu o farbe jeho očí.

Binomické, multinomické a súčinové multinomické rozdelenie sú vhodné v prípadoch, keď máme počet pokusov N nie príliš veľké a pravdepodobnosti výskytu udalostí p nie príliš malé. V opačnom prípade je vhodné Poissonovo rozdelenie (Agresti, 2002).

Poissonovo rozdelenie. Poissonovo rozdelenie je limitným pripadom Binomického rozdelenie $Bin(N, p)$, kde $N \rightarrow \infty, p \rightarrow 0$, teda $Np \rightarrow \lambda$. Ak je X náhodná premenná s Poissonovým rozdelením a parametrom $\theta = \lambda$, $X \sim Poiss(\lambda)$, potom (Casella a Berger, 2002)

$$\Pr(X = x) = \frac{\lambda^x e^{-\lambda}}{x!}, x = 0, 1, \dots$$

Realizáciu náhodnej premennej X označujeme ako $x = n$. $E[X] = \lambda$ a $Var[X] = \lambda$. Tomu korešponduje

$$\binom{N}{x} p^x (1-p)^{N-x} = \left[(Np)^x (1-p)^N / x! \right] (1-p)^{-x} \frac{N!}{(N-x)! N^x},$$

$$\text{ak } N \rightarrow \infty, p \rightarrow 0 \text{ a } Np \rightarrow \lambda \Rightarrow (Np)^x \rightarrow \lambda^x, (1-p)^N \rightarrow e^{-\lambda}, (1-p)^{-x} \rightarrow 1, \frac{N!}{(N-x)! N^x} \rightarrow 1.$$

Znak „ \rightarrow “ čítame ako „konverguje“ (do nekonečna, k nule, k λ a pod.). V prípade, že za „ \rightarrow “ je znak nekonečna, napr. $N \rightarrow \infty$, potom čítame celý výraz ako „pre (dostatočne) veľké N “ alebo „ N konverguje do nekonečna“.

Príklad 76 (Poissonovo rozdelenie; počet havárií za týždeň) Ak každý z 50 miliónov ľudí šoféruje auto v Taliansku budúci týžden nezávisle, potom pravdepodobnosť smrti pri autonehode bude 0.000002, kde počet úmrtí má binomické rozdelenie $Bin(50\text{mil}, 0.000002)$ alebo limitne Poissonovo rozdelenie s parametrom $50\text{mil} \times 0.000002 = 100$.

Príklad 77 (Poissonovo rozdelenie; príklady) Priklady premenných, o ktorých predpokladáme, že majú Poissonove rozdelenie:

- (1) početnosť absencie palmárneho trirádia d (Okajima a Iwayanagi, 1986);
- (2) incidencia os japonicum (os zygomaticum bipartitum/tripartitum), variety lícnej kosti, kedy bežne celistvá kost je aj v dospelosti rozdelená švami na dve až tri časti, pozri Hauser, De Stefano a kol. (1989, s. 222) a Dodo (1974);
- (3) celková perioperačná mortalita, t.j. mortalita v súvislosti s výkonom chirurgických operačných zákrokov (Bainbridge a kol., 2012);
- (4) výskyt ďalšieho infarktu myokardu do 30 dní po operácii u pacientov, ktorí boli liečení na ochorenie koronárnych tepien chirurgickým zásahom pomocou by-passu, kde operácia prebehla klasickým spôsobom so zastavením srdca a umelou cirkuláciou (Cheng a kol., 2005);
- (5) výskyt ďalšieho infarktu myokardu do 30 dní po operácii u pacientov, ktorí boli liečení na ochorenie koronárnych tepien chirurgickým zásahom pomocou by-passu, kde operácia prebehla moderným postupom na tlčúcom srdci (off-pump coronary artery bypass; Cheng a kol. (2005);
- (6) výskyt bilaterálnej agenézy horných laterálnych rezákov 12 a 22 (Alt a kol., 2013).

Príklad 78 (Poissonovo rozdelenie; pruské armádne jednotky) Nech početnosti Pruských armádnych jednotiek, v ktorých nastalo n úmrtí zapríčinených kopnutím koňom za rok (von Bortkiewicz, 1898), má Poissonovo rozdelenie s parametrom λ , t.j. $X \sim \text{Poiss}(\lambda)$. Pravdepodobnosť, že niekto bude smrteľne zranený v danom dni je extrémne malá. Majme 10 vojenských jednotiek za 20-ročnú períodu s rozsahom $M = 200$ ($200 = 10 \times 20$), kde popri početnostiach úmrtí $n = 1, 2, 3, 4, 5+$, v danej jednotke a v danom roku, zaznamenávame aj početnosti vojenských jednotiek m_n pri danom n , kde $M = \sum m_n$ (pozri tabuľku 8). Vypočítajte očakávané početnosti, za predpokladu $X \sim \text{Poiss}(\lambda)$, kde $\lambda = \frac{\sum n m_n}{\sum m_n}$.

Tabuľka 8: Pozorované a očakávané početnosti m_n (zaokrúhlené na nula desatinných miest) Pruských armádnych jednotiek, v ktorých nastalo n úmrtí zapríčinených kopnutím koňom

n	0	1	2	3	4	5+
pozorované m_n	109	65	22	3	1	0
očakávané m_n	109	66	20	4	1	0

Príklad 79 (Poissonovo rozdelenie; tri typy havárií) Nech n_1 je počet ľudí, ktorí zahynú pri automobilovej nehode, n_2 je počet ľudí, ktorí zahynú pri havárii lietadla, n_3 je počet ľudí, ktorí zahynú pri havárii vlaku v Taliansku budúci týždeň. Potom Poissonov model pre (X_1, X_2, X_3) vytvára nezávislé poissonovské náhodné premenné s parametrami $(\lambda_1, \lambda_2, \lambda_3)$ a $X_1 + X_2 + X_3 \sim \text{Poiss}(\lambda_1 + \lambda_2 + \lambda_3)$.

Zovšeobecnením príkladu 79 dostaneme

$$X_1 + X_2 + \dots + X_J \sim \text{Poiss}(\lambda_1 + \lambda_2 + \dots + \lambda_J)$$

Poissonovo vs. multinomické rozdelenie. Dá sa ukázať, že

$$(X_1 + X_2 + \dots + X_J) | N \sim Mult_J(N, p_1, p_2, \dots, p_J),$$

kde $N = \sum_j X_j$ a $p_j = \lambda_j / \sum_j \lambda_j, j = 1, 2, \dots, J$. Ak $X_j, j = 1, 2, \dots, J$ sú nezávislé, $X_j \sim Poiss(\lambda_j)$, kde $E(X_j) = \lambda_j$, potom podmienená pravdepodobnosť, že všetky $X_j = x_j$ za podmienky $N = \sum_j X_j$ sa rovná

$$\begin{aligned} \Pr \left[(X_1 = x_1, X_2 = x_2, \dots, X_J = x_J) | \sum_j X_j = N \right] &= \frac{\Pr(X_1 = x_1, X_2 = x_2, \dots, X_J = x_J)}{\Pr(\sum_j X_j = N)} \\ &= \frac{\prod_j \lambda_j^{x_j} e^{-\lambda_j} / x_j!}{\lambda^N e^{-\lambda} / N!} = \frac{N! e^{-\lambda} \prod_j \lambda_j^{x_j}}{\prod_j \lambda^x e^{-\lambda} x_j!} \\ &= \frac{N!}{\prod_j x_j!} \prod_j \left(\frac{\lambda_j}{\lambda} \right)^{x_j}, \text{ kde } p_j = \frac{\lambda_j}{\lambda}. \end{aligned}$$

Toto podmienené rozdelenie sa často používa pri log-lineárnych modeloch. Ak máme početnosti X_j pochádzajúce z Poissonovho rozdelenia, potrebujeme ich celkovú sumu N („grand total“). Teda potrebujeme podmiené rozdelenie pri danom N , čo je v podstate multinomické rozdelenie.

Overdispersion a underdispersion. V praxi často variabilita presahuje variabilitu danú binomickým či Poissonovým modelom alebo je variabilita menšia ako variabilita daná binomickým či Poissonovým modelom. Prepokladáme, že každý človek má rovnakú pravdepodobnosť úmrtia pri doopravej nehode budúci týždeň. Realistickejšie však tieto pravdepodobnosti varírujú napr. podľa času stráveného šoférovaním, závisia od toho, či osoba má zapnuté pásy, závisia od geografickej polohy a pod.

V prípade *overdispersion*, teda v prípade, keď rozptyl presahuje strednú hodnotu, je realistickejšie nahradiť Poissonovo rozdelenie **negatívne binomickým rozdelením** (Agresti, 2002). Ak máme binomické (prip. multinomické) rozdelenie, tiež môže nastat prípad *overdispersion*, pretože skutočné rozdelenie je zmes rôznych binomických rozdelení s parametrami varíujúcimi kvôli nenameraným (mätúcim) premenným.

Negatívne binomické rozdelenie. Majme nezávislé identické *Bernoulliho* pokusy s odpovedami $X_i = 1$ (udalosť nastala) alebo $X_i = 0$ (udalosť nenastala) pre $i = 1, 2, \dots$. Pravdepodobnosť nastatia udalosti pre každý pokus $\Pr(X_i = 1) = p$, pravdepodobnosť neúspechu pre každý pokus $\Pr(X_i = 0) = 1 - p$. Nech X je počet úspechov pred k -tym neúspechom. Potom $\Pr(X = x) = \binom{x+k-1}{x} p^x (1-p)^k$ má negatívne binomické rozdelenie s $E[X] = k \frac{p}{1-p}$ a $Var[X] = k \frac{p}{(1-p)^2}$, označenie $X \sim Negbin(k, p)$. Poissonovo rozdelenie je limitným prípadom negatívne binomického rozdelenia, kde $k \rightarrow \infty$, $p \rightarrow 0$ a fixovaným $kp = \lambda$.

Príklad 80 (podiel chlapcov a dievčat v rodinách) Nech X predstavuje početnosť chlapcov medzi deťmi v rodinách. Tu môžeme predpokladať, že $X \sim Bin(N, p)$, t.j. rodina môže mať vychýlený pomer pohlaví detí v smere ku chlapcom alebo dievčatám. V realite teda môžeme mať príliš veľa rodín len s chlapcami alebo len s dievčatami a nemáme dostatok rodín s pomerom pohlaví blízkym 51 : 49 (pomer chlapcov ku dievčatám). Z toho nám vyplýva, že rozptyl početnosti chlapcov bude v skutočnosti väčší ako rozptyl predpokladaný binomickým modelom $Bin(N, p)$.

Overdispersion v binomickom modeli. Nech $X_i \sim Bin(N, p_i)$ a nech $X = X_I$ je náhodne zvolené

z X_i , kde náhodný index $I = i$ má pravdepodobnosť $1/m$. Budeme teda mať zmes binomických rozdelení s marginálnou pravdepodobnosťou

$$\Pr(X = x) = E[\Pr(X_I = x|I)] = \frac{1}{m} \sum_{i=1}^m \Pr(X_i = x) = \frac{1}{m} \sum_{i=1}^m \binom{N}{x} p_i^x (1 - p_i)^{N-x},$$

$$E[X] = E[E[X_I|I]] = \frac{1}{m} \sum_{i=1}^m E[X_i] = \frac{N}{m} \sum_{i=1}^m p_i = N\pi,$$

kde $\pi = \sum_{i=1}^m p_i/m$ a

$$\begin{aligned} \text{Var}[X] &= E[\text{Var}[X_I|I]] + \text{Var}[E[X_I|I]] = \frac{1}{m} \sum_{i=1}^m \text{Var}[X_i] + \frac{1}{m} \sum_{i=1}^m E^2[X_i] - \left(\sum_{i=1}^m E[X_i]/m \right)^2 \\ &= \frac{1}{m} \sum_{i=1}^m Np_i(1 - p_i) + \frac{1}{m} \sum_{i=1}^m (Np_i)^2 - (N\pi)^2 = N\pi(1 - \pi) + N(N - 1)\sigma_p^2, \end{aligned}$$

kde σ_p^2 je definovaná ako pri *underdispersion*. Z toho vyplýva, že pri náhodnej voľbe z rôznych individuálnych pravdepodobností p_i je rozptyl väčší ako rozptyl za platnosti binomického modelu.

angl

Príklad 81 (overdispersion v binomickom modeli) V klasickej štúdii pomeru pohlaví u ľudí z roku 1889 na základe záznamov z nemocní v Sasku (bližšie pozri Lindsey a Altham, 1998; Geissler, 1889) zaznamenal rozdelenie počtu chlapcov v rodinách. Medzi $M = 6115$ rodinami s $N = 12$ deťmi pozoroval početnosti chlapcov (pozri tabuľku 9). Vypočítajte m_n za predpokladu, že početnosti chlapcov X v rodinách majú binomické rozdelenie s parametrami $\pi = \frac{\sum_{n=0}^N nm_n}{NM} = 0.5192$ a $N = 12$, označte $X \sim \text{Bin}(N, \pi)$.

Tabuľka 9: Pozorované početnosti rodín m_n s n chlapcami													
n	0	1	2	3	4	5	6	7	8	9	10	11	12
pozorované m_n	3	24	104	286	670	1033	1343	1112	829	478	181	45	7

Riešenie

Tabuľka 10: Očakávané početnosti rodín m_n (zaokrúhlené na nula desatiných miest) s n chlapcami (binomické rozdelenie)

n	0	1	2	3	4	5	6	7	8	9	10	11	12
očakávané m_n	1	12	72	258	628	1085	1367	1266	854	410	133	26	2

Ked' porovnáme pozorované m_n (pozri tabuľku 9) a vypočítané (teoretické) m_n (pozri tabuľku 10) zistíme, že pozorované poukazujú na *overdispersion*, t.j. máme väčšie početnosti rodín s malým a anglickým množstvom chlapcov v porovnaní s teoretickými početnosťami.

Underdispersion v binomickom modeli. Nech X_1, X_2, \dots, X_N sú nezávislé binomické pokusy

angl

s pravdepodobnosťami p_1, p_2, \dots, p_N . Nech $X = \sum_{i=1}^N X_i$, potom $E[X] = \sum_{i=1}^N p_i = N\pi$, kde $\pi = \frac{1}{N} \sum_{i=1}^N p_i$, ale

$$\begin{aligned} Var[X] &= \sum_{i=1}^N Var[X_i] = \sum_{i=1}^N p_i(1-p_i) = \sum_{i=1}^N p_i - \sum_{i=1}^N p_i^2 \\ &= \sum_{i=1}^N p_i - \frac{\left(\sum_{i=1}^N p_i\right)^2}{N} - \left(\sum_{i=1}^N p_i^2 - \frac{\left(\sum_{i=1}^N p_i\right)^2}{N}\right) \\ &= N\pi - N\pi^2 - N\sigma_p^2 = N\pi(1-\pi) - N\sigma_p^2, \end{aligned}$$

kde $\sigma_p^2 = \frac{1}{N} \left(\sum_{i=1}^N p_i^2 - \frac{\left(\sum_{i=1}^N p_i\right)^2}{N} \right)$ je rozptyl medzi p_i . Z toho vyplýva, že pri rôznych individuálnych pravdepodobnostiach p_i je rozptyl menší ako rozptyl za platnosti binomického modelu.

Overdispersion v Poissonovom modeli. Predpokladajme, že náhodná premenná X má rozptyl $Var[X]$ podmienený strednou hodnotou $E[X] = \mu$, kde μ je náhodná premenná so strednou hodnotou $E[\mu]$ a rozptylom $Var[\mu] = \sigma_\mu^2$. Teda pre jednotlivé subjekty μ , charakterizujúca napr. nehodu, varíruje. Hoci počet nehôd na subjekt má rozdelenie $Poiss(\mu)$, marginálne rozdelenie bude charaterizované *overdispersion*, a teda

$$E[X_\mu] = E[E[X_\mu|\mu]] = E[\mu] \text{ a } Var[X_\mu] = E[Var[X_\mu|\mu]] + Var[E[X_\mu|\mu]] = E[\mu] + \sigma_\mu^2,$$

čo poukazuje na väčšiu variabilitu v porovnaní s Poissonovým modelom. Za predpokladu, že μ má **gama rozdelenie**, môžeme ľahko spočítať marginálne pravdepodobnosti, t.j. ak X_μ má Poissonovo rozdelenie so strednou hodnotou μ , μ má hustotu $f(\mu) = \frac{1}{\Gamma(\alpha)} \mu^{\alpha-1} \lambda^\alpha e^{-\lambda\mu}$. Náhodná premenná X predstavujúca zmes X_μ má strednú hodnotu $E[X] = E[\mu] = \frac{\alpha}{\lambda}$ a rozptyl $Var[X] = E[\mu] + Var[\mu] = \frac{\alpha}{\lambda} + \frac{\alpha}{\lambda^2}$. Marginálna pravdepodobnosť pre $x = 0, 1, \dots$, je potom rovná

$$\begin{aligned} \Pr(X = x) &= E[\Pr(X_\mu = x|\mu)] = E[e^{-\mu} \frac{\mu^x}{x!}] = \frac{\lambda^\alpha}{\Gamma(\alpha)x!} \int e^{-\mu} \mu^x \mu^{\alpha-1} e^{-\lambda\mu} d\mu \\ &= \frac{\lambda^\alpha \Gamma(x+\alpha)}{(\lambda+1)^{x+\alpha} \Gamma(\alpha)x!} = \binom{x+\alpha-1}{\alpha-1} \left(\frac{\lambda}{\lambda+1}\right)^\alpha \left(1 - \frac{\lambda}{\lambda+1}\right)^x, \end{aligned}$$

kde $(x+\alpha-1)! = \Gamma(x+\alpha)$. Ide teda o negatívne binomické rozdelenie, kde X je počet neúspechov (úrazov, zlyhaní) zaznamenaných po α úspechoch, pravdepodobnosť úspechu $\pi = \frac{\lambda}{\lambda+1}$ a pomer zlyhaní $\mu = \frac{1-\pi}{\pi} \alpha$.

angl

Príklad 82 (overdispersion v Poissonovom modeli) Majme početnosti robotníkov m_n s n úrazmi v továrni (pozri v tabuľku 11; Greenwood a Yule (1920)). Vypočítajte očakávané početnosti robotníkov za predpokladu, že početnosti úrazov na robotníka X majú Poissonove rozdelenie s parametrom $\lambda = \frac{\sum_n nm_n}{\sum_n m_n} = 0.47$, ozn. $X \sim Poiss(\lambda)$.

Tabuľka 11: Pozorované početnosti robotníkov m_n s n úrazmi v továrni

n	0	1	2	3	4	≥ 5
pozorované m_n	447	132	42	21	3	2

Riešenie

Ked' porovnáme pozorované m_n (pozri tabuľku 11) a vypočítané (teoretické, očakávané) m_n (pozri tabuľku 12) zistíme, že pozorované poukazujú na *overdispersion*, t.j. máme viac robotníkov bez úrazu ako aj viac robotníkov s väčším množstvom úrazov v porovnaní s teoretickými početnosťami.

Tabuľka 12: Očakávané početnosti robotníkov m_n (zaokrúhlené na nula desatinných miest) s n úrazmi v továrni (Poissonovo rozdelenie)

n	0	1	2	3	≥ 4
očakávané m_n	406	189	44	7	1

2.1 *Simulačný experiment ako nástroj štúdia teoretických vlastností modelov

Monte Carlo (MC) experiment. Pojem MC metóda je známy od 40. rokov dvadsiateho storočia a zaviedli ho fyzici pracujúci na projekte o jadrových zbraniach v Los Alamos National Laboratory, menovite Stanislav Ulam, Enrico Fermi, John von Neuman a Nicholas Metropolis. MC je odvodenej od kasína v Monaku, kde Ulamov strýko hrával hazardné hry. Použitie tzv. **náhodnosti a opakovateľnosti MC procesu** je analogické aktivitám v kasíne. Prvýkrát metódu použil Enrico Fermi v roku 1930 na výpočet vlastností novoobjaveného neutrónu. MC experiment bol použitý tiež v 50. rokoch dvadsiateho storočia počas vývoja vodíkovej bomby. U.S. Air Force bola v tom čase hlavnou organizáciou zodpovednou za financovanie a rozšírenie informácie o MC metódach, ktoré si začali hľadať cestu k mnohým ďalším aplikáciám, najprv vo fyzike, neskôr v chémii a nakoniec aj v matematike a štatistikе. V štatistike sa MC metódy používajú na študovanie asymptotických vlastností odhadov a testovacích štatistik (príp. štatistických modelov) a zisťovanie ich správania sa za kontrolovaných podmienok (pozri napr. Rizzo, 2007; Gentle, 2009). Jediný predpoklad **dobrej simulácie pseudonáhodných čísel** používaný v MC metódach je **dostatočná náhodnosť v širšom slova zmysle** (Suess a Trumbo, 2010).

Simulačný experiment (mnohonásobne opakované náhodné výbery) musí spĺňať nasledovné tri kritériá (Robert a Casella, 2010)

1. **relevantnosť** – vygenerované (simulované) dátá musia byť generované na základe relevantných pravidiel, napr. kombinácia minulých skúseností a súčasných dát, *hypotetického pravdepodobnostného alebo štatistického modelu*, ktorý chceme študovať a pod.;
2. **stabilita** – *centrálna limitná veta* (CLV; použiteľná aj pre n menšie ako 100) a *dva zákony veľkých čísel* (použiteľné pre n väčšie ako 100 alebo 1000) garantujú, že ak je plán simulačnej štúdie správny a simulácia má dostatočne veľa opakovaní, dosteneme stabilný výsledok namiesto náhodného šumu;
3. **diagnostika** – pomocou rôznych numerických a grafických metód môžeme rozlíšiť signál od šumu, napr. porovnanie numerického a analytického riešenia, porovnanie viacerých podobných modelov, použitie dostatočného množstva opakovaní a pod.

Veta 1 (CLV) Nech X_i , $i = 1, 2, \dots, n$, sú iid náhodné premenné s rovnakou strednou hodnotou $E[X_i] = \mu \in \mathbb{R}$ a konečným rozptylom $Var[X_i] = \sigma^2 < \infty$. Potom $\frac{1}{\sqrt{n}}(\sum_{i=1}^n X_i - n\mu)$ má limitne (pre dostatočne veľké n) štandardizované normálne rozdelenie (t.j. konverguje v distribúcii k štandardizovanému normálnemu rozdeleniu $N(0, 1)$; Wasserman (2006)).

Veta 2 (Slabý zákon veľkých čísel) Nech X_i , $i = 1, 2, \dots, n$, sú iid náhodné premenné s rovnakou strednou hodnotou $E[X_i] = \mu \in \mathbb{R}$ a konečným rozptylom $Var[X_i] = \sigma^2 < \infty$. Nech $\bar{X}_n = \frac{1}{n} \sum_{i=1}^n X_i$. Potom pre každé $\epsilon > 0$ platí $\lim_{n \rightarrow \infty} \Pr(|\bar{X}_n - \mu| < \epsilon) = 1$, t.j. pre dostatočne veľké n platí, že \bar{X}_n konverguje v pravdepodobnosti k μ (Lehmann, 1999).

Veta 3 (Silný zákon veľkých čísel) Nech $X_i, i = 1, 2, \dots, n$, sú iid náhodné premenné s rovnakou strednou hodnotou $E[X_i] = \mu \in \mathbb{R}$ a konečným rozptylom $Var[X_i] = \sigma^2 < \infty$. Nech $\bar{X}_n = \frac{1}{n} \sum_{i=1}^n X_i$. Potom pre každé $\epsilon > 0$ platí $\Pr(\lim_{n \rightarrow \infty} |\bar{X}_n - \mu| < \epsilon) = 1$, t.j. pre dostatočne veľké n platí, že \bar{X}_n konverguje skoro iste k μ (Lehmann, 1999).

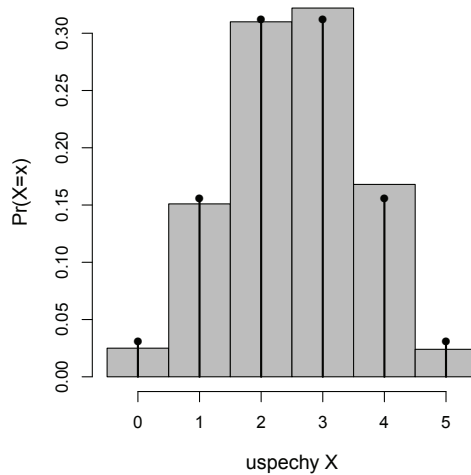
CLV a zákony veľkých čísel nám v praxi zabezpečia použitie nejakého modelu rozdelenia pravdepodobnosti na reálne dátá za predpokladu, že máme dostatočne veľký rozsah náhodného výberu (DasGupta, 2008). Dôsledky použitia modelu rozdelenia pravdepodobnosti na reálne dátá s malým rozsahom siahajú od nesprávneho použitia štatistického modelu po nesprávne použitie štatistického testu, čoho dôsledkom je nedôveryhodná interpretácia výsledkov štatistickej analýzy.

Príklad 83 (binomický rozdelenie, simulačná štúdia) Vygenerujte pseudonáhodné čísla X (početnosti úspechov) opakovane M -krát ($M = 1000$) z $Bin(N, p)$, kde $N = 5$ a $p = 0.5$. Vytvorte tabuľku vygenerovaných (simulovaných) ako aj teoretických relatívnych početností (pre $n = 0, 1, \dots, 5$). Superponujte histogram vygenerovaných pseudonáhodných čísel s teoretickou pravdepodobnosťou funkciou.

Riešenie (pozri tabuľku 13 a obrázok 12)

Tabuľka 13: Simulované a teoretické relatívne početnosti úspechov

relatívne početnosti/n	0	1	2	3	4	5
simulované	0.025	0.151	0.310	0.322	0.168	0.024
teoretické	0.031	0.156	0.312	0.312	0.156	0.031



Obr. 12: Histogram vygenerovaných pseudonáhodných čísel superponovaný spojnicovým grafom teoretickej pravdepodobnosťnej funkcie X

Príklad 84 (binomické vs. normálne rozdelenie) Nech $X_N \sim Bin(N, p)$, potom môžeme approximovať binomické rozdelenie normálne – $X_N \sim N(Np, Np(1-p))$, kde tiež platí $Z_N = \frac{X_N - Np}{\sqrt{Np(1-p)}} \sim N(0, 1)$. Ukážte, že CLV platí pre $N = 100$ a $p = 1/2$ na tri desatinné miesta.

Riešenie (aj v

Príklad hovorí o tom, ako dobre normálne rozdelenie approximuje binomické pri rozsahu $N = 100$, čo je dôležité pri testovaní hypotéz.

$$E[X_N] = Np = 50, \sqrt{Var[X_N]} = \sqrt{Np(1-p)} = 5.$$

Ak $Y_N = X_N/N$, potom $\Pr(|Y_N - 1/2| < \epsilon) = 0.236$, kde $\epsilon = 0.02$. $\Pr(0.48 < Y_{100} < 0.52) = \Pr(48 < X_{100} < 52) = \Pr(48.5 < X_{100} < 51.5) = \Pr(\frac{48.5-50}{5} < Z_{100} < \frac{51.5-50}{5})$, kde $X_{100} \sim N(50, 5)$ s použitím úpravy na spojitost.

```
55 | pbinom(51, 100, .5) - pbinom(48, 100, .5) # 0.2356466
56 | pnorm(51.5, 50, 5) - pnorm(48.5, 50, 5) # 0.2358228
```

Výsledky sa zhodujú na tri desatinné miesta. Všeobecne platí $X_M \sim N(M/2, M/4)$ a $Y_M = X_M/M \sim N(1/2, 1/(4M))$.

Príklad 85 (normálne rozdelenie, simulačná štúdia) Na základe simulačnej štúdie preverte, že ak $X \sim N(150, 6.25)$, potom $\bar{X}_n \sim N(150, 6.25/n)$. Použite (1) $n = 5$, (2) $n = 30$ a (3) $n = 100$. Pre každú simuláciu X vypočítajte aritmetické priemery \bar{x}_m , $m = 1, 2, \dots, M$, kde $M = 1000$. Superponujte ich histogram v relatívnej škále s teoretickou krivkou hustoty pre \bar{X}_n . Vypočítajte $\Pr(\bar{X}_n > 151)$ pre $n = 30$ zo simulovaných dát a porovnajte tento výsledok s teoretickou (očakávanou) pravdepodobnosťou.

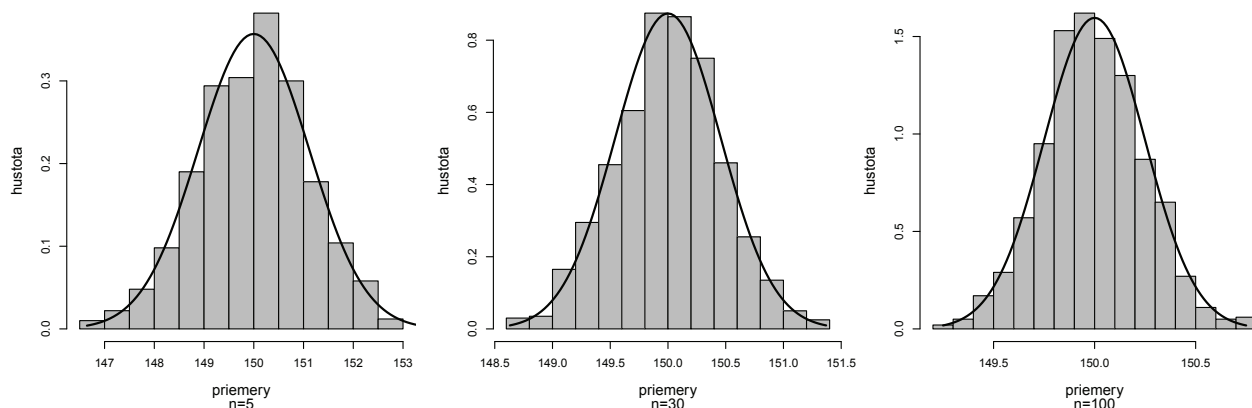
Riešenie (aj v) (pozri obrázok 13)

Príklad hovorí o tom, že ak má náhodná premenná X_n normálne rozdelenie, bude mať normálne rozdelenie aj aritmetický priemer \bar{X}_n , čo je dôležité pri testovaní hypotéz.

$$\Pr(\bar{X}_n > 151) = \Pr\left(\frac{\bar{X}_n - 150}{\sqrt{6.25}/\sqrt{n}} > \frac{151 - 150}{\sqrt{6.25}/\sqrt{n}}\right) \approx \Phi(2.190890) = 0.01422987, \text{ kde } n = 30.$$

```
57 M <- 1000; n30 <- 30
58 X30 <- matrix(0, M, n30)
59 for (i in 1:M) X30[i,] <- rnorm(n30, 150, sqrt(6.25))
60 x.bar30 <- rowMeans(X30)
61 # pravdepodobnosti
62 mean(x.bar30 > 151) # 0.014238
63 1 - pnorm((151 - 150)/sqrt(6.25/n30)) # 0.01422987
64 # obrazok pre n=30
65 windows(5, 5)
66 par(mar=c(5, 4.5, 1, 1))
67 hist(x.bar30, probability=TRUE, col="gray", main="",
68       ylab="hustota", xlab="priemery", sub="n=30", cex.lab=1.2, cex.sub=1.2)
69 xmin <- 150 - 3 * sqrt(6.25/n30)
70 xmax <- 150 + 3 * sqrt(6.25/n30)
71 curve(dnorm(x, 150, sqrt(6.25/n30)), from=xmin, to=xmax, lwd=2, add=TRUE)
```

Pri dostatočne veľkom počte opakovania vidíme zhodu medzi teoretickým a simulovaným rozdelením \bar{X}_n na tri desatiné miesta (pri výpočte zadanej pravdepodobnosti).



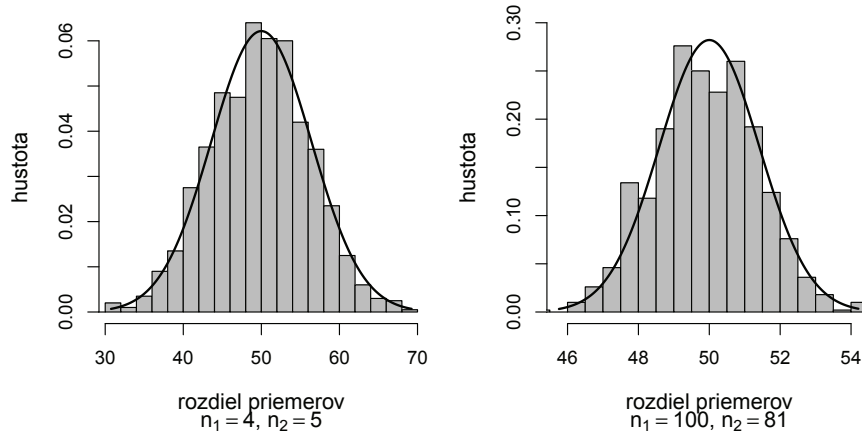
Obr. 13: Histogram vygenerovaných priemerov superponovaný teoretickou krivkou hustoty \bar{X}_n

Príklad 86 (normálne rozdelenie, simulačná štúdia) Nech (a) $X \sim N(\mu, \sigma^2)$, $\mu = 0$, $\sigma^2 = 1$, (b) $X \sim Exp(\lambda)$, $\lambda = 1/3$, (c) $X \sim Unif(\min, \max)$, $\min = 0$, $\max = 1$, (d) $X \sim [pN(0, 1) + (1-p)N(0, 10)]$, kde $p = 0.9$. Použite  na simuláciu pseudonáhodných čísel z daných rozdelení – rozsahy náhodných výberov $n = 2, 5, 20, 50, 100$ a 500 . Pre každú simuláciu X vypočítajte aritmetické priemery \bar{x}_m , $m = 1, 2, \dots, M$, kde $M = 1000$. Zobrazte ich do histogramu v relatívnej škále a superponujte ho s teoretickou krivkou hustoty $N(\mu, \sigma^2/n)$ prislúchajúcej danej simulácii.

Príklad 86 slúži na zistenie vlastností rozdelenia výberového priemeru pri rôznych situáciach. $Exp(\lambda)$ je exponenciálne rozdelenie s parametrom λ , $Unif(\min, \max)$ je rovnomerné rozdelenie s parametrami \min a \max . Zmes dvoch normálnych rozdelení predstavuje 10% prímes normálneho rozdelenia s väčším rozptylom rovným $\sigma^2 = 10$ v normálnom rozdelení s menším rozptylom rovným $\sigma^2 = 1$, čím sme docieliili 10% odľahlých pozorovaní.

Príklad 87 (normálne rozdelenie, simulačná štúdia) Nech $X \sim N(\mu_1, \sigma_1^2)$ a $Y \sim N(\mu_2, \sigma_2^2)$. Potom $\bar{X}_{n_1} - \bar{Y}_{n_2} \sim N(\mu_1 - \mu_2, \frac{\sigma_1^2}{n_1} + \frac{\sigma_2^2}{n_2})$. Generujte pseudonáhodné čísla X a Y rozdelení $N(\mu_j, \sigma_j^2)$, $j = 1, 2$, kde $\mu_1 = 100$, $\sigma_1 = 10$, $\mu_2 = 50$, $\sigma_2 = 9$ pri (a) $n_1 = 4, n_2 = 5$, (b) $n_1 = 100, n_2 = 81$. Pre každú simuláciu X a Y vypočítajte rozdiel $\bar{x}_m - \bar{y}_m$, $m = 1, 2, \dots, M$, kde $M = 1000$. Superponujte histogram týchto rozdielov v relatívnej škále s teoretickou krivkou hustoty rozdielu $\bar{X}_{n_1} - \bar{Y}_{n_2}$. Pre prípad (a) aj (b) vypočítajte $\Pr(\bar{X}_{n_1} - \bar{Y}_{n_2} < 52)$ na základe empirického (vygenerovaného) a teoretického rozdelenia $\bar{X}_{n_1} - \bar{Y}_{n_2}$.

Príklad 87 slúži na zistenie vlastností rozdelenia rozdielu dvoch výberových priemerov pri rôznych situáciach. Pri dostatočne veľkom počte opakovania vidíme zhodu medzi teoretickým a simulovaným rozdelením $\bar{X}_{n_1} - \bar{Y}_{n_2}$ na dve desatiné miesta (pri výpočte zadanej pravdepodobnosti; pozri obrázok 14).



Obr. 14: Histogram vygenerovaných rozdielov priemerov superponovaný teoretickou krivkou hustoty rozdielu $\bar{X}_{n_1} - \bar{Y}_{n_2}$

2.2 *Štatistika

Definícia 15 (štatistika) Ľubovoľná funkcia $T(\cdot): \mathcal{Y} \rightarrow \mathbb{R}^r$, pre nejaké $r \in \mathbb{N}^+$ náhodného výberu $(X_1, X_2, \dots, X_n)^T$, kde funkcia $T = T(X_1, X_2, \dots, X_n)$ nezávislá na θ sa nazýva **štatistika** a hodnota $t = T(x_1, x_2, \dots, x_n)$ korespondujúca realizáciám x_1, x_2, \dots, x_n sa nazýva **realizácia štatistiky** (pozorovaná hodnota štatistiky).

Príklad 88 (štatistika) Majme náhodný výber $(X_1, X_2, \dots, X_n)^T$, kde $X_i \in \mathbb{R}$, $i = 1, 2, \dots, n$, potom prikladmi štatistik sú: $T_1 = \sum_{i=1}^n X_i \in \mathbb{R}$, $T_2 = \sum_{i=1}^n X_i^2 \in \mathbb{R}^+ \cup \{0\}$, $T_3 = (\sum_{i=1}^n X_i, \sum_{i=1}^n X_i^2) \in \mathbb{R}^2$.

Štatistiky teda môžu byť náhodné premenné alebo náhodné vektory, ktoré sumarizujú informáciu o dátach, zjednodušujú pohľad na ne a umožňujú na ich základe dátu jednoduchšie popísť a ľahšie interpretovať.

Príklad 89 (štatistika; príklady) (a) Vypočítajte štatistiku $T_1 = \sum_{i=1}^n X_i$ pre realizácie náhodnej premennej X najväčšia dĺžka mozgovne (*skull.L*; mm; dátá: *one-sample-mean-skull-mf.txt*). V tomto prípade ide o čitateľ aritmetického priemeru \bar{x} . (b) vypočítajte štatistiku $T_2 = \sum_{i=1}^n X_i^2$ pre realizácie náhodnej premennej $X = X_1 - X_2$, kde X predstavuje stranový rozdiel vertikálneho priemeru v strede dĺžky tela klúčnej kosti na pravej aj ľavej strane tela (*length.R* a *length.L*; v mm; dátá: *paired-means-clavicle2.txt*). V tomto prípade ide o sumu štvorcov stranových rozdielov.

Definícia 16 (postačujúca štatistika) Pre štatistický model \mathcal{F} je štatistika $T(x)$ **postačujúca** pre parameter θ , ak má rovnakú hodnotu pre dva body rôzne x_1 a x_2 z výberového priestoru \mathcal{Y} iba ak tieto body majú ekvivalentné funkcie viero hodnosti (Azzalini, 1996), t.j. pre

$$\forall x_1, x_2 \in \mathcal{Y} : T(x_1) = T(x_2) \Rightarrow L(\theta, x_1) \approx L(\theta, x_2) \text{ pre } \forall \theta \in \Theta.$$

Detailedy o funkcií viero hodnosti pozri v kapitole 2.3 *Funkcia viero hodnosti. Aj napriek tomu, že nebijektívna transformácia obsahuje „všetku informáciu o dátach“, treba mať na zreteli, že to súvisí s voľbou modelu, t.j. ak sa zmení model, štatistika už nemusí byť postačujúca (Bickel a Doksum, 2006). Preto je vo ľiba modelu veľmi dôležitá. Anděl (2011) uvádzá inú definíciu postačujúcej štatistiky.

Definícia 17 (postačujúca štatistika) Štatistika $T(\mathbf{X})$ sa nazýva **postačujúca štatistika** pre parameter θ , ak podmienené rozdelenie vektora $\mathbf{X} = (X_1, X_2, \dots, X_n)^T$ pri danom $T(\mathbf{X})$ nezávisí na θ .

Predchádzajúca definícia hovorí o tom, že ak $T(\mathbf{X})$ je postačujúca štatistika pre θ , potom každá inferencia o θ závisí na \mathbf{X} len cez hodnotu $T(\mathbf{X})$, t.j. ak \mathbf{x} a \mathbf{y} sú dve realizácie a $T(\mathbf{x}) = T(\mathbf{y})$, potom inferencia o θ bude rovnaká nezávisle na tom, či sme pozorovali $\mathbf{X} = \mathbf{x}$ alebo $\mathbf{Y} = \mathbf{y}$.

Veta 4 (postačujúca štatistika) Ak $f_1(\mathbf{x}|\theta)$ je združená hustota \mathbf{X} a $f_2(t|\theta)$ je hustota $T(\mathbf{X})$, potom $T(\mathbf{X})$ je postačujúca štatistika pre θ , ak pre všetky \mathbf{x} je podiel $f_1(\mathbf{x}|\theta)/f_2(t|\theta)$ konštant a nezávislý na θ (Casella a Berger, 2002).

Príklad 90 (postačujúca štatistika binomického rozdelenia) Nech X_i , $i = 1, 2, \dots, N$, sú iid Bernoulliho pokusy a $X = \sum_{i=1}^N X_i$. Potom $X \sim \text{Bin}(N, p)$. Ukážte, že $T(\mathbf{X}) = \sum_{i=1}^N X_i$ je postačujúca štatistika pre p .

Riešenie

$f_1(\mathbf{x}|p)/f_2(t|p) = \prod_{i=1}^N p^{x_i} (1-p)^{1-x_i} / (\binom{N}{t} p^t (1-p)^{N-t}) = 1 / \binom{N}{\sum_i x_i}$. Tento podiel je nezávislý na p , t.j. súčet jednotiek obsahuje všetku informáciu o p , ktorá je v dátach.

Príklad 91 (postačujúca štatistika normálneho rozdelenia) Nech $X_i \sim N(\mu, \sigma^2)$, kde $i = 1, 2, \dots, n$, sú iid premenné a σ^2 poznáme. Ukážte, že $T(\mathbf{X}) = \sum_{i=1}^N X_i/n = \bar{X}$ je postačujúca štatistika pre μ .

Riešenie

$f_1(\mathbf{x}|\mu)/f_2(t|\mu) = \prod_{i=1}^N f(x_i, \mu)/f_2(t|\mu)$, kde $f(x_i, \mu)$ je hustota normálneho rozdelenia a $f_2(t|\mu) = (2\pi\sigma^2/n)^{-1/2} \exp(-n(\bar{x} - \mu)^2/(2\sigma^2))$. Po viacerých algebraických úpravách dostaneme

$$f_1(\mathbf{x}|\mu)/f_2(t|\mu) = n^{-1/2} (2\pi\sigma^2)^{-(n-1)/2} \exp\left(-\sum_{i=1}^n (x_i - \bar{x})^2/(2\sigma^2)\right).$$

Tento podiel je nezávislý na μ , t.j. \bar{X} obsahuje všetku informáciu o μ , ktorá je v dátach.

Dá sa ukázať, že ak $X_i \sim N(\mu, \sigma^2)$, kde $i = 1, 2, \dots, n$, sú iid premenné, potom $T_1(\mathbf{X}) = (\bar{X}, \sum_{i=1}^n X_i^2)^T$ a $T_2(\mathbf{X}) = (\bar{X}, \sum_{i=1}^n (X_i - \bar{X})^2)^T$ sú postačujúce štatistiky $\boldsymbol{\theta} = (\mu, \sigma^2)^T$.

Špeciálnym prípadom štatistiky je **testovacia štatistika**, ktorá má klíčovú úlohu pri testovaní hypotéz.

Príklad 92 (testovacia štatistika, simulačná štúdia) Na základe simulačnej štúdie preverte, že ak náhodná premenná X má asymptoticky binomické rozdelenie $Bin(N, p)$, potom testovacia štatistika $Z_W = \frac{X/N - p}{\sqrt{(p(1-p)/N)}}$, má asymptoticky normálne rozdelenie $N(0, 1)$. Použite $p = 0.1, 0.5, 0.9$, a $N = 5, 10, 30, 50$ a 100 . Okomentujte výsledky v spojitosti s Haldovou podmienkou $Np(1 - p) > 9$. Pre každú simuláciu X vypočítajte $z_{W,m}$, $m = 1, 2, \dots, M$, kde $M = 1000$. Superponujte histogram vygenerovaných testovacích štatistik v relatívnej škále s teoretickou krivkou hustoty Z_W .

Príklad 92 hovorí o použití jednovýberovej testovacej štatistiky pre parameter binomického rozdelenia (pravdepodobnosť) pre rôzne pravdepodobnosti a rôzne početnosti. Ak Haldova podmienka nie je splnená, nie je možné testovaciu štatistiku použiť.

Príklad 93 (testovacia štatistika, simulačná štúdia) Na základe simulačnej štúdie preverte, že ak (a) $X \sim N(\mu, \sigma^2)$, kde $\mu = 0, \sigma^2 = 1$ a (b) $X \sim [(1 - p)N(\mu, \sigma^2) + pN(\mu, \sigma_1^2)]$, kde $p = 0.05$ a $\sigma_1^2 = 2$, potom testovacia štatistika $F = \frac{(n-1)S^2}{\sigma^2}$ má asymptoticky χ_{n-1}^2 rozdelenie s $n - 1$ stupňami voľnosti. Použité rozsahy náhodných výberov $n = 15$ a $n = 100$. Pre každú simuláciu X vypočítajte $F_{poz,m}$, $m = 1, 2, \dots, M$, kde $M = 1000$. Superponujte histogram vygenerovaných testovacích štatistik v relatívnej škále s teoretickou krivkou hustoty F .

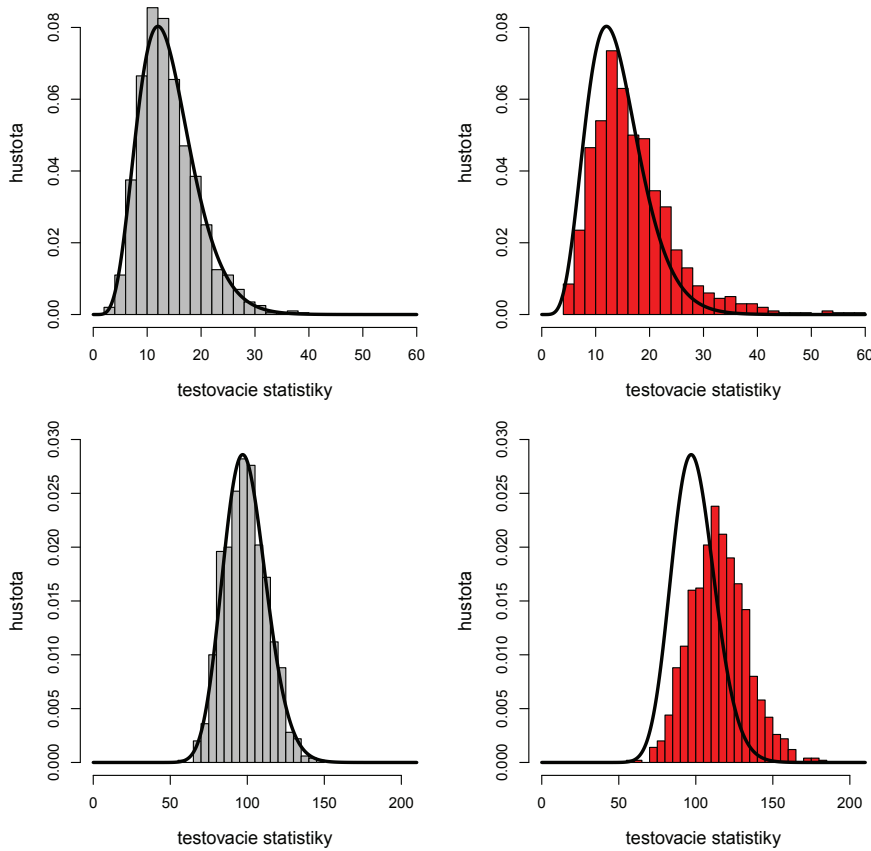
Riešenie

Príklad hovorí o použití jednovýberovej testovacej štatistiky pre parameter normálneho rozdelenia (rozptyl) pre rôzne teoretické rozdelenia a rôzne rozsahy náhodných výberov. Ak sú výchylky od normality príliš veľké, nie je možné testovaciu štatistiku použiť. Vieme, že $E[S^2] = \sigma^2 = 1$ a $Var[S^2] = 2\sigma^4/(n-1) = 2/(n-1)$, $E[F] = n-1$ a $Var[F] = 2(n-1)$, t.j. chceme, aby sa výsledky simulačnej štúdie priblížili týmto teoretickým hodnotám (pozri tabuľku 14).

Tabuľka 14: Teoretické hodnoty stredných hodnôt a rozptylov S^2 a F a ich odhadny zo simulačnej štúdie pri $n = 15$ a $n = 100$

odhadu počítané pri simulácii	$E[S^2]$	$Var[S^2]$	$E[F]$	$Var[F]$
teoretické hodnoty, $n = 15$	1.0000	0.1429	14.0000	28.0000
$N(\mu, \sigma^2)$, $n = 15$	1.0003	0.1458	14.0039	28.5763
$X \sim [(1 - p)N(\mu, \sigma^2) + pN(\mu, \sigma_1^2)]$, $n = 15$	1.2015	0.2943	16.8213	57.6880
teoretické hodnoty, $n = 15$	1.0000	0.0202	99.0000	198.0000
$N(\mu, \sigma^2)$, $n = 100$	0.9985	0.0198	98.8552	193.7022
$X \sim [(1 - p)N(\mu, \sigma^2) + pN(\mu, \sigma_1^2)]$, $n = 100$	1.1596	0.0342	114.8005	335.5359

Pri dostatočne veľkom počte opakovania vidíme zhodu medzi teoretickým a simulovaným rozdelením F , len ak ide o dáta z normálneho rozdelenia (pozri obrázok 15).



Obr. 15: Histogramy vygenerovaných testovacích štatistik v relatívnej škále superponované s teoretičkými krivkami hustoty F ; $X \sim N(0, 1)$ (ľavý stĺpec) a $X \sim [(1-p)N(\mu, \sigma^2) + pN(\mu, \sigma_1^2)]$ (pravý stĺpec); $n = 15$ (horný riadok), $n = 100$ (dolný riadok)

2.3 *Funkcia viero hodnosti

Funkcia viero hodnosti je najpoužívanejšou funkciou v štatistike. Sumarizuje informácie dostupné z dát v podobe logaritmu, prvej a druhej derivácie. Používa sa nielen pri odhadovaní parametrov rozdelení pravdepodobnosti, ale aj pri testovaní hypotéz a štatistickom modelovaní.

Majme štatistický model $\mathcal{F} = \{f(\cdot; \theta) : \theta \in \Theta \subseteq \mathbb{R}^k\}$. Nech $k = 1$. Ak už bolo x pozorované, hodnota funkcie hustoty $f(\theta, x)$ závisí len od θ . Táto funkcia nám dáva pravdepodobnosť (hustotu) pozorovaní, a priori vo vzťahu k experimentu, ktoré sme predtým pozorovali. Ak chceme porovnať alebo zoradiť $\theta_1, \theta_2 \in \Theta$ podľa dôležitosti, použijeme podiel $f(x, \theta_1)/f(x, \theta_2)$, ak existuje. Tento podiel sa nezmení, ak čitatel' a menovateľ vynásobíme nejakou konštantou c nezávislou na θ . Dá sa preto povedať, že $f(\theta, x)$ je vhodná na porovnanie prvkov množiny Θ až na multiplikatívnu konštantu c (Pawitan, 2001).

Definícia 18 (funkcia viero hodnosti) Pre štatistický model \mathcal{F} , na základe ktorého predkladáme, že $x \in \mathbb{R}$ boli pozorované, použijeme pojem **viero hodnosť** (**viero hodnosťná funkcia**) pre funkciu $\Theta \rightarrow \mathbb{R}^+ \cup \{0\}$ definovanú ako (Cox, 2006)

$$L(\theta, x) = c(x)f(x, \theta),$$

kde $c \in \mathbb{R}$ je nezávislá na θ a $f(x, \theta) = \prod_{i=1}^n f(x_i, \theta)$.

Zápis $L(\theta, \mathbf{x})$ neindikuje závislosť na \mathbf{x} , a preto sa často používa zápis $L(\theta|\mathbf{x})$; podobné platí aj pre hustotu, t.j. často sa používa $f(x_i|\theta)$. Tiež je jedno, či píšeme c alebo $c(\mathbf{x})$, keďže viero hodnosť je funkciou θ . V skutočnosti $L(\theta|\mathbf{x})$ definuje triedu funkcií, ktorej prvky sa odlišujú vďaka multiplikatívnej konštante c . Z vyššie uvedenej definícii vyplýva, že dva body asociované s proporcionálnymi hustotami determinujú rovnakú viero hodnosť, t.j. ich viero hodnosti sú ekvivalentné. Viero hodnosť ale nie je pravdepodobnosťou. Viero hodnosť je nezáporná a vo väčšine prípadov pozitívna pre všetky θ , preto môžeme definovať **prirodzený logarimus funkcie viero hodnosti** ako (Brazzale a kol., 2007)

$$\ln(L(\theta|\mathbf{x})) = l(\theta|\mathbf{x}) = \ln c + \ln(f(\mathbf{x}|\theta)),$$

kde $l(\theta|\mathbf{x}) = -\infty$ ak $L(\theta|\mathbf{x}) = 0$. V zmysle c ide teda o triedu funkcií.

Definícia 19 (slabý princíp viero hodnosti) Pre štatistický model $\mathcal{F} = \{f(\cdot; \theta) : \theta \in \Theta\}$ dva body $x_1, x_2 \in \mathbb{R}$, kde platí $L(\theta, x_1) \approx L(\theta, x_2)$, musia viest k rovnakému záveru (inferenčnému záveru).

Z definícii 19 vyplýva, že všetka informácia o θ je obsiahnutá vo funkcií viero hodnosti pre realizácie x (z nejakého experimentu). Dve funkcie viero hodnosti parametra θ obsahujú rovnakú informáciu o θ , ak sú proporcionálne pre nejaké x (z rovnakých alebo rozdielnych experimentov).

Definícia 20 (silný princíp viero hodnosti) Majme x_1 z modelu $\mathcal{F}_1 = \{f_1(\cdot; \theta) : \theta \in \Theta\}$ a x_2 z modelu $\mathcal{F}_2 = \{f_2(\cdot; \theta) : \theta \in \Theta\}$, kde $L_1(\theta, x_1) \approx L_2(\theta, x_2)$. Potom body $x_1, x_2 \in \mathbb{R}$ musia viest k rovnakému záveru (inferenčnému záveru).

Príklad 94 (principy viero hodnosti) Majme binomické rozdelenie (N je fixované a náhodná premenná je počet úspechov) a negatívne binomického rozdelenia (počet úspechov je fixovaný vopred a náhodná premenná je počet zlyhaní pozorovaný pred zastavením sekvencie pokusov). Ak x_1 je počet úspechov a x_2 počet neúspechov a θ pravdepodobnosť úspechu, potom (Azzalini, 1996)

$$L_1(\theta|x_1, x_2) = \binom{N}{x_1} \theta^{x_1} (1-\theta)^{x_2}, x_1 = 1, 2, \dots, N; x_2 = N - x_1,$$

a

$$L_2(\theta|x_1, x_2) = \binom{x_1 + x_2 - 1}{x_1} \theta^{x_1} (1-\theta)^{x_2}; x_1 = 1, 2, \dots; x_2 = 1, 2, \dots,$$

kde jadro funkcie viero hodnosti pre oba prípady bude rovné $L_1(\theta|x_1, x_2) = L_2(\theta|x_1, x_2) = \theta^{x_1} (1-\theta)^{x_2}$.

Časť funkcie viero hodnoti zahrňajúca parameter sa nazýva **jadro (kernel)**. Kedže maximalizácia funkcie je vo vzťahu k parametru, zvyšok (nejaká konštantá) nezávislý na parametri je pri maximalizácii nepotrebný. Jadro funkcie viero hodnosti je často značené rovnako ako samotná funkcia viero hodnosti (ku ktorej je proporcionálne).

Štatistická teória je kompromis rôznych logicky korektných požiadaviek použitých v kombinácii smerujúci k praktickým potrebám. V praxi slabý princíp viero hodnosti platí takmer vždy, ale silný princíp viero hodnosti iba niekedy (Cox a Donnelly, 2011).

Definícia 21 (maximálne viero hodný odhad) Maximálne viero hodný odhad parametra θ , označený $\hat{\theta}_{ML} = \hat{\theta}$ (ozn. ML často neuvádzame a nahradzame ho slovným spojením „MLE θ je rovné $\hat{\theta}$ “ alebo skrátene „MLE $\hat{\theta}$ “) je taká hodnota parametra θ , ktorá maximalizuje funkciu viero hodnosti $L(\theta|x)$; pozri Cox (2006); Lehmann a Casella (1998).

Ak $X \sim N(\mu, \sigma^2)$, potom maximálne viero hodnými odhadmi parametrov μ a σ^2 sú $\hat{\mu} = \bar{x}$ a $\hat{\sigma}^2 = \frac{(n-1)}{n} s^2$. Ak $X \sim Bin(N, p)$, potom maximálne viero hodný odhad p je $\hat{p} = x/N$.

Definícia 22 (funkcia vierochnosti binomického rozdelenia a jej jadro) Nech X je náhodná premenná, ktorá má binomické rozdelenie s parametrami N a p , t.j. $X \sim Bin(N, p)$. Realizácia X je $x = n$. Potom jadro funkcie vierochnosti má tvar $L(p|x) = p^x (1-p)^{N-x}$ a jeho logaritmus je rovný $l(p|x) = x \ln p + (N-x) \ln (1-p)$; pozri (Bickel a Doksum, 2006). Binomický koeficient, kombinačné číslo $\binom{N}{x}$, nepíšeme, lebo ho pri maximalizácii nepotrebuje.

Definícia 23 (funkcia vierochnosti multinomického rozdelenia a jej jadro) Nech \mathbf{X} je náhodná premenná, ktorá má (J -rozmerné) multinomické rozdelenie s parametrami N a \mathbf{p} , t.j. $\mathbf{X} \sim Mult_J(N, \mathbf{p})$, kde $\mathbf{X} = (X_1, X_2, \dots, X_J)^T$. Realizácia X_j je $x_j = n_j$. Funkcia vierochnosti je proporcionálna ku jadru vierochnosti $L(\mathbf{p}|\mathbf{x}) = \prod_{j=1}^J p_j^{x_j}$ a jej logaritmus $l(\mathbf{p}|\mathbf{x}) = \sum_{j=1}^J x_j \ln p_j$ (Casella a Berger, 2002). Konštantu $N! / \prod_j x_j!$ nepíšeme, lebo ju pri maximalizácii nepotrebuje.

Definícia 24 (funkcia vierochnosti Poissonovho rozdelenia a jej jadro) Nech X je náhodná premenná, ktorá má Poissonovo rozdelenie s parametrom λ , t.j. $X \sim Poiss(\lambda)$. Potom jadro vierochnoti (Casella a Berger, 2002)

$$L(\lambda|\mathbf{x}) = \lambda^{\sum_{i=1}^N x_i} e^{-N\lambda},$$

a jeho logaritmus $l(\lambda|\mathbf{x}) = \sum_{i=1}^N x_i \ln \lambda - N\lambda$. Menovateľ funkcie vierochnosti $x_1!x_2!\dots x_N!$ nepíšeme, lebo ho pri maximalizácii nepotrebuje.

Príklad 95 (maximálne vierochné odhady; Poissonovo rozdelenie) Každý rok za posledných päť rokov boli v nejakom meste registrované 3, 2, 5, 0 a 4 zemetrasenia za rok. Za predpokladu, že počet zemetrasení za rok X má Poissonovo rozdelenie s parametrom λ , t.j. $X \sim Poiss(\lambda)$, odhadnite λ (λ predstavuje očakávanú početnosť zemetrasení za rok).

Riešenie

Logaritmus funkcie vierochnosti $l(\lambda|\mathbf{x}) = \sum_{i=1}^N x_i \ln \lambda - N\lambda$, potom $\frac{\partial l(\lambda|\mathbf{x})}{\partial \lambda} = \frac{N\bar{x}}{\lambda} - N$, z čoho vyplýva, že $\hat{\lambda} = \bar{x}$. Teda ak $N = 5$, vieme vypočítať $\hat{\lambda} = \frac{\sum x_i}{N} = \bar{x}$, ktorý je rovný 2.8.

Vo všeobecnosti píšeme funkciu vierochnosti pre Poissonove rozdelenie s parametrom λ a pozorovanými početnosťami m_n ako $L(\lambda|\mathbf{x}) = \prod_n p_n^{m_n}$, kde $p_n = \Pr(X = n) = e^{-\lambda} \lambda^n / n!$ a logaritmus jadra funkcie vierochnosti ako $l(\lambda|\mathbf{x}) = -\lambda \sum_n m_n + \sum_n n m_n \ln \lambda$. Maximálne vierochný odhad $\hat{\lambda} = \frac{\sum_n n m_n}{\sum_n m_n}$.

Maximálne vierochný odhad zjednodušuje pohľad na funkciu vierochnosti, pretože číslo predstavujúce odhad je jednoduchšie ako funkcia. Všeobecne však jedno číslo (odhad parametra) nie je postačujúce na to, aby reprezentovalo funkciu vierochnosti. Ak je funkcia vierochnosti dobre **aproximovaná nejakou kvadratickou funkciou**, potom potrebujeme na jej opis najmenej dve charakteristiky – **polohu maxima a zakrivenie v maxime**. Presnejšie potrebujeme aproximáciu logaritmu funkcie vierochnosti **okolo maximálne vierochného odhadu θ** **polohy maxima** nejakou kvadratickou funkciou. V tomto prípade nazývame funkciu vierochnosti *regulárnu*. Prvú deriváciu logaritmu funkcie vierochnosti nazývame **skóre funkcia** a označujeme ju ako $S(\theta) = \frac{\partial}{\partial \theta} l(\theta|\mathbf{x})$. Z tejto rovnosti je zrejmé, že maximálne vierochný odhad $\hat{\theta}$ je riešením **vierochnostných (skóre) rovníc** $S(\theta) = 0$. V maxime je druhá derivácie logaritmu funkcie vierochnosti záporná a zakrivenie v bode $\hat{\theta}$ bude rovné **Fisherovej mieri informácie** $\mathcal{I}(\hat{\theta})$, kde $\mathcal{I}(\hat{\theta}) = -\frac{\partial^2}{\partial \theta^2} l(\theta|\mathbf{x})|_{\theta=\hat{\theta}}$. Veľké zakrivenie zodpovedá strmému a úzkemu vrcholu, čo indikuje menšiu neistotu o θ . $\mathcal{I}(\hat{\theta})$ nazývame **pozorovaná Fisherova miera informácie**. **Maximálne vierochný odhad rozptylu** odhadu

parametra θ potom môžeme definovať ako $\widehat{Var[\theta]} = 1/\mathcal{I}(\widehat{\theta})$. **Očakávaná Fisherova miera informácie** je definovaná ako $I(\theta) = E[S^2(\theta)] = Var[S(\theta)] = -E[\frac{\partial}{\partial \theta} S(\theta)]$. Ked'že $X_i, i = 1, 2, \dots, n$, sú nezávislé, potom platí $I(\theta) = ni(\theta)$, kde $i(\theta)$ je Fisherova miera informácie jedného pozorovania.

Príklad 96 ($\mathcal{I}(\widehat{p})$ a rozptyl pre p ; $X \sim Bin(N, p)$) Z funkcie viero hodnosti odvodte pozorovanú Fisherovu mieru informácie $\mathcal{I}(\widehat{p})$ a rozptyl $Var[\widehat{p}]$.

Riešenie

$$l(p|x) = x \ln p + (N-x) \ln (1-p) = N\widehat{p} \ln p + N(1-\widehat{p}) \ln (1-p), \text{ potom}$$

$$\frac{\partial^2}{\partial p^2} l(p|x) = -(N\widehat{p})/p^2 - N(1-\widehat{p})/(1-p)^2.$$

Ak dosadíme $p = \widehat{p}$, dostaneme

$$\begin{aligned} \frac{\partial^2}{\partial p^2} l(p|x)|_{p=\widehat{p}} &= -(N\widehat{p})/\widehat{p}^2 - N(1-\widehat{p})/(1-\widehat{p})^2 = [-N(1-\widehat{p}) - N\widehat{p}] / [\widehat{p}(1-\widehat{p})] \\ &= -N / [\widehat{p}(1-\widehat{p})], \text{ z čoho vyplýva, že} \end{aligned}$$

$$\frac{1}{\mathcal{I}(\widehat{p})} = \widehat{Var[\widehat{p}]} = \frac{\widehat{p}(1-\widehat{p})}{N}.$$

Príklad 97 ($\mathcal{I}(\widehat{\lambda})$ a rozptyl pre λ ; $X \sim Poiss(\lambda)$) Každý rok za posledných päť rokov boli v nejakom meste registrované 3, 2, 5, 0 a 4 zemetrasenia za rok. Za predpokladu, že počet zemetrasení za rok $X \sim Poiss(\lambda)$, odhadnite rozptyl parametra λ a vypočítajte hodnotu tohto odhadu rozptylu pre počet zemetrasení.

Riešenie

$$\frac{\partial^2}{\partial \lambda^2} l(\lambda|\mathbf{x}) = -\frac{N\bar{x}}{\lambda^2}, \text{ z čoho po dosadení } \lambda = \widehat{\lambda} \text{ dostaneme } \frac{1}{\mathcal{I}(\widehat{\lambda})} = \widehat{Var[\widehat{\lambda}]} = \frac{\bar{x}}{N}, \text{ ktorý je rovný 0.56.}$$

Ako vhodný spôsob aproximácie logaritmu funkcie viero hodnosti $l(\theta|\mathbf{x})$ a $l(\boldsymbol{\theta}|\mathbf{x})$ a nejakej funkcie $g(\theta)$ a $g(\boldsymbol{\theta})$, sa javí jednorozmerný a mnohorozmerný **Taylorov rozvoj r-tého rádu**. Táto aproximácia je dostatočne dobrá z hľadiska konvergencie ku funkcií, ktorú approximujeme.

Definícia 25 (Taylorov rozvoj r-tého rádu) Ak existujú r-té derivácie funkcie $g(x)$, označime $g^{(r)}(x) = \frac{\partial^r}{\partial x^r} g(x)$, potom definujeme Taylorov rozvoj r-tého rádu pre nejakú konštantu a nasledovne (Casella a Berger, 2002)

$$T_r(x) = \sum_{j=0}^r \frac{g^{(j)}(a)}{j!} (x-a)^j.$$

Pri praktických aplikáciách budeme predpokladat', že zvyšok $g(x) - T_r(x)$ bude rýchlo konvergoval k nule (pozri nasledujúcu vetu). Explicitná forma zvyšku nebude dôležitá a budeme ho zanedbávať, pretože nás bude zaujímať iba samotná approximácia. Jedna z možných podôb zvyšku je nasledovná

$$g(x) - T_r(x) = \int_a^x \frac{g^{(r+1)}(t)}{r!} (x-t)^r dt.$$

Veta 5 (Taylorova veta) Ak derivácia $g^{(r)}(a) = \frac{\partial^r}{\partial x^r} g(x)|_{x=a}$ existuje, potom (Casella a Berger, 2002)

$$\lim_{x \rightarrow a} \frac{g(x) - T_r(x)}{(x-a)^r} = 0.$$

V štatistických aplikáciách Taylorovej vety budeme používať Taylorov rozvoj prvého alebo druhého rádu. Rovnako budeme používať aj mnohorozmerné rozšírenie Taylorovej vety.

Majme **kvadratickú approximáciu logaritmu funkcie viero hodnosti** pomocou Taylorovho rozvoja druhého rádu okolo $\hat{\theta}$ definovanú ako

$$l(\theta|\mathbf{x}) \approx l(\hat{\theta}|\mathbf{x}) + S(\hat{\theta})(\theta - \hat{\theta}) - \frac{1}{2}\mathcal{I}(\hat{\theta})(\theta - \hat{\theta})^2,$$

z ktorej dostaneme **approximáciu logaritmu relatívnej (štandardizovanej) funkcie viero hodnosti**

$$\ln \mathcal{L}(\theta|\mathbf{x}) = \ln \frac{L(\theta|\mathbf{x})}{L(\hat{\theta}|\mathbf{x})} = l(\theta|\mathbf{x}) - l(\hat{\theta}|\mathbf{x}) \approx -\frac{1}{2}\mathcal{I}(\hat{\theta})(\theta - \hat{\theta})^2.$$

Posledná rovnosť predstavuje kvadratickú approximáciu normalizovaného logaritmu funkcie viero hodnosti okolo $\hat{\theta}$. Na porovnanie skutočnej funkcie viero hodnosti a jej kvadratickej approximácie tieto dve funkcie nakreslíme do jedného obrázka. Pri zobrazovaní fixujeme maximum logaritmu funkcie viero hodnosti do nuly a rozsah stanovíme od -4 do 0 .

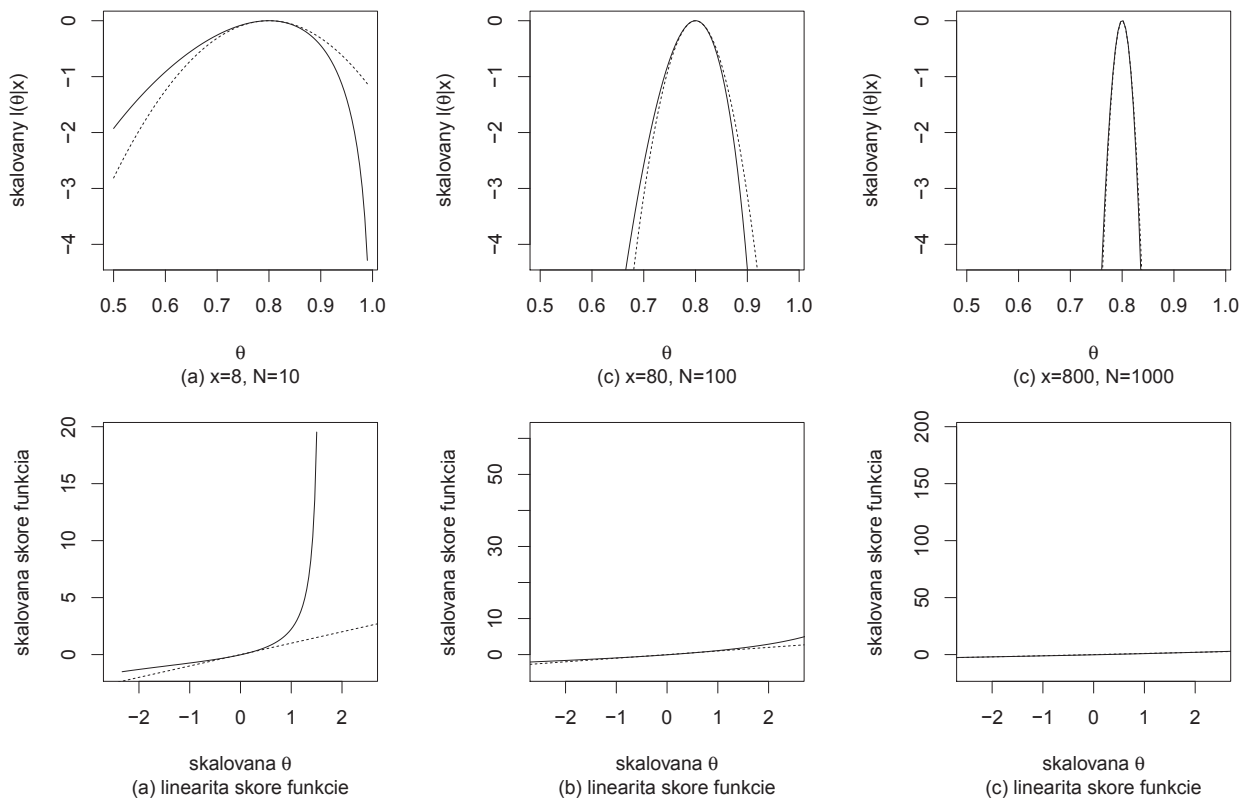
Praktické pravidlo – dostatočne regulárna funkcia viero hodnosti indikuje normalitu X . Alternatívne môžeme zobrať deriváciu kvadratickej approximácie, kde dostaneme $S(\theta) \approx -\mathcal{I}(\hat{\theta})(\theta - \hat{\theta})$ alebo $-\mathcal{I}^{-1/2}(\hat{\theta})S(\theta) \approx \mathcal{I}^{1/2}(\hat{\theta})(\theta - \hat{\theta})$. Posledná rovnosť nie je závislá na mierke θ . Potom kvadratickú approximáciu môžeme preveriť graficky zobrazením $-\mathcal{I}^{-1/2}(\hat{\theta})S(\theta)$ oproti $\mathcal{I}^{1/2}(\hat{\theta})(\theta - \hat{\theta})$. Za platnosti kvadratickej approximácie je grafom priamka s jednotkovým sklonom. Pre normálne rozdelené dátá to musí platiť presne. Keďže každá funkcia je lokálne lineárna, je potrebné preveriť, na akom intervale linearitu očakávame. V ideálnom prípade $\mathcal{I}^{1/2}(\hat{\theta})(\theta - \hat{\theta}) \sim N(0, 1)$, preto kontrolu urobíme aspoň na intervale $(-2, 2)$.

Príklad 98 (kvadratická approximácia funkcie viero hodnosti) (1) Nakreslite škálovaný logaritmus funkcie viero hodnosti binomického rozdelenia. Na x -ovej osi bude p a na y -ovej osi $\ln \mathcal{L}(p|\mathbf{x}) = l(p|\mathbf{x}) - \max(l(p|\mathbf{x}))$. Porovnajte $\ln \mathcal{L}(p|\mathbf{x})$ s kvadratickou approximáciou vypočítanou pomocou Taylorovho rozvoja $\ln \mathcal{L}(p|\mathbf{x}) = \ln(\frac{L(p|\mathbf{x})}{L(\hat{p}|\mathbf{x})}) \approx -\frac{1}{2}\mathcal{I}(\hat{p})(p - \hat{p})^2$. (2) Nech skóre funkcia $S(p) = \frac{\partial}{\partial p} \ln L(p|\mathbf{x})$. Ked' zoberieme deriváciu kvadratickej approximácie uvedenej vyššie, dostaneme $S(p) \approx -\mathcal{I}(\hat{p})(p - \hat{p})$ alebo $-\mathcal{I}^{-1/2}(\hat{p})S(p) \approx \mathcal{I}^{1/2}(\hat{p})(p - \hat{p})$. Potom zobrazením pravej strany na x -ovej osi a ľavej strany na y -ovej osi dostaneme asymptoticky lineárnu funkciu s jednotkovým sklonom. Asymptoticky tiež platí $\mathcal{I}^{1/2}(\hat{p})(p - \hat{p}) \sim N(0, 1)$. Je postačujúce mať rozsah x -vej osi $(-2, 2)$, pretože funkcia je asymptoticky (lokálne) lineárna na tomto intervale. Rozumne škálujte y -ovú os. Zobrazte pre (a) $n = 8, N = 10$, (b) $n = 80, N = 100$ a (c) $n = 800, N = 1000$ ($p \in (0.5, 0.99)$). Okomentujte rozdiely medzi (a), (b) a (c). Grafické riešenie je na obrázku 16.

Ak je funkcia viero hodnosti viacrozmerná, je problém ju zobraziť. Ak je $\boldsymbol{\theta}$ dvojrozmerný vektor, potom môžeme $L(\boldsymbol{\theta}|\mathbf{x})$ zobraziť ako kontúrový graf alebo perspektívny trojrozmerný graf v podobe plochy. Nech $\boldsymbol{\theta} = (\theta_1, \theta_2, \dots, \theta_k)^T$. Za predpokladu diferencovateľnosti $L(\boldsymbol{\theta}|\mathbf{x})$ je **skóre funkcia** definovaná ako vektor $S(\boldsymbol{\theta})$, ktorého jednotlivé členy $S(\boldsymbol{\theta}) = \frac{\partial}{\partial \theta_i} l(\boldsymbol{\theta}|\mathbf{x}), i = 1, 2, \dots, k$, a maximálne viero hodný odhad $\hat{\boldsymbol{\theta}}$ je riešením viero hodnostných rovníc $S(\boldsymbol{\theta}) = 0$. **Pozorovaná Fisherova informačná matica** druhých derivácií $l(\boldsymbol{\theta}|\mathbf{x})$ má tvar $\mathcal{I}_{ij}(\hat{\boldsymbol{\theta}})$ je rovný $-\frac{\partial^2}{\partial \theta_i \partial \theta_j} l(\boldsymbol{\theta}|\mathbf{x})|_{\boldsymbol{\theta}=\hat{\boldsymbol{\theta}}}$. Maximálne viero hodný odhad kovariančnej matice $\widehat{Var[\hat{\boldsymbol{\theta}}]} = \mathcal{I}^{-1}(\hat{\boldsymbol{\theta}})$, t.j. odhad kovariančnej matice $\widehat{Var[\hat{\boldsymbol{\theta}}]}$ je rovný inverzii pozorovanej Fisherovej informačnej matice $\mathcal{I}(\hat{\boldsymbol{\theta}})$. **Očakávaná Fisherova informačná matica** je definovaná ako $I(\boldsymbol{\theta}) = E[S(\boldsymbol{\theta})(S(\boldsymbol{\theta}))^T] = Var[S(\boldsymbol{\theta})] = -E[\frac{\partial}{\partial \boldsymbol{\theta}} S(\boldsymbol{\theta})]$. Keďže $X_i, i = 1, 2, \dots, n$, sú nezávislé, potom platí $I(\boldsymbol{\theta}) = ni(\boldsymbol{\theta})$, kde $i(\boldsymbol{\theta})$ je Fisherova miera informácie jedného pozorovania.

Kvadratická approximácia logaritmu funkcie viero hodnosti pomocou Taylorovho rozvoja druhého rádu okolo $\hat{\boldsymbol{\theta}}$ je definovaná ako

$$l(\boldsymbol{\theta}|\mathbf{x}) \approx l(\hat{\boldsymbol{\theta}}|\mathbf{x}) + S(\hat{\boldsymbol{\theta}})(\boldsymbol{\theta} - \hat{\boldsymbol{\theta}}) - \frac{1}{2}(\boldsymbol{\theta} - \hat{\boldsymbol{\theta}})^T \mathcal{I}(\hat{\boldsymbol{\theta}})(\boldsymbol{\theta} - \hat{\boldsymbol{\theta}}).$$



Obr. 16: Porovnanie škálovaného logaritmu funkcie viero hodnosti (plná čiara) s jeho kvadratickou approximáciou (čiarkovaná čiara) v prvom riadku a porovnanie škálovanej skóre funkcie a priamky s nulovým interceptom a jednotkovým sklonom v druhom riadku

Pre normálne rozdelené X platí

$$\ln \mathcal{L}(\boldsymbol{\theta}|\mathbf{x}) = \ln \frac{L(\boldsymbol{\theta}|\mathbf{x})}{L(\hat{\boldsymbol{\theta}}|\mathbf{x})} = l(\boldsymbol{\theta}|\mathbf{x}) - l(\hat{\boldsymbol{\theta}}|\mathbf{x}) \approx -\frac{1}{2}(\boldsymbol{\theta} - \hat{\boldsymbol{\theta}})^T \mathcal{I}(\hat{\boldsymbol{\theta}})(\boldsymbol{\theta} - \hat{\boldsymbol{\theta}}),$$

t.j. funkcia viero hodnosti a jej kvadratická approximácia sú identické.

Definícia 26 (funkcia viero hodnosti normálneho rozdelenia) Nech X_1, X_2, \dots, X_n sú nezávislé rovnako rozdelené premenné, $X_i \sim N(\mu, \sigma^2)$, kde $i = 1, 2, \dots, n$, $\boldsymbol{\theta} = (\mu, \sigma^2)^T \in \Theta = \mathbb{R} \times \mathbb{R}^+$. Vďaka nezávislosti X_i dostaneme

$$\begin{aligned} L(\boldsymbol{\theta}|\mathbf{x}) &= \prod_{i=1}^n \frac{1}{\sqrt{2\pi}\sigma} \exp\left(-\frac{1}{2} \left(\frac{x_i - \mu}{\sigma}\right)^2\right) \\ &= \frac{1}{(2\pi\sigma^2)^{n/2}} \exp\left(-\frac{1}{2\sigma^2} \left(\sum_{i=1}^n x_i^2 - 2\mu \sum_{i=1}^n x_i + n\mu^2\right)\right) \end{aligned}$$

a korespondujúci logaritmus

$$l(\boldsymbol{\theta}|\mathbf{x}) = -\frac{n}{2} \ln(2\pi) - \frac{n}{2} \ln \sigma^2 - \frac{1}{2\sigma^2} \left(\sum_{i=1}^n x_i^2 - 2\mu \sum_{i=1}^n x_i + n\mu^2 \right).$$

Príklad 99 ($\mathcal{I}(\hat{\theta})$ pre vektor $\theta = (\mu, \sigma^2)^T$; $X_i \sim N(\mu, \sigma^2)$) Nech $X_i \sim N(\mu, \sigma^2)$, kde $i = 1, 2, \dots, n$. Čomu je rovná pozorovaná Fisherova informačná matica $\mathcal{I}(\hat{\theta})$, kde $\hat{\theta} = (\hat{\mu}, \hat{\sigma}^2)^T$?

Riešenie

Logaritmus funkcie vierohodnosti má tvar

$$l(\theta | \mathbf{x}) = -\frac{n}{2} \ln \sigma^2 - \frac{1}{2\sigma^2} \sum_{i=1}^n (x_i - \mu)^2.$$

Derivácie funkcie vierohodnosti v μ a σ^2 budú nasledovné

$$S_1(\theta) = \frac{\partial}{\partial \mu} l(\theta | \mathbf{x}) = \frac{1}{\sigma^2} \sum_{i=1}^n (x_i - \mu),$$

$$S_2(\theta) = \frac{\partial}{\partial \sigma^2} l(\theta | \mathbf{x}) = -\frac{n}{2\sigma^2} + \frac{1}{2\sigma^4} \sum_{i=1}^n (x_i - \mu)^2.$$

Potom

$$\mathcal{I}(\hat{\theta}) = \begin{pmatrix} \frac{n}{\hat{\sigma}^2} & 0 \\ 0 & \frac{n}{2\hat{\sigma}^4} \end{pmatrix}.$$

Príklad 100 ($\mathcal{I}(\hat{\mathbf{p}})$ a rozptyl pre \mathbf{p} ; $\mathbf{X} \sim Mult_J(N, \mathbf{p})$) Z funkcie vierohodnosti odvodte pozorovanú Fisherovu informačnú maticu $\mathcal{I}(\hat{\mathbf{p}})$ a kovariančnú maticu $\widehat{Var[\hat{\mathbf{p}}]}$.

Riešenie

Označme $p_J = 1 - \sum_{j=1}^{J-1} p_j$ a predefinujme J -rozmerný vektor \mathbf{p} na $(J-1)$ -rozmerný vektor $\mathbf{p} = (p_1, p_2, \dots, p_{J-1})^T$. Potom $l(\mathbf{p} | \mathbf{x}) = \sum_{j=1}^{J-1} n_j \ln p_j + n_J \ln(1 - \sum_{j=1}^{J-1} p_j)$ a $\frac{\partial}{\partial p_j} l(\mathbf{p} | \mathbf{x}) = \frac{n_j}{p_j} - \frac{n_J}{p_J}$, ktoré tvoria $S(\mathbf{p})$. Fisherovu informačnú maticu dostaneme nasledovne

$$\mathcal{I}(\mathbf{p}) = -\frac{\partial}{\partial \mathbf{p}} S(\mathbf{p}) = \text{diag} \left(\frac{n_1}{p_1^2}, \frac{n_2}{p_2^2}, \dots, \frac{n_{J-1}}{p_{J-1}^2} \right) + \frac{n_J}{p_J^2} \mathbf{1} \mathbf{1}^T,$$

kde $\mathbf{1}$ je $(J-1)$ -rozmerný vektor jednotiek. Potom pozorovaná Fisherova informačná matica bude rovná

$$\mathcal{I}(\hat{\mathbf{p}}) = N \left(\text{diag} \left(\frac{1}{\hat{p}_1}, \frac{1}{\hat{p}_2}, \dots, \frac{1}{\hat{p}_{J-1}} \right) + \frac{\mathbf{1} \mathbf{1}^T}{\hat{p}_J} \right) = N \begin{pmatrix} \frac{1}{\hat{p}_1} + \frac{1}{\hat{p}_J} & \frac{1}{\hat{p}_1} & \frac{1}{\hat{p}_J} & \cdots & \frac{1}{\hat{p}_J} \\ \frac{1}{\hat{p}_J} & \frac{1}{\hat{p}_2} + \frac{1}{\hat{p}_J} & \frac{1}{\hat{p}_J} & \cdots & \frac{1}{\hat{p}_J} \\ \vdots & \vdots & \vdots & \ddots & \vdots \\ \frac{1}{\hat{p}_J} & \frac{1}{\hat{p}_J} & \cdots & \frac{1}{\hat{p}_J} & \frac{1}{\hat{p}_{J-1}} + \frac{1}{\hat{p}_J} \end{pmatrix}$$

a

$$\widehat{Var[\hat{\mathbf{p}}]} = \mathcal{I}^{-1}(\hat{\mathbf{p}}) = \frac{1}{N} \left(\text{diag}(\hat{\mathbf{p}}) - \hat{\mathbf{p}} \hat{\mathbf{p}}^T \right) = \frac{1}{N} \begin{pmatrix} \hat{p}_1(1 - \hat{p}_1) & -\hat{p}_1 \hat{p}_2 & \cdots & -\hat{p}_1 \hat{p}_{J-1} \\ -\hat{p}_2 \hat{p}_1 & \hat{p}_2(1 - \hat{p}_2) & \cdots & -\hat{p}_2 \hat{p}_{J-1} \\ \vdots & \vdots & \ddots & \vdots \\ -\hat{p}_{J-1} \hat{p}_1 & -\hat{p}_{J-1} \hat{p}_2 & \cdots & \hat{p}_{J-1}(1 - \hat{p}_{J-1}) \end{pmatrix}.$$

Ak do $\widehat{Var[\hat{\mathbf{p}}]}$ pridáme jeden riadok a jeden stĺpec zodpovedajúce \hat{p}_J , dostaneme singulárnu kovariančnú maticu J -rozmerného vektora $\hat{\mathbf{p}}$.

Profilová viero hodnosť. Aj napriek tomu, že funkcia viero hodnosti je často viacozmerná, je jednoduchšie ju zobrazovať pre každý parameter θ_i zvlášť alebo pre nejakú podmnožinu parametrov vektora $\boldsymbol{\theta}$. Napr. pri modeli normálneho rozdelenia nás zaujíma len stredná hodnota μ , pričom rozptyl σ^2 je tzv. rušivý parameter (potrebný kvôli adaptácii modelu na variabilitu v dátach). Potrebujeme teda metódu, ktorá koncentruje viero hodnosť len na parameter záujmu eliminovaním rušivého parametra. Viero hodnosťný prístup na elimináciu rušivého parametra pozostáva zo substitúcie jeho maximálne viero hodným odhadom v každej fixovanej hodnote parametra záujmu. Výsledkom je **profilová viero hodnosťná funkcia**.

Zakrivenie profilovej viero hodnosti. Zakrivenie profilovej funkcie viero hodnosti súvisí s Fisherovou informačnou maticou. Ak napr. parametrom záujmu je θ_1 z vektora $\boldsymbol{\theta} = (\theta_1, \theta_2)^T$, potrebujeme $\mathcal{I}(\hat{\boldsymbol{\theta}})$ a jej inverziu $\mathcal{I}^{-1}(\hat{\boldsymbol{\theta}})$ v nasledovnom tvare

$$\mathcal{I}(\hat{\boldsymbol{\theta}}) = \begin{pmatrix} I_{11} & I_{12} \\ I_{21} & I_{22} \end{pmatrix}, \mathcal{I}^{-1}(\hat{\boldsymbol{\theta}}) = \begin{pmatrix} I^{11} & I^{12} \\ I^{21} & I^{22} \end{pmatrix}.$$

Potom zakrivenie profilovej funkcie viero hodnosti v $\hat{\theta}_1$ nie je I_{11} ale $(I^{11})^{-1}$, kde $(I^{11})^{-1}$ je vo všeobecnosti menšie ako I_{11} . Interpretácia je nasledovná – informačné číslo I_{11} je zakrivením profilovej funkcie viero hodnosti v $\hat{\theta}_1$, kde o θ_2 sa predpokladá, že je známe v pozorovanom odhade $\hat{\theta}_2$; avšak $(I^{11})^{-1}$ je zakrivením profilovej funkcie viero hodnosti v $\hat{\theta}_1$, ktoré berie do úvahy, že θ_2 je neznáme. Z toho je potom zrejmé, že $(I^{11})^{-1}$ je menšie ako I_{11} . Na základe vyššie uvedeného môžeme kvadraticky aproximovať logaritmus profilovej funkcie viero hodnosti použitím $\hat{\theta}_i$ a $(I^{ii})^{-1}$, kde

$$\mathcal{L}(\theta_i | \mathbf{x}) = \ln \frac{L(\theta_i | \mathbf{x})}{L(\hat{\theta}_i | \mathbf{x})} = l(\theta_i | \mathbf{x}) - l(\hat{\theta}_i | \mathbf{x}) \approx -\frac{1}{2}(I^{ii})^{-1}(\theta_i - \hat{\theta}_i)^2.$$

Podobným spôsobom je možné kvadraticky aproximovať aj plochu viero hodnosti.

Invariantnosť maximálne viero hodného odhadu. Invariantnosť maximálne viero hodného odhadu znamená, že ak $\hat{\boldsymbol{\theta}}$ je maximálne viero hodný odhad $\boldsymbol{\theta}$ (t.j. $\hat{\boldsymbol{\theta}} = \hat{\boldsymbol{\theta}}_{ML}$) a $g(\boldsymbol{\theta})$ je funkciou $\boldsymbol{\theta}$, potom $g(\hat{\boldsymbol{\theta}})$ je tiež maximálne viero hodný odhad $g(\boldsymbol{\theta})$. Maximálne viero hodný odhad rozptylu $g(\boldsymbol{\theta})$ potom môžeme definovať ako $\widehat{Var[g(\hat{\boldsymbol{\theta})}]} = [\frac{\partial}{\partial \boldsymbol{\theta}} g(\boldsymbol{\theta})|_{\boldsymbol{\theta}=\hat{\boldsymbol{\theta}}}]^2 / \mathcal{I}(\hat{\boldsymbol{\theta}})$. V prípade vektora $\boldsymbol{\theta}$ je $\widehat{Var[g(\hat{\boldsymbol{\theta}})]} = \Delta^T \mathcal{I}^{-1}(\hat{\boldsymbol{\theta}}) \Delta$, kde $\Delta = \frac{\partial}{\partial \boldsymbol{\theta}} g(\boldsymbol{\theta})|_{\boldsymbol{\theta}=\hat{\boldsymbol{\theta}}}$. Tento vzorec vychádza z **delta metódy**, ktorá je postavená na Taylorovom rozvoji prvého rádu (t.j. jeho lineárnej zložky) okolo bodu $\hat{\boldsymbol{\theta}} = \boldsymbol{\theta}$, kde

$$g(\hat{\boldsymbol{\theta}}) \approx g(\boldsymbol{\theta}) + \sum_{i=1}^k \left(\frac{\partial}{\partial \theta_i} g(\boldsymbol{\theta})|_{\boldsymbol{\theta}=\hat{\boldsymbol{\theta}}} \right) (\hat{\theta}_i - \theta_i) = g(\boldsymbol{\theta}) + \Delta^T (\hat{\boldsymbol{\theta}} - \boldsymbol{\theta}),$$

potom

$$\widehat{Var[g(\hat{\boldsymbol{\theta}})]} \approx \sum_{i=1}^k \left(\frac{\partial}{\partial \theta_i} g(\boldsymbol{\theta})|_{\boldsymbol{\theta}=\hat{\boldsymbol{\theta}}} \right)^2 \hat{\sigma}_i^2 + 2 \sum_{i=1}^{k-1} \sum_{j=i+1}^k \left(\frac{\partial}{\partial \theta_i} g(\boldsymbol{\theta})|_{\boldsymbol{\theta}=\hat{\boldsymbol{\theta}}} \right) \left(\frac{\partial}{\partial \theta_j} g(\boldsymbol{\theta})|_{\boldsymbol{\theta}=\hat{\boldsymbol{\theta}}} \right) \hat{\sigma}_{ij} = \Delta^T \hat{\Sigma} \Delta,$$

kde $\hat{\Sigma} = \widehat{Var[\hat{\boldsymbol{\theta}}]}$, $\hat{\sigma}_i^2 = \widehat{Var[\hat{\theta}_i]}$, $\hat{\sigma}_{ij} = \widehat{Cov[\hat{\theta}_i, \hat{\theta}_j]}$ a $i \neq j; i, j = 1, 2, \dots, k$. Δ je matica $k \times k_1$, kde derivovanie prebieha po zložkách, t.j. (i, j) -ty element Δ je rovný $\frac{\partial g_j(\boldsymbol{\theta})}{\partial \theta_i}|_{\boldsymbol{\theta}=\hat{\boldsymbol{\theta}}}$, $g(\boldsymbol{\theta}) = (g_1(\boldsymbol{\theta}), g_2(\boldsymbol{\theta}), \dots, g_{k_1}(\boldsymbol{\theta}))^T$, $i = 1, 2, \dots, k$; $j = 1, 2, \dots, k_1 \leq k$. V praxi sa často vyskytuje situácia $k \neq 1$ a $k_1 = 1$, napr. $\boldsymbol{\theta} = (p_1, p_2)^T$ a $g(\boldsymbol{\theta}) = \frac{p_1}{p_2}$. Ak $k = k_1 = 1$, potom

$$\widehat{Var[g_1(\hat{\theta}_1)]} = \widehat{Var[g(\hat{\boldsymbol{\theta}})]} = \left(\frac{\partial}{\partial \theta} g(\boldsymbol{\theta})|_{\boldsymbol{\theta}=\hat{\boldsymbol{\theta}}} \right)^2 \hat{\sigma}^2,$$

kde $\hat{\sigma}^2 = \widehat{Var[\hat{\theta}]}.$

Príklad 101 (profilová viero hodnosť; normálne rozdelenie) Profilová funkcia viero hodnosti pre μ je rovná $L(\mu|\mathbf{x}) = c \exp(-n\hat{\sigma}_\mu^2/(2\hat{\sigma}^2))$, kde c je nejaká konštant a $\hat{\sigma}_\mu^2 = \frac{1}{n} \sum_{i=1}^n (x_i - \mu)^2$, t.j. ide o rez $L((\mu, \sigma^2)^T|\mathbf{x})$ v bode $\sigma^2 = \hat{\sigma}^2$. Profilová funkcia viero hodnosti pre σ^2 je rovná $L(\sigma^2|\mathbf{x}) = c(\sigma^2)^{-n/2} \exp(-n\hat{\sigma}^2/(2\sigma^2))$, kde c je nejaká konštant a $\hat{\sigma}^2 = \frac{1}{n} \sum_{i=1}^n (x_i - \bar{x})^2$.

Príklad 102 (kvadratická aproximácia profilovej funkcie viero hodnosti) (1) Nakreslite škálovaný logaritmus profilovej funkcie viero hodnosti normálneho rozdelenia pre μ . Na x -ovej osi bude μ a na y -ovej osi $\ln L(\mu|\mathbf{x}) = l(\mu|\mathbf{x}) - \max(l(\mu|\mathbf{x}))$. Porovnajte $\ln L(\mu|\mathbf{x})$ s kvadratickou aproximáciou vypočítanou pomocou Taylorovho rozvoja $\ln L(\mu|\mathbf{x}) = \ln(\frac{L(\mu|\mathbf{x})}{L(\hat{\mu}|\mathbf{x})}) \approx -\frac{1}{2}\mathcal{I}(\hat{\mu})(\mu - \hat{\mu})^2$. (2) Nech skóre funkcia $S(\mu) = \frac{\partial}{\partial \mu} \ln L(\mu|\mathbf{x})$. Ked' zoberieme deriváciu kvadratickej aproximácie uvedenej vyššie, dostaneme $S(\mu) \approx -\mathcal{I}(\hat{\mu})(\mu - \hat{\mu})$ alebo $-\mathcal{I}^{-1/2}(\hat{\mu})S(\mu) \approx \mathcal{I}^{1/2}(\hat{\mu})(\mu - \hat{\mu})$. Potom zobrazením pravej strany na x -ovej osi a ľavej strany na y -ovej osi dostaneme asymptoticky lineárnu funkciu s jednotkovým sklonom. Asymptoticky tiež platí $\mathcal{I}^{1/2}(\hat{\mu})(\mu - \hat{\mu}) \sim N(0, 1)$. Je postačujúce mať rozsah x -vej osi $\langle -2, 2 \rangle$, pretože funkcia je asymptoticky (lokálne) lineárna na tomto intervale. Rozumne škálujte y -ovú os. Zobrazte pre (a) $n = 10$, (b) $n = 100$ a (c) $n = 1000$. Použite (1) $X \sim N(0, 1)$ a (2) $X \sim (1-p)N(0, 1) + pN(0, 2)$, kde $p = 0.05$. Okomentujte rozdiely medzi (a), (b) a (c), ako aj rozdiely medzi (1) a (2).

2.4 *Maximalizácia funkcie viero hodnosti

Maximálne viero hodný odhad $\hat{\theta}$ je možné vypočítať pomocou metód numerickej optimalizácie (pozri napr. Horová a Zelinka, 2008) aplikovaných na funkciu viero hodnosti $L(\theta|\mathbf{x})$ alebo jej logaritmus $l(\theta|\mathbf{x})$.

Newtonova (Newton-Raphsonova) metóda (metóda dotyčníc) je pomenovaná po Isaacovi Newtonovi (1643–1727) a Josephovi Raphsonovi (1648–1715). Majme kvadratickú aproximáciu logaritmu funkcie viero hodnosti pomocou Taylorovho rozvoja druhého rádu okolo nejakého bodu θ_0 definovanú ako

$$l(\theta|\mathbf{x}) \approx l(\theta_0|\mathbf{x}) + S(\theta_0)(\theta - \theta_0) - \frac{1}{2}\mathcal{I}(\theta_0)(\theta - \theta_0)^2$$

alebo lineárnu aproximácu skóre funkcie pomocou Taylorovho rozvoja prvého rádu

$$S(\theta) \approx S(\theta_0) - \mathcal{I}(\theta_0)(\theta - \theta_0).$$

Z tejto aproximácie môžeme odvodiť nasledovnú iteračnú funkciu

$$\theta_0 + \frac{S(\theta_0)}{\mathcal{I}(\theta_0)}.$$

Postup je nasledovný:

1. inicializácia metódy použitím vhodne zvoleného štartovacieho parametra $\theta^{(0)}$, pre ktorý platí $\mathcal{I}(\theta^{(0)}) \neq 0$,

2. iterácia rovnosti

$$\theta^{(i)} = \theta^{(i-1)} + \frac{S(\theta^{(i-1)})}{\mathcal{I}(\theta^{(i-1)})},$$

kde $\mathcal{I}(\theta^{(i-1)}) \neq 0$, pre $i = 1, 2, \dots$, pokial' nebude $|l(\theta^{(i)}|\mathbf{x}) - l(\theta^{(i-1)}|\mathbf{x})| < \epsilon$, kde ϵ je vhodne zvolené malé číslo (prahová hodnota).

Newton-Raphsonova má jednoduchú geometrickú interpretáciu – bod $\theta^{(i)}$ je priesčnik dotyčnice ku grafu skóre funkcie $S(\cdot)$ v bode $[\theta^{(i-1)}, S(\theta^{(i-1)})]$ s x -ovou osou. Táto metóda konverguje kvadraticky, t.j. počet správnych cifier odhadu sa v každom iteračnom kroku zdvojnásobí (rád metódy je

rovný dvom). Konvergencia k lokálnemu extrému však nie je zaručená – metóda môže konvergovat' k lokálnemu minimu alebo divergoval', ak začneme iterácie v $\theta^{(0)}$ z konvexnej časti $l(\theta|\mathbf{x})$. Aj keď je funkcia konkávna, konvergencia k lokálnemu maximu nie je zaručená (metóda nerozlišuje lokálne maximum a minimum, pretože rieši rovnosť $S(\theta) = 0$). Ak je funkcia záujmu multimodálna, nemôžeme očakávať, že metóda bude konvergovat' ku globálnemu extrému. Ak je $S(\theta)$ dvakrát diferencovateľná, prvá a druhá derivácia nemenia znamienko na intervale $\langle \theta_D, \theta_H \rangle$, funkcia $S(\theta)$ má jednoduchý koreň ($S'(\theta) \neq 0$ pre každé $\theta \in \langle \theta_D, \theta_H \rangle$) a štartovací bod $\theta^{(0)}$ je ten z krajných bodov θ_D, θ_H , v ktorom je znamienko $S(\cdot)$ rovnaké ako znamienko jej druhej derivácie na intervale $\langle \theta_D, \theta_H \rangle$, potom metóda konverguje.

Newton-Raphsonova metóda je implementovaná v  vo funkcií `optimize(f, interval, maximum=FALSE, tol, ...)`, kde vstupným argumentom je bud' funkcia vierohodnosti alebo jej logaritmus (f), štartovací interval (`interval`) a zvolená prahová hodnota (`tol`). Vo všeobecnosti nie je potrebné do funkcie pridať argument obsahujúci prvú deriváciu funkcie záujmu, pretože je vypočítaná numericky. V prípade zadania argumentu `hessian=TRUE`, vo výsledkoch sa objaví aj $-\mathcal{I}(\hat{\theta})$.

Alternatívnymi, avšak pomalšími, metódami sú **metóda zlatého rezu** a **metóda sukcesívnej parabolickej interpolácie**. V prvej z nich, kde derivácia funkcie záujmu nie je potrebná, sa interval $\langle \theta_D^{(i-1)}, \theta_H^{(i-1)} \rangle$, v ktorom leží maximum $l(\theta|\mathbf{x})$, v každom kroku delí v pomere zlatého rezu. Interval sa teda zužuje o $(3 - \sqrt{5})/2 \doteq 0.382$ (t.j. komplement zlatého rezu) jeho dĺžky, pričom deliaci bod intervalu je $\theta_{\text{zr}}^{(i-1)}$. Metóda zlatého rezu konverguje lineárne (rád metódy je rovný jednej), t.j. chyba sa zmenšuje v každom iteračnom kroku $(1 - (3 - \sqrt{5})/2)$ -krát. Druhou metódou sa doplňa vo funkcií `optimize()` prvá v čase, keď je interval $\langle \theta_D^{(i-1)}, \theta_H^{(i-1)} \rangle$ príliž úzky. Bodmi $\theta_D^{(i-1)}, \theta_{\text{zr}}^{(i-1)}, \theta_H^{(i-1)}$ je preložená parabola (kvadratický interpolačný polynom) a jej maximum bude novým bodom $\theta^{(i)}$. Prednastavené je hľadanie minima (`maximum=False`) v štartovacom intervale (`interval`), čo môže byť zmenené na maximum (`maximum=True`). Vo výstupoch funkcie `optimize()` bude $\hat{\theta}$ (`minimum` alebo `maximum`) a $l(\hat{\theta}|\mathbf{x})$ (`objective`).

Majme kvadratickú aproximáciu logaritmu funkcie vierohodnosti pomocou Taylorovho rozvoja druhého rádu okolo nejakého bodu $\boldsymbol{\theta}_0$ definovanú ako

$$l(\boldsymbol{\theta}|\mathbf{x}) \approx l(\boldsymbol{\theta}_0|\mathbf{x}) + S(\boldsymbol{\theta}_0)(\boldsymbol{\theta} - \boldsymbol{\theta}_0) - \frac{1}{2}(\boldsymbol{\theta} - \boldsymbol{\theta}_0)^T \mathcal{I}(\boldsymbol{\theta}_0)(\boldsymbol{\theta} - \boldsymbol{\theta}_0)$$

alebo lineárnu aproximáciu skóre funkcie pomocou Taylorovho rozvoja prvého rádu

$$S(\boldsymbol{\theta}) \approx S(\boldsymbol{\theta}_0) - \mathcal{I}(\boldsymbol{\theta}_0)(\boldsymbol{\theta} - \boldsymbol{\theta}_0).$$

Z tejto aproximácie môžeme odvodiť nasledovnú iteračnú funkciu

$$\boldsymbol{\theta}_0 + (\mathcal{I}(\boldsymbol{\theta}_0))^{-1} S(\boldsymbol{\theta}_0).$$

Postup je nasledovný:

1. inicializácia metódy použitím vhodne zvoleného štartovacieho parametra $\boldsymbol{\theta}^{(0)}$, pre ktorý platí $\mathcal{I}(\boldsymbol{\theta}^{(0)}) \neq \mathbf{0}$,
2. iterácia rovnosti

$$\boldsymbol{\theta}^{(i)} = \boldsymbol{\theta}^{(i-1)} + (\mathcal{I}(\boldsymbol{\theta}^{(i-1)}))^{-1} S(\boldsymbol{\theta}^{(i-1)}),$$

$\mathcal{I}(\boldsymbol{\theta}^{(i-1)}) \neq \mathbf{0}$, pre $i = 1, 2, \dots$, pokial' nebude $|l(\boldsymbol{\theta}^{(i)}|\mathbf{x}) - l(\boldsymbol{\theta}^{(i-1)}|\mathbf{x})| < \epsilon$, kde ϵ je vhodne zvolené malé číslo (prahová hodnota). Vo všeobecnosti sa $-\mathcal{I}(\boldsymbol{\theta}^{(i-1)}) = l''(\boldsymbol{\theta}^{(i-1)}|\mathbf{x})$ nazýva hesián.

Namiesto $(\mathcal{I}(\boldsymbol{\theta}^{(i-1)}))^{-1}$ je lepšie použiť riešenie systému rovníc $(\mathcal{I}(\boldsymbol{\theta}^{(i-1)}))\mathbf{z}_{i-1} = S(\boldsymbol{\theta}^{(i-1)})$ pre nejaké \mathbf{z} a potom $\boldsymbol{\theta}^{(i)} = \boldsymbol{\theta}^{(i-1)} + \mathbf{z}_{i-1}$. V niektorých štatistických modeloch (napr. v logistickom regresnom modeli) sa namiesto $\mathcal{I}(\boldsymbol{\theta}^{(i-1)})$ používa $I(\boldsymbol{\theta}^{(i-1)})$, ktorá má často jednoduchší tvar. Potom hovoríme

o Fisherovej skóringovej metóde. Ak namiesto $\mathcal{I}(\boldsymbol{\theta}^{(i-1)})$ použijeme jej pozitívne definitnú approximáciu počítanú pomocou sukcesívne počítaných gradientov, hovoríme o **quasi Newtonovej metóde** (v angličtine nazývanej aj *variable metric method*). Fisherova skóringová metóda je potom vlastne quasi Newtonova metóda. Gradient nemusí byť špecifikovaný ako funkcia, ale môže byť počítaný numericky, napr. *centrálnou rozdielovou aproximáciou*, ako

$$\frac{\partial}{\partial \theta_i} l(\boldsymbol{\theta}|\mathbf{x}) \approx \frac{l(\boldsymbol{\theta} + \epsilon \mathbf{e}_i | \mathbf{x}) - l(\boldsymbol{\theta} - \epsilon \mathbf{e}_i | \mathbf{x})}{2\epsilon}, \text{ kde } i = 1, 2, \dots, k,$$

i -ty komponent bazálneho vektora \mathbf{e}_i obsahuje jednotku a na ostatných miestach sú nuly a ϵ je malé číslo. Derivácia v i -tom smere je potom pre $\epsilon \rightarrow 0$ nahradená jej konečnou approximáciou. Quasi Newtonova metóda je implementovaná v vo funkcií `optim(par, fn, gr, method, control, hessian = FALSE, ...)`, kde gradient môže byť špecifikovaný voliteľným argumentom `gr` (prednastavená je metóda spomenutá výšie²³). Populárnu metódou approximácie hesiánu je **Broyden-Fletcher-Goldfarb-Shannova (BFGS) métoda**, kde

$$l''(\boldsymbol{\theta}^{(i)} | \mathbf{x}) \approx l''(\boldsymbol{\theta}^{(i-1)} | \mathbf{x}) + \frac{\mathbf{y}^{(i-1)} (\mathbf{y}^{(i-1)})^T}{(\mathbf{y}^{(i-1)})^T \mathbf{s}^{(i-1)}} - \frac{l''(\boldsymbol{\theta}^{(i-1)} | \mathbf{x}) \mathbf{s}^{(i-1)} (l''(\boldsymbol{\theta}^{(i-1)} | \mathbf{x}) \mathbf{s}^{(i-1)})^T}{(\mathbf{s}^{(i-1)})^T l''(\boldsymbol{\theta}^{(i-1)} | \mathbf{x}) \mathbf{s}^{(i-1)}},$$

kde $\mathbf{y}^{(i-1)} = S(\boldsymbol{\theta}^{(i)}) - S(\boldsymbol{\theta}^{(i-1)})$ a $\mathbf{s}^{(i-1)} = \boldsymbol{\theta}^{(i)} - \boldsymbol{\theta}^{(i-1)} = (\mathcal{I}(\boldsymbol{\theta}^{(i-1)}))^{-1} S(\boldsymbol{\theta}^{(i-1)})$. BFGS metóda je implementovaná vo funkcií `optim()` pri nastavení argumentu `method="BFGS"`. Strata kvadratickej konvergencie oproti Newtonovej metóde je spôsobená approximáciou hesiánu. BFGS metóda patrí do tzv. *Broydenovej triedy*, kde je hodnota $l''(\boldsymbol{\theta}^{(i)} | \mathbf{x})$ modifikovaná štvrtým členom, ktorý je pri BFGS nulový (pozri Givens a Hoeting, 2005).

Vo funkcií `optim()` je prednastavená **Nelder-Meadova metóda** (nazývaná aj **simplexov**; argument `method="Nelder-Mead"`), ktorá nepoužíva gradient. Je robustná na nespojité funkcie, ale konverguje pomaly. Je vytvorená na základe myšlienky „preskokov“ cez trojuholníky. V každom kroku majme trojuholník definovaný troma bodmi $\boldsymbol{\theta}_1^{(i-1)}$, $\boldsymbol{\theta}_2^{(i-1)}$, $\boldsymbol{\theta}_3^{(i-1)}$, kde platí $l(\boldsymbol{\theta}_1^{(i-1)} | \mathbf{x}) < l(\boldsymbol{\theta}_2^{(i-1)} | \mathbf{x}) < l(\boldsymbol{\theta}_3^{(i-1)} | \mathbf{x})$ a snažíme sa $\boldsymbol{\theta}_1^{(i-1)}$ nahradíť „lepším“ bodom $\boldsymbol{\theta}_1^{(i)}$, pre ktorý platí $l(\boldsymbol{\theta}_1^{(i)} | \mathbf{x}) > l(\boldsymbol{\theta}_1^{(i-1)} | \mathbf{x})$. Ak je tak možné urobiť, nový bod definujeme pomocou stredovej súmernosti a extrapolácie ako

$$\boldsymbol{\theta}_1^{(i)} = \boldsymbol{\theta}_{23}^{(i-1)} + 2 \left(\boldsymbol{\theta}_{23}^{(i-1)} - \boldsymbol{\theta}_1^{(i-1)} \right),$$

kde $\boldsymbol{\theta}_{23}^{(i-1)} = \frac{\boldsymbol{\theta}_2^{(i-1)} + \boldsymbol{\theta}_3^{(i-1)}}{2}$. Z výšie uvedeného vyplýva, že bod $\boldsymbol{\theta}_1^{(i-1)}$ zobrazujeme cez stred úsečky s krajnými bodmi $\boldsymbol{\theta}_2^{(i-1)}$ a $\boldsymbol{\theta}_3^{(i-1)}$ do bodu $\boldsymbol{\theta}_{23}^{(i-1)} + (\boldsymbol{\theta}_{23}^{(i-1)} - \boldsymbol{\theta}_1^{(i-1)})$ a potom postupujeme po tejto polpriamke ešte ďalej do bodu $\boldsymbol{\theta}_1^{(i)}$. Ak $l(\boldsymbol{\theta}_1^{(i)} | \mathbf{x}) > l(\boldsymbol{\theta}_1^{(i-1)} | \mathbf{x})$, potom trojuholník nahradíme novým trojuholníkom definovaným bodmi $\boldsymbol{\theta}_1^{(i)}, \boldsymbol{\theta}_2^{(i-1)}, \boldsymbol{\theta}_3^{(i-1)}$.

Pri maximalizácii logaritmu funkcie vierochnosti je vo vstupe funkcie `optim()` potrebné nastaviť `hessian=TRUE` a argument `control=list(fnscale=-1)`, ktorý robí maximalizáciu namiesto prednastavenej minimalizácie (v argumente `control` je možné nastaviť aj maximálne množstvo iterácií pomocou `maxit`). Argument `par` predstavuje štartovaci hodnotu parametra. Vo výstupoch funkcie `optim()` bude $\hat{\boldsymbol{\theta}}$ (`par`), $l(\hat{\boldsymbol{\theta}} | \mathbf{x})$ (`value`) a $l''(\hat{\boldsymbol{\theta}} | \mathbf{x})$ (`hessian`). Ak je vo výstupe `convergence` rovné nule, potom maximalizácia skonvergovala (k lokálnemu maximu, ktoré nemusí byť globálne).

Príklad 103 (maximálne vierochný odhad μ a σ^2) Vygenerujte pseudonáhodné čísla z $X \sim N(4, 1)$, $n = 1000$. (a) Napíšte logaritmus profilovej funkcie vierochnosti pre μ a σ^2 a preverte, či sú maximálne vierochné odhady μ a σ^2 dostatočne blízko k ich skutočným hodnotám. Nakreslite grafy $l(\mu | \mathbf{x})$ a $l(\sigma^2 | \mathbf{x})$, kde zvýrazníte polohu maxímu týchto funkcií. (b) Napíšte logaritmus funkcie vierochnosti pre $\boldsymbol{\theta} = (\mu, \sigma^2)^T$ a preverte, či je maximálne vierochný odhad $\boldsymbol{\theta} = (\mu, \sigma^2)^T$ dostatočne blízko

²³Centrálna rozdielová approximácia hrá klíčovú úlohu pri approximácii hesiánu, ktorý sa používa v maximálnej vierochnosti na odhad rozptylu.

k jeho skutočnej hodnote. (c) Nakreslite graf $l((\mu, \sigma^2)^T | \mathbf{x})$ použitím funkcie `image()` a superponujte ho s kontúrovým grafom použitím funkcie `contour()`. Zvýraznite polohu maxima.

Riešenie (pozri obrázok 17)

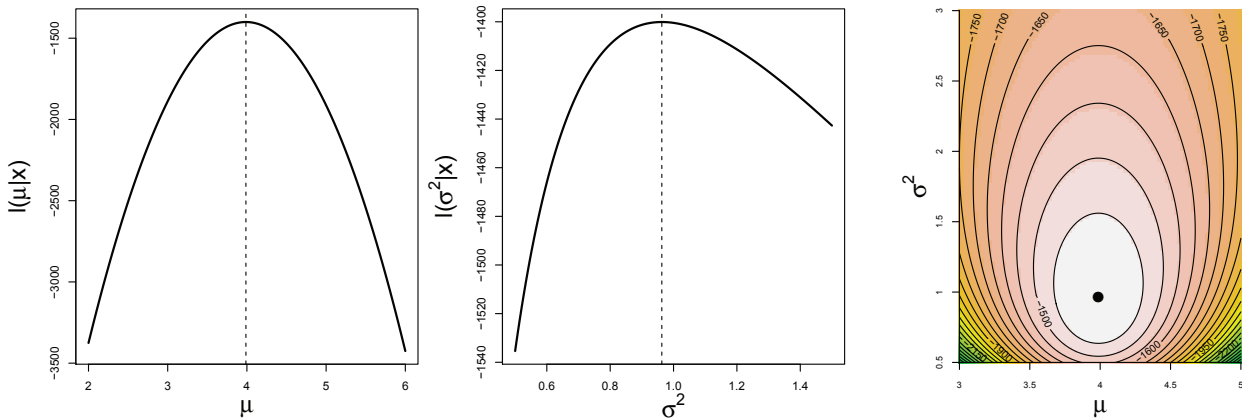
Logaritmus funkcie vieročnosti pre jednotlivé parametre má tvar

$$l(\mu | \mathbf{x}) = -\frac{n}{2} \ln(2\pi) - \frac{n}{2} \ln \sigma_1^2 - \frac{1}{2\sigma_1^2} (\sum_{i=1}^n x_i^2 - 2\mu \sum_{i=1}^n x_i + n\mu^2), \text{ kde } \mu \in (2, 6), \sigma_1 = 1;$$

$$l(\sigma^2 | \mathbf{x}) = -\frac{n}{2} \ln(2\pi) - \frac{n}{2} \ln \sigma^2 - \frac{\sum_{i=1}^n (x_i - \mu_1)^2}{2\sigma^2}, \text{ kde } \mu_1 = 4, \sigma \in (0.5, 1.5);$$

$$l((\mu, \sigma^2)^T | \mathbf{x}) = -\frac{n}{2} \ln(2\pi) - \frac{n}{2} \ln \sigma^2 - \frac{\sum_{i=1}^n (x_i - \mu)^2}{2\sigma^2}, \text{ kde } \mu \in (2, 6) \text{ a } \sigma \in (0.5, 1.5).$$

Výsledky simulácie: $\hat{\mu} = 4.019708$ a $\hat{\sigma}^2 = 1.000038$.



Obr. 17: Profilová funkcia vieročnosti pre μ (vľavo), σ^2 (uprostred) a funkcia vieročnosti pre oba parametre (vpravo); $X \sim N(4, 1)$; maximálne vieročné odhady strednej hodnoty a rozptylu sú označené zvislou čiarkovanou čiarou (vľavo a uprostred) a maximálne vieročný odhad vektora parametrov je označený • (vpravo)

Ak náhodná premenná X nebude mať normálne rozdelenie, funkcia vieročnosti pre strednú hodnotu nemusí mať symetrický parabolický tvar okolo strednej hodnoty. Odhad strednej hodnoty môže byť potom vychýlený.

Príklad 104 (maximálne vieročné odhady) Za predpokladu *normality rozdelenia náhodnej premennej X vypočítajte maximálne vieročné odhady strednej hodnoty μ (ozn. $\hat{\mu}$) a rozptylu σ^2 (ozn. $\hat{\sigma}^2$) pomocou logaritmov funkcií vieročnosti $l(\mu | \mathbf{x})$, resp. $l(\sigma^2 | \mathbf{x})$. Porovnajte tieto odhady s aritmetickým priemerom \bar{x} a rozptylom s^2 . Musí platiť $\hat{\mu} = \bar{x}$ a $\hat{\sigma}^2 = \frac{(n-1)}{n} s^2$. Realizáciami náhodnej premennej X sú hodnoty $x_i, i = 1, 2, \dots, n$, premenných: (a) dĺžka pravej klúčnej kosti (`length.R`; dátá: `paired-means-clavicle2.txt`); (b) morfologická výška tváre (`face.H`; dátá: `one-sample-correlation-skull-mf.txt`); (c) šírka lebky (`skull.B`; dátá: `one-sample-mean-skull-mf.txt`).*

Príklad 105 (binomické rozdelenie, maximálne vieročný odhad p) Nech $X \sim Bin(N, p)$ a realizácie X sú $x = n$. Predpokladajme, že sme pozorovali (a) $x = 2$, (b) $x = 10$ a (c) $x = 18$ úspechov v $N = 20$ pokusoch. Pomocou vypočítajte maximálne vieročný odhad p . Výsledok zobrazte do grafu spolu s funkciou vieročnosti.

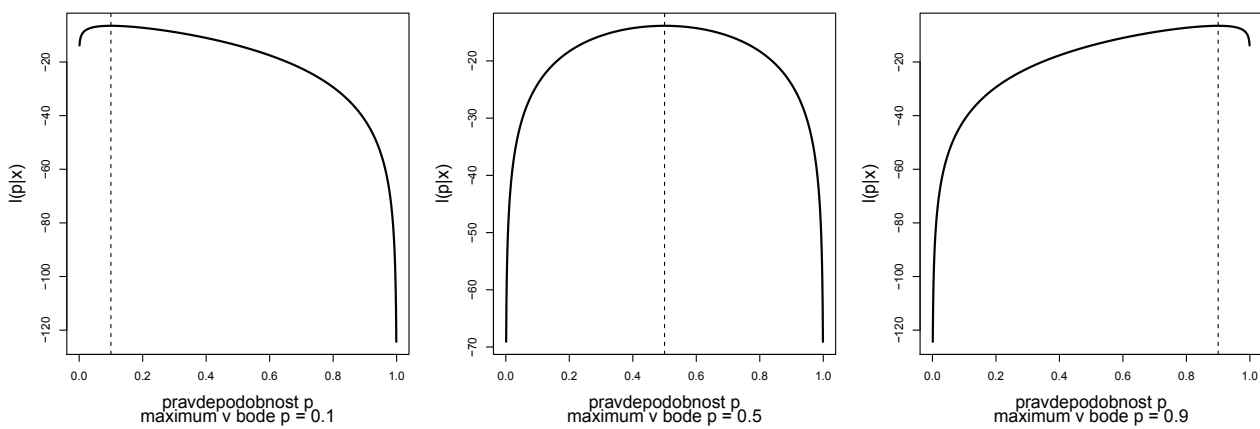
Riešenie (pozri obrázok 18)

Logaritmus funkcie vieročnosti pre p má tvar $l(p | \mathbf{x}) = x \log(p) + (N-x) \log(1-p)$, kde $p \in (0, 1)$. Ďalej derivujeme $\partial l(p | \mathbf{x}) / \partial p = x/p - (N-x) / (1-p) = [x(1-p) - (N-x)p] / [p(1-p)] = (x-Np) / [p(1-p)] = 0$, potom $\hat{p} = x/N$.

(a) $\hat{p} = x/N = 2/20 = 0.1$,

(b) $\hat{p} = x/N = 10/20 = 0.5$,

(c) $\hat{p} = x/N = 18/20 = 0.9$.



Obr. 18: Funkcia vieročnosti pre $X \sim \text{Bin}(N, p)$ ($p = 0.1, 0.5, 0.9$ a $N = 20$); odhady \hat{p} sú označené zvislou čiarkovanou čiarou

Z grafov na obrázku 18 je zreteľné, že funkcia vieročnosti pre p je symetrická len pre $p = 0.5$, pre ostatné p je asymetrická. Naviac pre p a $1 - p$ dostaneme grafy, ktoré možno transformovať jeden na druhý pomocou osi zrkadlenia definovanej ako vertikálna priamka v $p = 0.5$.

Príklad 106 (maximálne vieročné odhady; binomické rozdelenie) Za predpokladu, že náhodná premenná X má binomické rozdelenie, vypočítajte maximálne vieročné odhady \hat{p} pomocou logaritmu funkcie vieročnosti $l(p|\mathbf{x})$. Porovnajte tento odhad s výrazom $\sum_{i=1}^N x_i/N$. Realizáciami náhodnej premennej X sú nasledujúce binárne premenné: (a) pohlavie (*sex*; dátá: *one-sample-probability-sexratio.txt*), kde ozn. pohlavia dievča „f“ preznačíme na 1 a ozn. pohlavia chlapca „m“ preznačíme na 0; (b) pohlavie (*sex*; dátá: *two-samples-probabilities-sexratio.txt*), kde ozn. pohlavia muž „m“ preznačíme na 1 a ozn. pohlavia žena „f“ preznačíme na 0. V prípade (a) počítame pravdepodobnosť výskytu dievčat a v prípade (b) pravdepodobnosť výskytu chlapcov.

Príklad 107 (maximálne vieročné odhady; multinomické rozdelenie) Za predpokladu, že náhodná premenná X má multinomické rozdelenie vypočítajte maximálne vieročné odhady \hat{p}_1 a \hat{p}_2 pomocou logaritmu funkcie vieročnosti $l(\mathbf{p}|\mathbf{x})$. Porovnajte odhad p_1 s odhadom p z príkladu 106, kde pravdepodobnosť \hat{p}_1 bola označená ako \hat{p} . Realizáciami X sú binárne premenné: (a) pohlavie (*sex*; dátá: *one-sample-probability-sexratio.txt*), kde ozn. pohlavia dievča „f“ preznačíme na 1 a ozn. pohlavia chlapca „m“ preznačíme na 0; (b) pohlavie (*sex*; dátá: *two-samples-probabilities-sexratio.txt*), kde ozn. pohlavia muž „m“ preznačíme na 1 a ozn. pohlavia žena „f“ preznačíme na 0. Pravdepodobnosť \hat{p}_1 je (a) pravdepodobnosť výskytu dievčat a (b) pravdepodobnosť výskytu chlapcov.

Príklad 107 hovorí o tom, že parameter p_1 dvojrozmerného multinomického rozdelenia je parametrom p binomického rozdelenia.

Príklad 108 (maximálne vieročné odhady; multinomické rozdelenie) Majme dátá *more-samples-probabilities-pubis.txt*. Nakreslite logaritmus štandardizovanej funkcie vieročnosti $\mathcal{L}(\boldsymbol{\theta}|\mathbf{x})$, kde $\boldsymbol{\theta} = (p_1, p_2)^T$, Európskej populácie ($n_1 = 30$, $n_2 = 20$ a $n_3 = 10$) pomocou funkcie *contour()*. Dokreslite do obrázku jej maximum v bode $\hat{\boldsymbol{\theta}} = (\hat{p}_1, \hat{p}_2)^T$.

Riešenie v (pozri obrázok 19)

```

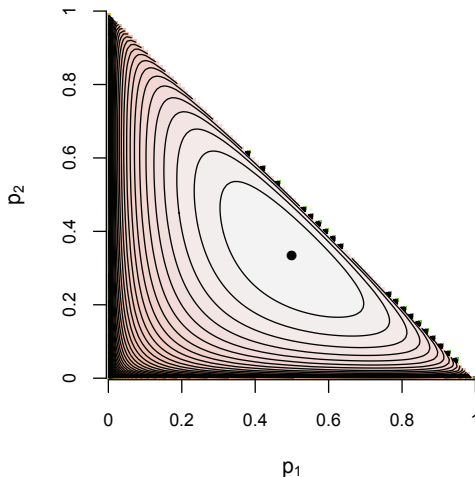
72 poz.poc <- c(30,20,10)
73 N <- sum(poz.poc)
74 ocek.prav <- poz.poc/N
75 # riesenie cez maximalnu vieročnosť
76 "ll" <- function(theta,data) {

```

```

77 # logaritmus funkcie vierochnosti
78 N <- sum(data)
79 p1 <- theta[1]
80 p2 <- theta[2]
81 p3 <- 1-p1-p2
82 if ((p1>0)&&(p1<1)&&(p2>0)&&(p2<1)&&(p3>0)&&(p3<1)) {
83   ocak.prav <- c(p1,p2,p3)
84   log.vier <- dmultinom(poz.poc,prob=ocak.prav,size=N,log=TRUE)
85   return(log.vier)
86 }
87 else {return(NA)}
88 }
89 # startovacie parametre optimalizacie c(0.1,0.2)
90 # maximalizacia, ak control$fnscase je rovne -1
91 OPTtheta <- optim(c(0.1,0.2),nl,control=list(fnscase=-1),
92                     hessian=TRUE,data=poz.poc)
93 theta.hat <- OPTtheta$par # 0.4999662 0.3333621

```



Obr. 19: Logaritmus štandardizovanej funkcie vierochnosti multinomického rozdelenia v parametroch p_1 a p_2 (Európska populácia) s maximom označeným •

Príklad 109 (overdispersion v Poissonovom modeli, pokrač.) Majme početnosti úrazov n medzi m_n robotníkmi v továrni, pozri tabuľku 11 (Greenwood a Yule, 1920). Vypočítajte očakávané m_n za angl predpokladu, že početnosti úrazov na robotníka X majú negatívne binomické rozdelenie s parametrami α a π .

Riešenie (pozri tabuľku 15)

Aby sme mohli fitovať negatívne binomické rozdelenie, potrebujeme funkciu vierochnosti

$$L(\alpha, \pi | \mathbf{x}) = \prod_{n=0}^4 (\Pr(X=n))^{m_n} \left(1 - \sum_{n=0}^4 \Pr(X=n)\right)^{m_{\geq 5}}.$$

a jej logaritmus

$$l(\alpha, \pi | \mathbf{x}) = \sum_{n=0}^4 m_n \ln \Pr(X=n) + m_{\geq 5} \ln \left(1 - \sum_{n=0}^4 \Pr(X=n)\right).$$

Numerickou optimalizáciou dostaneme $\hat{\alpha} = 0.84$ a $\hat{\pi} = 0.64$. Pomer zlyhaní $\hat{\mu} = \frac{1-\hat{\pi}}{\hat{\pi}}\hat{\alpha} = 0.47$. Ked porovnáme pozorované m_n a vypočítané (teoretické) m_n zistíme, že početnosti sú veľmi podobné (pozri tabuľku 15).

Tabuľka 15: Očakávané početnosti robotníkov m_n (zaokrúhlené na nula desatinných miest) s n úrazmi v továrni (negatívne binomické rozdelenie)

n	0	1	2	3	4	≥ 5
očakávané m_n	446	134	44	15	5	3

2.5 Kritériá klasifikácie štatistických modelov

Kritéria delenia štatistických modelov (ako aj k nim prislúchajúcich testov) sú nasledovné:

- **množstvo výberov** – jeden, dva alebo viac ako dva výbery [jedno-, dvoj- a viacvýberový test/model];
- **závislosť výberov** – nezávislé a závislé výbery (opakované merania na subjekte v čase, merania na párových orgánoch) [test/model dvoch a viacerých nezávislých výberov, párový test];
- **množstvo premenných** – jedna, dve alebo viac premenných [jedno-, dvoj- a viac-premenný test/model];
- **typ premenných** – kvalitatívne alebo kvantitatívne premenné [binomický, Poissonov, multinomický, súčinový multinomický model, model normálneho rozdelenia, rôzne modely kauzality];
- **rozmer endpointov/závislých premenných** – jedna, dve alebo viac premenných [jedno-, dvoj- a viac-rozmerný test/model – lineárny regresný model (LRM) vs. mnohorozmerný LRM (MLRM), analýza rozptylu ANOVA vs. mnohorozmerná ANOVA (MANOVA), analýza kovariancie ANCOVA vs. mnohorozmerná ANCOVA (MANCOVA)];
- **typ náhodnosti efektov** – fixné, náhodné alebo zmiešané [(M)ANOVA, (M)ANCOVA model a test/testy v nich];
- **typ kauzálneho vzťahu** – lineárny (priamka) alebo nelineárny (polynóm lúbovoľného stupňa – kvadratický, kubický a iný, alebo lúbovoľná funkcia);
- **typ vzťahu parametrov modelu** – lineárny [LRM – priamka, polynóm lúbovoľného stupňa a pod.] a nelineárny [nelineárny regresný model (NLRM)]; toto kritérium sa často zamieňa s predchádzajúcim, ale tieto dve kritéria nie sú totožné;
- **prítomnosť odľahlých pozorovaní**;
- **typ hypotézy** – jednostranná, obojstranná, stochasticky usporiadaná.

2.6 Praktické dôsledky odchýlok od normality

Základným predpokladom mnohých modelov je normalita rozdelenie spojitých premenných, čo však nemusí byť v praxi splnené. Napr. hodnoty často používanej telesnej hmotnosti nemajú v západnej civilizácii normálne rozdelenie, ale negatívne zošikmené (pozri kapitolu 3.2 Charakteristiky variability). Odchýlky od normality môžu mať mnoho príčin, od **neošetrených metodických nezrovnalostí** až ku **skutočnému biologickému procesom v populácii**, z ktorých (náhodný) výber (vzorka) pochádza. Predpoklad normality by nikdy nemal byť samozrejmý (ani u premenných, ktoré obvykle normálne rozdelenie majú), dátu by mali byť pred štatistickými analýzami vhodne zobrazené (pozri kapitolu 3.6 Štatistická grafika) a ich normalita by mala byť v každej vzorke testovaná (pozri kapitolu 5.2 Kolmogorov-Smirnovov test dobrej zhody). Normalita rozdelenia by mala byť starostlivo posudzovaná a v prípade zachytenia odchýlkok od normality v nejakom znaku v mnohých nezávislých výberoch by príčiny odchýlky mali byť bližšie skúmané. Malo by sa zistiť, či ide o metodickú chybu (odľahlé hodnoty žiadajúce odstránenie, nenáhodný výber, atď.) alebo skutočný trend, ktorý má

svoje biologické príčiny (*rozdielna regulácia hornej a dolnej medze intenzity nejakého metabolického procesu alebo smerová/direkcionálna selekcia u zošikmeného rozdelenia, sledovaným znakom obmedzené vzorkovanie* (nenáhodný výber) alebo *stabilizačná selekcia u leptokurtického rozdelenia* (pozri kapitolu 3.2 Charakteristiky variability), atď.). Zošikmené rozdelenie majú často *inkrementálne (prírastkové) dát* merané v priebehu ontogenézy, keďže je ich dolná hranica prirodzene obmedzená (nulový prírastok), zatiaľ čo horná môže u každého jedinca dosiahnuť rôzne veľké hodnoty (Garn a Rohmann, 1963). Treba mať na pamäti, že našim hlavným a najdôležitejším cieľom je zistenie podstaty procesov, ktoré prebiehajú v populácii, z ktorej pochádza naša vzorka a ktorej je obrazom.

V bežnej praxi je však časté, že sú používané relatívne malé vzorky, v ktorých sa odchýlky od normality ľahko prejavia. Môžu však nastáť aj *kontroverzné situácie*, že rozdelenie dát (pri relatívne malej vzorke) sa nepodobá na normálne, ale test dobrej zhody s normálnym rozdelením hypotézu o zhode zamietne. Rovnako sa často stáva, že meranie alebo experiment nie sú dopredu naplánované z hľadiska náhodného výberu, použitia nejakého modelu, z hľadiska minimalizácie variability a odhadu minimálneho rozsahu súboru. Dôležitosť takéhoto postupu je bežne aplikovanými výskumníkmi ignorovaná, čo môže viest až do situácie nemožnosti použitia dát samotných alebo nemožnosti použitia akejkoľvek štatistickej metódy.

Súčasne sa utvrdzuje predstava o ideálnej podstate normality v prírode a tiež všeobecnej normalite rozdelenia často testovaných znakov, takže akékoľvek ďalšie, novozískané odchýlky od normality sa považujú za chybu. Skutočnosť ale často ukazuje, že so zvyšujúcim sa počtom prípadov vo vzorke (virtuálne až k celkovej veľkosti populácie) celý rad (empirických) veličín v skutočnosti nesmeruje ku stále dokonalejšej Gausovej krvíke, ale má rozdelenie od normálneho viac či menej sa vzdialujúce alebo nejakým spôsobom vychýlené. V týchto prípadoch sa odporučuje

1. použitie nejakej **transformácie dát** (v prípade zošikmenia; logaritmická, odmocninová, Box-Coxova a pod.), ktorá závisí na samotných dátach a nedá sa použiť univerzálnie;
2. použitie **urezávania alebo winsorizácie dát** na jednom alebo oboch koncoch rozdelenia (v prípade prítomnosti odľahlých pozorovaní alebo zošikmenia; pozri kapitolu 3.1 Charakteristiky polohy, 3.2 Charakteristiky variability a 3.3 Detekcia odľahlých pozorovaní);
3. **nahradenie asymptotického rozdelenia testovacej štatistiky bootstrapovým alebo permutačným** (v prípade nedostatočného alebo relatívne malého rozsahu vzorky alebo pochybností o asymptotickom rozdelení testovacej štatistiky aj pri väčších rozsahoch).

Po aplikovaní prvých dvoch metód je možné použiť asymptotické testy v nezmenenej podobe a v treťom prípade sa použijú len samotné testovacie štatistiky.